© МИТХТ им. М.В. Ломоносова

Федеральное ISSN 1819-1487 агентство по образованию СОДЕРЖАНИЕ Вестник ЭКОЛОГО-ЭКОНОМИЧЕСКИЕ ПРОБЛЕМЫ ХИМИЧЕСКИХ ТЕХНОЛОГИЙ С.А. Семенов, К.З. Гумаргалиева, И.Г. Калинина, Г.Е. Заиков. MUTXT С.В. Леонтьева, Е.И. Хабарова, А.К. Фролкова. Нововведения в обращении с химическими веществами на территории евросоюза деқабрь (краткий обзор материалов, предоставленных организацией АНО «BOCTOK», ДЛЯ информирования представителей российской промышленности)..... Л.М. Карташов, А.А. Коблов, Д.В. Ткач. Эколого-экономические технологий переработки отходов производства винилхлорида.... ХИМИЯ И ТЕХНОЛОГИЯ ЛЕКАРСТВЕННЫХ ПРЕПАРАТОВ И БИОЛОГИЧЕСКИ Научно-технический АКТИВНЫХ ВЕЩЕСТВ журнал М.А. Грачева, З.М. Галушкина, Н.Н. Полетаева, Л.В. Верховская, Издается с февраля 2006 В.Г. Лунин, В.И. Швец. Клонирование и экспрессия в escherichia Выходит один раз в два coli генов А- и В-субъединиц рицина в составе химерных месяца конструкций с геном дигидрофолатредуктазы Н.Г. Чабан, В.И. Букин, Л.М. Рапопорт, Д.Г. Цариченко. Литолиз Учредитель ТЕОРЕТИЧЕСКИЕ ОСНОВЫ ХИМИЧЕСКОЙ ТЕХНОЛОГИИ А.С. Козлова. энергосбережения М.К. Захаров, Анализ Главный редактор: В.С. Тимофеев ректификации идеальных бинарных смесей..... 53 Зам. главного П.Г. Румянцев, В.И. Жучков. А.В. Анисимов, Использование редактора: математической модели хроматографической колонки А.К. Фролкова обработки хроматограмм с перекрывающимися пиками..... В.В. Фомичев Е.В. Еськова, Г.А. Григорьев, М.С. Еськов. О кинетике роста эмульсионного слоя на границе жидкость – жидкость в условиях контролируемой конвекции..... И.А. Митюшкина, Т.В. Челюскина, А.К. Фролкова. Математическое моделирование парожидкостного равновесия в бинарных Редакционная биазеотропных системах..... коллегия: В.М. Мясоеденков, Г.А. Носов, Е.М. Хайбулина, М.Е. Уваров. Р.Р. Биглов Противоточная кристаллизация с тепловым насосом 76 Д.В. Дробот ХИМИЯ И ТЕХНОЛГИЯ ОРГАНИЧЕСКИХ ВЕЩЕСТВ В.Ф. Корнюшко Ву Хон Шон, Д.М. Зверев, Н.Ю. Борисова, Е.Ю. Афанасьева, Т.П. Н.Т. Кузнецов Колобова, Е. Я. Борисова. Синтез, свойства и биологическое А.И. Мирошников (±)-транс-2-диалкиламиноциклогексанолов лействие ИХ Ю.П. Мирошников сложных эфиров..... 84 А.Н. Озерин ЯЗЫКОЗНАНИЕ Л.А. Серафимов С.М. Сухорукова Л.А. Иванова. К вопросу о референции и референтности языковых В.А. Тверской единиц. А.Ю. Цивадзе Е.Л. Лукомская. Употребление определенного артикля перед В.И. Швец именами собственными (на материале французского языка)...... В.Д. Юловская КРАТКИЕ СООБЩЕНИЯ С.Г. Синичкина. Ю.А. Синичкина. В.С. Юровский. А.Е. Корнев. В.С. Кузин. Разработка «двухрецептурных» манжет для 99 уплотнения раструбных стыков чугунных нефтепроводов. СТРАНИЦЫ ЙСТОРИИ В.И. Марченко. У истоков науки о получении материалов с заданными свойствами и наноматериаловедения. К 90-летию со

Abstract

CONTENTS Review **ECOLOGO** MITHT S.A. Semenov, K.Z. Gumargalieva, I.G. Kalinina, G.E. Zaikov. Bio-damages of materials and of material samples. 3 S.V. Leont'eva, E.I. Chabarova, A.K. Frolkova. Innovation in 27 treatment with chemical substances in Europe L.M. Kartashov, A.A. Koblov, D.V. Tkach. Ecologi-economical 6/2007 aspects of technologies of waste recycling of vinyl chloride 35 production CHEMISTRY AND TECHNOLOGY OF MEDICAL PRODUCTS AND **BIOLOGICALLY ACTIVE SUBSTANCES** M.A. Gracheva, Z.M. Galushkina, N.N. Poletaeva, L.V. Редакция: Verhovskaya, V.G. Lunin, V.I. Shvets. Cloning and expression of И.М. Агаянц ricin a- and b-subunits genes in fusion constructions with Ю.А. Наумова dihydrofolate reductase gene in escherichia coli Л.Г. Семерня N.P. Boyarskaya, Yu.G. Kirillova, D.S. Esipov, V.I. Shvets. Solid-phase Г.Д. Середина synthesis of negatively charged PNA decamer with GlyyL-Glu pseudopeptide 48 bond..... TEORETICAL BASED OF CHEMICAL TECHNOLOGY M.K. Zakharov, A.S. Kozlova. Methods of energy-saving in Адрес редакции: processes of distillation of binary mixtures 119571, г. Москва, пр. Вернадского, 86, A. V. Anisimov, P. G. Rumyantsev, V. I. Zhuchkov. The use of a к. Л-119 mathematical model of the chromatographic column for processing 60 телефон: (495) 936-82-88 chromatograms with overlapping peaks E.V. Eskova, G.A. Grigoriev, M.C. Eskov. About the kinetics of the emulsion layer growth at the liquid-liquid boundary under the 64 conditions of controllable convection I.A. Mitushkina, T.V. Cheluskina, A.K. Frolkova. Mathematical simulation of vapour-liquid equilibria in binary biazeotripic 69 systems M. Miasoedenkov, G. A. Nosov, E. M. Khaibulina, M. E. Yvarov. Подписано в печать Antielectric crystallization by means of calorific pump... 20.12.2007г. Формат 60х90/8. CHEMISTRY AND TECHNOLODY OF ORGANIC SUBSTANCE Бумага офсетная. Vu Hon Shon, D.M. Zverev, N.Yu. Borisova, E.Yu. Afanasieva, Гарнитура Times. T.P. Kolobova, E.Ya. Borisova. Synthesis, biological properties and 84 Печать офсетная. effects of trans-2-(substituted amino)-cyclohehyl esters..... Уч. изд. листов 4,4. **LINGUSTICS** Заказ № 458. L.A. Ivanova. On reference and referentiality of linguistic units 88 Тираж 500 экз. E.L. Loukomskaya. The use of definite article with proper nouns in the French language Отпечатано с оригинал-макета SHORT COMMUNICATIONS в «ГЕЛИОПРИНТ» 119602, Москва, Ак. Анохина, 38 к. 1 S.G. Sinichkina, Y.A. Sinichkina, V.S. Yurovsky, A.E. Kornev, V.S. Kusin. The desining of dual-recipe cuffs for purpose of packing of cast-ironoil lines 99 expanded joints HISTORY V.I. Marchenko. At the origins of creating materials science with given 101 properties and science of nanomaterials Abstract..... 106

УДК 620.197:620.193.82

БИО-РАЗРУШЕНИЯ МАТЕРИАЛОВ И ИЗДЕЛИЙ ТЕХНИКИ

*С.А. Семенов, *К.З. Гумаргалиева, *И.Г. Калинина, **Г.Е. Заиков *Институт химической физики им. Н.Н. Семенова Российской академии наук **Институт биохимической физики им. Н.М. Эмануэля Российской академии наук

Вобзоре показано развитие теоретических представлений о механизме повреждающего действия микроорганизмов на материалы в условиях эксплуатации и разработаны рекомендации по защите изделий техники.

Введение

Надежность изделий техники многом определяется их стойкостью к воздействию внешней среды, венной составляющей которой являются микроорганизмы (микроскопические бактерии, дрожжи др.). Микроорганизмы деструкторы (биофактор, биодеструкторы), воздействуя на объекты техники, вызывают повреждения последних (биоповреждение, микробиологическое повреждение): из-менение структурных функциональных И характеристик вплоть до разру-шения.

Биодеструкторы способны адаптироваться к различным материалам как к источникам питания, условиям внешней среды и к средствам защиты. Кроме того, в процессе эксплуатации при воздействии различных факторов первоначальная, заложенная при изготовлении, стойкость материалов биофактору может значительно жаться. В связи с этим практически все известные материалы подвержены биоповреждению. Экономический ущерб от него оценивается в 2 - 3% стоимости всего объема промышленной продукции.

Вместе с тем особенности и закономерности воздействия биофактора изучены гораздо в меньшей степени, чем влияние на объекты техники небиологических факторов таких, как температура, механические напряжения, свето-вое излучение, агрессивные среды техногенного происхождения и др. В настоящее время большое внимание исследователей сосредоточено на экологобиологической составляющей проблемы. Изучаются видовой состав, особенности свойств, способность микроорганизмов заселять материалы, а подбор средств защиты в

большинстве случаев производится эмпирически. Несмотря на большой объем выполненных в этом направлении работ, используемые средства часто не обеспечивают достаточной стойкости изделий к воздействию микроорганизмов. эксплуатации условиях отмечаются, обусловленные микробиологическим повреждением материалов, случаи отказов и неисправностей самолетов, кораблей, автомобилей, инже-нерных машин средств, стрелкового оружия и других изделий техники.

Низкая эффективность защиты многом связана с недостаточной изученматериаловедческих аспектов ностью повреждающего воздействия микроорганизмов. Отсутствуют количественные данные о процессах биоповреж-дения техники реальных **УСЛОВИЯХ** В эксплуатации. Имеющаяся информация носит описательный характер, нередко не имеет достаточного экспериментального подтверждения. К настоящему времени не разработаны достоверные методы диагностики и прогнозирования.

Успешное решение проблемы может быть достигнуто исследованиями природы закономер-ностей кинетических взаимодействий материалов биодеструкторами. Эти исследования позволят обосновать научно-методические подходы к объективной, достопрогнозированию верной оценке И микробиологической стойкости изделий техники, будет способствовать разработке материалов, биостойких конструкций, эффективных средств и методов защиты. В конечном итоге это дает значительную экономию финансовых ресурсов, направляемых на восстановление оборудования, пришедшего в негодность.

Цель данного обзора заключается в том, чтобы показать развитие теоретических представлений о механизме повреждающего воздействия микроорганизмов на материалы в условиях эксплуатации, и разработать рекомендации по защите изделий техники.

При этом особое внимание необходимо обратить на:

- экспериментальное обоснование характеристик процесса взаимодействия материалов с биодеструкторами на этапах закрепления (адгезии), роста микроорганизмов на материалах, изменения свойств последних;
- установление кинетических закономерностей, аналитических моделей и количественных показателей этапов биоповреждения материала;
- изучение влияния свойств материала, особенностей микроорганизма, температуры, влажности и других факторов на взаимодействие материала с биодеструктором;
- разработку рекомендаций по определению и прогнозированию биостойкости материалов, созданию средств и методов защиты, оценке их эффективности.

Биоповреждение (биологическое повреждение) – это любое изменение (нарушение) структурных функхарактеристик объекта, циональных вызываемое биологическим фактором [1, Пол биологическим фактором подразумевают организмы или ИΧ сообщества, воздействие которых объект техники нарушает его исправное или работоспособное состояние. Наиболее агрессивны по отношению к материалам и изделиям микроорганизмы (микроорганизмы-деструкторы, биодеструкторы): микроскопические грибы, бактерии, дрожжи [2 - 4]. Являясь составной частью окружающей среды, биодеструкторы, в силу специфики своей жизнедеятельности, способны быстро адаптироваться самым различным К материалам и постоянно изменяющимся условиям. Практически все используемые материалы изделиях техники

подвержены микробиоло-гическому повреждению [2, 4].

Наличие И интенсивность микробиологического повреждения характеризует стойкость объекта техники к микробиологическому фактору (микробиологическую стойкость) - свойство объекта (материала, детали, изделия) сохранять значение показателей пределах, установленных нормативнотехнической документацией в течение заданного времени в процессе или после воздействия микробиологического фактора [1].

Значимость проблемы биоподчеркивается повреждений многими специалистами. Так, мировой экономический ущерб от биоповреждений в 1950-х годах оценивался в 2% от объема промышленной продукции, а в 70-х он превысил 5%. Что составляет десятки млрд. долларов. Около половины общего приходится на микробиолоповреждения. O_{T} гические коррозии железных труб в США, вызываемой сульфатвосстанавливающими бактериями, ущерб оценивается в 2 млрд. долларов в год [3]. Считается, что более 50% всех коррозионных процессов связано с воздействием микроорганизмов [4].

Повреждаемые материалы и микроорганизмы-деструкторы

Наиболее полно исследованы микробиологические повреждения горюче-смазочных материалов (ГСМ) [5 -Установлено, 11]. что ряд видов микроорганизмов, обладая способностью ферментативного окисления жидких углеводородов, используют их в качестве источника питания. Ассимилируя такие углеводороды и воздействуя на них продуктами жизнедеятельности микроорганизмы-деструкторы приводят разложению и потере рабочих свойств материала. Нефтяные топлива подвержены микробиологическому повреждению при хранении как транспортировании, так И при эксплуатации [12 – 16].

Изучение вопросов, связанных с развитием микроорганизмов в топливах,

началось в США в период создания реактивной авиации. Было показано, что топливных накопление В системах продуктов роста и жизнедеятельности микроскопических грибов и бактерий может вызывать засорение фильтров и других агрегатов, нарушение работы топливоизмерительной датчиков аппаратуры, повреждение внутренних защитных покрытий и коррозионные поражения материалов топливных систем

Установлено [23-27], что практически все топлива, в том числе и авиационные керосины, не устойчивы к воздействию микроорганизмов и являются достаточно благоприятной средой для развития ряда микроскопических видов грибов бактерий. Рост микроорганизмов может приводить к накоплению в топливных системах большого количества биомассы агрессивных продуктов жизнедеятельности (органических кислот, аминокислот, ферментов и т.д.), что случае непринятия необходимых мер приводит к отказам и неисправностям в работе технических изделий.

В печати сообщается [28], что в период рейсов морских судов в топливных резервуарах развиваются интенсивные микробиологические процессы. За одни сутки микро-организмы «перерабатывают и портят» от 100 до 900 мг горючего (дизельного топлива) на каждый его кубометр. При этом такой показатель как «количество механических примесей» для дизтоплива может в десятки и сотни раз превышать допустимую норму.

Авторами отмечается [29], что все вазелиновые, моторные, дизельные, веретенные, авиационные, почти трансмиссионные и изоляционные масла и пластичные смазки неустойчивы к грибам бактериям. При воздействии этих микроорганизмов большинство показателей свойств масел и смазок (вязкость, кислотное число, стойкость к окислению и др.) существенно изменяет свои значения. Возникает коррозия узлов и деталей, контактирующих поврежденными c маслами и смазками. Имели место случаи работе маслоагрегатов отказов

результате микробиологических повреждений рабочих масел [28].

Многие авторы отмечают большую зависимость микробиологической стойкости ГСМ даже одного и того же типа от исходного сырья технологии И изготовления. Так, масла различного анастасиевской назначения ИЗ самые устойчивые, а трансформаторное масло из этой нефти считают «абсолютно устойчивым» ПО отношению микроорганизмам [29]. Такие отличия обусловлены особенностями группового и индивидуального углеводородного состава конкретного материала. Установлено также, что многие соединения серы, имеющиеся В сернистой нефти, микробиолозначительно снижают гическую стойкость изготовленных из нее масел. В то же время имеющиеся в смолистых фракциях нефти азотсодержашие соединения оказываются активными биоцидами – веше-ствами. убивающими микроорганизм.

Среди многочисленных внешних условий, способствующих микробиологическим повреждениям ГСМ, определяющими являются наличие в материале воды, минеральных примесей (загрязнений) и температура.

Характерными, способными развиваться в топливах микроорганиз-мами являются бактерии родов Pseudomonas, Micrococcus, Mycobacterium, Desulfovibrio; грибы родов Cladosporium, Aspergillus, Penicillium, Chaetomium; дрожжи родов Candidas, Torula [2, 4, 29].

Масла смазки наиболее И часто повреждаются грибами Aspergillus niger, Penicillium variabile. Penicillium chrysogenum, Penicillium verrucosum, Scopulariopsis brevicaulis; бактериями Bacillus subtilis, Bacillus pumilus, Bacillus licheniformis [2, 4, 29].

Большое количество работ посвящено вопросам воздействия микроорганизмов на металлы и их сплавы [4, 30, 31]. В результате жизнедеятельности микроорганизмов на поверхности металла формируется специфическая агрессивная среда, образуются электрохимические концентрационные элементы, в

окружающей среде (растворе) и (или) на поверхности создаются агрессивные химические соединения и изменяются электрохимические потенциалы. Грибы и бактерии способны инициировать и интенсифицировать различные виды коррозии.

Многие бактерии могут инициировать коррозию даже обычно коррозионностойких металлов и сплавов, таких, например, как медь, свинец и др. [30]. Грибная коррозия наиболее часто проявляется на технических изделиях (оборудование, приборы, сложные узлы и агрегаты), в которых металлические детали контактируют с материалами, способствующими развитию грибов [32-38].

печати [39, 40] приведены результаты экспериментальных исследоразрушений алюминиевых магниевых сплавов, вызываемых грибами Aspergillus niger др. Отмечено разнообразие коррозионных поражений (расслоение, питтинг, межкристаллитная). Предел усталости испытываемых образцов снижается в большей степени, обычного чем после химического воздействия.

В процессах коррозии алюми-ниевых и стальных сплавов принимают активное участие грибы родов *Aureobasidium, Alternaria, Stemphylium* [41].

Испытания стальной, алюминие-вой и медной проволоки под воз-действием микроскопических грибов [42, 43] показали, что менее стойкими являются стальные образцы. Наиболее агрессивны культуры Aspergillus niger, Aspergillus amstelodami и Penicillium cyclopium. В то же время культуры Chactomium globosum и Stachybetris atra заметных изменений не вызвали. Разрушение медной проволоки отмечено лишь под воздействием Penenicillium cyclopium.

Многие лакокрасочные покрытия (ЛКП), полимерные материалы, резинотехнические изделия подвержены отрицательному воздействию микроорганизмов [44, 45], что связывают, главным образом, с воздействием веществ, микроскопическими продуцируемых грибами процессе бактериями В

жизнедеятельности. Изменение свойств материалов наступает в результате различных реакций — окисления, восстановления, декарбоксилирования, этерификации, гидролиза и др. [3].

Решающее значение ДЛЯ микробиологической стойкости ЛКП имеет химический состав пленкообразующего полимера и физические свойства полученной из него пленки (набухаемость, покрытия твердость, пористость, гидрофобность и др.) [2]. Используемые в качестве пигментов вещества в зависимости от наличия в них биоцидных свойств могут существенно влиять на стойкость ЛКП к микроорганизмам. Авторы [45-47] показывают, в составе что окись железа микроорганизмов, стимулирует рост двуокись титана – инертна, а окись цинка замедляет его. Из наполнителей асбест и тальк увеличивают, а карбонат кальция уменьшает интенсивность роста. Низкая грибостойкость ряда ЛКП связана с наличием В ИХ составе качестве В наполнителя окиси магния, которая, обладая гигроскопичностью, поглощает влагу, набухает и тем способствует интенсивному развитию микроорганизмов [48].

Многие исследователи подчеркивают большое влияние микробиолона гическую стойкость ЛКП таких внешних факторов, как солнечная радиация, колебания температуры и влажности воздуха, загрязнение поверхности пылью и солями, воздействие различных газов и др. Они способствуют процессам старения ЛКП подготавливают И питательную микроорганизмов [49-56]. ДЛЯ Микробиологическим повреждениям ЛКП благоприятствуют также нарушения технологий нанесения покрытий требований ПО уходу 3a ними В эксплуатации [57, 58]. При исследовании эпоксидных эмалей (ЭП-525, ЭП-567), нанесенных по грунту АК-070, выявлено, что основными факторами, снижающими физико-механические защитные И свойства ЛКП. влажность являются температура метаболиты воздуха, И грибов во взаимодействии. Наибольшее снижение прочностных характеристик наблюдается в первые 15 – 30 суток в период активного роста грибов [59].

Основными агентами микробиологических повреждений ЛКП являются плесневые грибы. Бактериальные поражения встречаются реже. Грибы, повреждающие ЛКП наиболее часто принадлежат родам Aspergillus, Penicillium, Fusarium, Trichoderma, Alternaria, Cephalosporium, Pullularia, a бактерии - родам Pseudomonas, Flavobacterium [2, 53].

Микробиологические повреждения полимеров, применяемых в конструкциях оборудования, встречаются машин и достаточно часто. Подсчитано, что из числа повреждений, вызываемых микроорганизмами, на детали из пластмасс приходится около 25% [60]. Свыше 60% используемых в технике полимерных материалов не обладают достаточной микробиологической стойкостью Чапте всего их микробиологические повреждения возникают под воздействием микроско-пических грибов, изменяющих цвет, структуру полимера. А в тонких пленках - герметичность и прочность.

Следует отметить существующую противоречивость сообщений грибостойкости различного вида полимеров. Достаточно стойкими считают авторы [61, 62] полиэтилены, поливинилфторопласты, хлориды, пенопласты, поливинилацетат. В то же время в работах [63, 64] сообщается, что под действием грибов происходит повреждение нейлона неопрена, полиэтилена поливинилхлорида. В работах [65, 66] обрастание наблюдалось полиэтилена грибом Neurospora sitophila, а авторы [67] считают ЭТОТ материал наиболее устойчивым, так как нанесенные на него споры грибов вообще не развивались в течение длительного времени.

наиболее характерным микроорганизмам-деструкторам полимеров относятся следующие виды грибов: Aspergillus wamori. Aspergillus niger, Aspergillus oryzae, Trichoderma sp., Aspergillus amstelodami, Aspergillus flavus, Chaetomim globosum, Trichoderma lignorum, Cephalosporum aeremonium,

Penicillium sp., Rhizopus nigricans, Fusarium roseum [68 - 71].

Микробиологическая стойкость резинотехнических изделий (РТИ) во многом зависит от их компонентного состава. О низкой стойкости к воздействию микроорганизмов основного компонента - каучука сообщается в работах [68-75]. Росту микроорганизмов способствуют также и другие компоненты дибутилфталат) (стеарин, [76]. Грибостойкость связана также технологией РТИ. изготовления частности зависит процесса OT вулканизации [77].

Многие исследователи связывают интенсивность роста микроорганизмов на РТИ с процессами их старения под воздействием внешних факторов (свет, температура, давление, озон, влага и др.) [78, 79]. Под их воздействием происходит разрыв макромолекулярных цепей, изменение состава отдельных звеньев, разрушение поверхностного слоя резины. Все это создает благоприятные условия для развития микроорганизмов.

Исследования процессов микробиологических повреждений оптического стекла показывают, что даже незначительные повреждения поверхности стекол приводит к существенному снижению и даже потере работоспособности оптических приборов.

Авторами [80, 81] установлено, что уже при слабом развитии плесневых грибов на поверхности оптического стекла (монокуляра), коэффициент светопропускания уменьшается в среднем на 28%, а коэффициент светорассеяния увеличивается в среднем в 5.2 раза. Выявлены микробиологические повреждения окуляров и призм бинокулярных луп, конденсаторов микроскопов [82].

Интенсивность развития микроорганизмов во МНОГОМ зависит OT (состава) стекла. Так, на кроновых стеклах, содержащих большое количество кремнезема, плесень развивается быстрее, чем на флитовых, в составе которых кремниевой меньше кислоты, значительную часть занимают окислы тяжелых металлов [82, 83].

Отмечается большая роль микробиологических возникновении повреждений стекла таких способствующих ЭТОМУ факторов, как его загрязнения при изготовлении эксплуатации оптических приборов, контакты небиостойкими деталями (прокладки, смазка и др.), с поврежденных которых биодеструкторы *<u>VЧастков</u>* переносятся на поверхность стекла [84-87].

С пораженных оптических деталей в различных климатических районах идентифицирован весьма разнообразный видовой состав микроскопических грибов: Aspergillus niger, Aspergillus versicolor, Aspergillus oryzae, Aspergillus flavus, Penicillium luteum, Penicillium spinulasum, Penicillium commune, Penicillium citrinum, Penicillium frequentens, Mucor sp. и др., всего 23 вида [2-4].

Работы. посвященные микробиологическим повреждениям радиоэлектронного оборудования, свидетельствуют об ИХ весьма высокой чувствительности к процессам жизнедеятельности микроорганизмов. Разнородные материала и технологии составу изготовления детали обладают различной микробиологической стойкостью. Развивающиеся на каком-либо участке микроорганизмы способны приводить к повреждениям и достаточно стойких к их воздействию деталей, снижению рабочих параметров и даже отказам в работе изделий. По заключению специалистов. работающих области надежности радиоэлектронного оборудования, 0.5% отказов аппаратуры обусловлено действием микробиологической среды [88].

Многие авторы отмечают, что рост плесени на поверхности электроизоляции приводит резкому падению электросопротивления [89 - 91]. Авторами отмечается опасность появления плесневых грибов на материалах электронной аппаратуры [92 - 94]. В работах сообщается, что из-за плесени, образовавшейся вследствие несовершенства системы вентиляции и высокой влажности воздуха на надводных кораблях, наблюдается частый выход из строя радиоэлектрон-ного оборудования

[95, 96].

Отмечается, что наибольшее количество микробиологических поврежлений на материалах деталях радиоэлектронного оборудования наблюдается В районах с тропическим климатом. то же время они обнаруживаются практически всех климатических районах [97 - 99].

Исследованиями, проведенными объектах речного и морского флота, (хранящихся) эксплуатирующихся различных климатических районах, установлено, что основными очагами распространения плесневых грибов радиоэлектронном оборудовании являются следующие материалы: х/б нити, дерматин, резина, керамика, фибра, пластмассы, войлок, фетр, лакоткань и др. На пластмассовых платах приборов под воздействием микроорганизмов образуются раковины, вспучивания и трещины. Выявлены случаи разрушения изоляционных материалов (лакотканей, ЛКП, трубок ΠBX), пробоя изоляции электропро-водов и плат, выхода из строя трансформаторов И др. Микробиологической коррозии подвержены многие детали электрооборудования из стали, алюминиевых И магниевых сплавов (Ст.10, 45, 30ХГСА, Д16Т, АМГ, АМЦ, др.), а также детали с MA-16 цинковыми, кадмиевыми, фосфатными, оловянными покрытиями.

Процессы взаимодействия материалов с микроорганизмами-деструкторами

Несмотря на разнообразие причин возникновения и развития микробиологического повреждения они могут быть сведены к ряду общих для любых биоповреждающих ситуаций взаимодействий материала с микроорганизмами. Прежде всего необходимо наличие источника биодеструкторов, затем должен быть осуществлен их (биодеструкторов) перенос такого источника потенциально повреждаемой поверх-ности (материалу, детали, изделию). После этого происходят закрепление, рост на этой поверхности (или объеме) В свойств микроорганизма и изменение

контактирующего с ним материала.

Перечисленные этапы общего процесса изучены не в одинаковой степени. В работах по проблеме биоповреждений рассматриваются, как правило, только рост микроорганизмов и его влияние на свойства материалов.

Отдельные аспекты переноса микробных клеток в атмосфере. закрепления и роста на различных субстратах отражены в литературе по атмосферной, почвенной и медицинской микробиологии, адгезии мелколисперсных частиц, роста биологических систем. Изучение влияния на материалы агрессивных сред, к которым, вероятно, могут быть отнесены и микроорганизмы, является предметом многочисленных материаловедческих исследований.

связи c ЭТИМ представлялось целесообразным провести анализ имеющихся в литературе сведений о природе, закономерностях и методо-логии исследований взаимодействия материалов с микроорганизмами, привлекая свойступомянутым выше научным дисциплинам представ-ления об этих взаимодействиях.

Как микроорганизмы известно, распространены повсеместно. населяют почву, воду, воздух, растения, организмы животных и человека [100]. Но все же их основным местом обитания является почва, а видовой состав и количество зависит от ее природных и химических особенностей. Наиболее насыщен слой почвы на глубине 5 - 15 см, содержит ДО 10^{8} единиц ee [100, микроорганизмов. 101]. Распределение различных групп ИΧ типом определяется [102].почвы Микроорганизмами-космополитами всех почв являются грибы родов Penicillium, Aspergillus и бактерии Bacillus mycoides, Bacillus megaterium.

Состав микроорганизмов в атмосферном воздухе зависит от их содержания в почве и воде, а также от времени года и метеорологических условий.

Размножение и распространение микроорганизмов происходит преиму-

[103]. щественно посредством спор разнообразие Несмотря на большое размеров и форм, огромное количество является одноклеточными образованиями овальной или сферической формы с диаметром 1 - 50 мкм.

большинства микроскопи-ческих грибов распространение спор в природе распадается на две фазы [103]: освобождение спор из непосредствен-ного контакта с материнской тканью и их разнесение ветром, насекомыми и т.д. У живущих на суше грибов споры, как отбрасываются активно, правило, освобождаясь OT материнской ткани. освобождение Активное может происходить различными способами: выбрасывание спор лопающимися турисцентными клетками, выбрасывание водяной струей, выдавливание содержащей набухающей споры слизистой массы через стенки клеток и др. Имеются грибы, споры которых отделяются пассивно. Среди пассивного освобождения спор выделяются следующие варианты: отделение под действием силы тяжести; освобождение под действием конвекционных токов; сдувание спор (дефляция); отделение при столкновении с капельками тумана или ложля.

атмосферу, Попав В споры рассеиваются, концентрация их в воздухе убывает по мере удаления от источника. Считается, что основными факторами, определяющими распро-странение спор, является скорость ветра и скорость падения спор в спокойном воздухе [104, 105]. Скорость падения варьируется от 0.05 см для мелких спор (диаметром 4,2 мкм) до 2.8 см для крупных удлиненных спор (диаметром 29 - 68 мкм). Для спор большинства микроскопических грибов она составляет, примерно, 1 см.

Авторами работ [100,103] ПО распределению микроорганизмов В воздухе сделан вывод, что ДЛЯ количественного определения присутствия в разных местах и в разное вполне правомерно применять время методы математической статистики. Предложены аналитические уравнения, позволяющие определить концентрацию спор в облаке, образованном различными источниками. Источники по характеру выделения спор разделяют на три типа: мгновенный точечный источник, непрерывный точечный источник, непрерывный линейный источник.

Определение количества спор, находящихся в воздухе, производится различными методами. Широкое распространение получили седиментаоснованные метолы. осаждении частиц под действием силы тяжести. С применением небольших по размерам ящиков, имеющих откидные стенки, исследуют седиментацию неподвижного воздуха. Из естественного воздушного потока осаждение спор изучают на стеклянных пластинах, экспонирующихся пол навесом. Используются и другие способы, в том числе с искусственным приведением в лвижение воздуха. Для исследования характера распределения и осаждения спор в различных воздушных потоках применяют инерционные методы инерционных помощью фильтров, различных сопел, флюгера, насоса, вентилятора, вертикальных цилиндров, центробежных заборников, воздушных шаров и др.).

Следующим этапом и необходимым условием процесса взаимодействия микроорганизмов с материалом является перенос микробных клеток к потенциально повреждаемой поверхности. В исследованиях микробиологии атмосферы этот этап обычно называют осаждением спор.

Под этим термином подразумевают все те процессы, в результате которых находящиеся в воздухе микроорганизмы переходят из взвешенного состояния на поверхность твердых тел (до момента начала закрепления на поверхности материала) или жидкости [100, 103, 106].

Известны следующие основные виды осаждения в естественных условиях: инерционное осаждение, седиментация, обмен в пограничном слое, турбулентное осаждение, осаждение дождем и электростатическое осаждение. Все эти

виды осаждения характеризуются соотношением между количеством спор, присутствующих в воздушном слое толщиной в 1 см над поверхностью, и их количеством, осевшим на данную поверхность.

В исследованиях обычно используют какую-либо стандартную поверх-ность (обычно поверхность стекла), на которую, как правило, наносят питательную для микроорганизмов среду. Подсчет уловленных поверхностью спор производится известными микробиологическими методами [106 - 108].

Взаимодействие микроорганиз-мов с начинает проявляться материалом непосредственной близости ОТ поверхности на расстоянии порядка сотен ангстрем и приводит к прикреплению клеток к материалу [109, 110]. Эту стадию процесса биоповреждения в литературе обозначают различными терминами: сорбция, адсорбция, адгезия, закрепление, поглощение и др. В то же время, с точки современной физической зрения коллоидной химии поглощение микробных (спор) клеток твердыми материалами можно рассматривать, как процесс адгезии [111, 112]. Согласно упомянутым представ-лениям две поверхности ΜΟΓΥΤ считаться адгезированными, когда требуется какаялибо работа для разделения их первоначального состояния.

Имеюшиеся данные позволяют рассматривать процесс адгезии микроорганизмов как необходимое vсловие и первый собственно этап повреждения материала. В [109] показано, стекла разрушение бактериями происходит именно местах прикрепления К поверхности. Установлено, y термофильного что Clostudium thermocellum при анаэроба контакте целлюлозой образуется контактный коридор из целлюлосом, где и расщепление. происходит ee Также показано [113 - 115], что клетки культуры способны Mycobacterium globiforme адсорбироваться на кристаллах стероидов - метилтестосте-рона, кортизона и их ацетатов, растворение кристаллов идет наиболее быстро в местах прикрепления клеток.

микробной Процессы адгезии рассматриваются в медицинской микробиологии, вирусологии, экологии, (микробиология почвоведении почв). Исследования посвящены, в основном, взаимодействию бактерий с различными субстратами в водных средах. Наиболее подробно вопросы микробной адгезии рассмотрены в монографии [109], а также в ряде статей [116 - 125].

Достаточно полно разработаны физико-химические представления и методология исследования адгезии мелкодисперсных частиц (пыли, порошков) небиологической природы [111, 112].

Адгезионное взаимодействие определяется свойствами контактирующих объектов и окружающей среды.

Поверхность микробных клеток имеет сложную морфологию (выступы, выросты). Отмечается большая мозаичность строения ее внешнего слоя. Он содержит гидрофильные участки, гидрофобные самые разнообразные функциональные группы, области с положительным и отрицательным электрическим зарядом [126 -128]. В процессе контакта, приспосабливаясь к субстрату, клетка способна видоизменяться, формируя адгезионные вещества, в том числе и внеклеточные. Адгезионные функции установлены у продуцируемых клетками гетерополисахаридов, мукополисахаридов, некоторых липидов [129 - 131]. Исследования внешнего слоя плазматической мембраны клеток амебы Dictyostelium discoideum показали, что при агрегации организмов существенную роль играют лектины.

Такие свойства клетки обеспечивают возможность адгезии микроорганизмов К материалам, обладающим различными физическими и химическими свойствами (шероховатость, гидрофобность и др.). Существенное влияние на ЭТОТ процесс факторы, оказывают такие как температура и влажность, рН водной среды, наличие в ней различных примесей [119 - 120].

Адгезия микроорганизмов как и мелкодисперсных частиц небиологической природы, может обусловливаться молекулярными, химическими, лярными и электрическими силами [112, 119]. Обычно процесс адгезии рассматривают состоящим из двух стадий. В начальный период контакта (первая стадия), характеризующийся сравнительно прикреплением слабым клетки поверхности, определяющую роль играют силы физической природы. Затем (вторая стадия) их характер может меняться за появления химической счет составляющей.

Известны количественные описания адгезионного взаимодействия отдельных систем микроорганизмматериал, устанавливающие взаимосвязычисла клеток на субстрате (материале) с их концентрацией в окружающей среде [121 - 125]. Для анализа успешно используются представления физичес-кой и коллоидной химии.

Адгезию обычно характеризуют количеством клеток, прикрепившихся к поверхности, единице силой. необходимой для удаления этих клеток. Экспериментальные методики основаны, как правило, на двух обязательных этапах работ. Это - непосредственный подсчет микробных клеток, проводимый различными микроскопирометодами вания (световое, люминесцентное. электронное), воздействие И адгезионную пару силового поля (способом наклона поверхности образцов, центрифугирования, вибра-ционного отрыва и др.) [112].

Силы адгезии однородных мелкодисперсных частиц данной поверхности при одних и тех же условиях испытаний не одинаковы по величине [109, 112]. Поэтому качестве характеристики силы адгезии таких частиц используют так называемое число адгезии. Эта характеристика определяется как отношение количества частиц, которые остались на поверхности материала после воздействия заданного по величине силового поля, к числу частиц, первоначально находившихся на поверхности. В [109] при исследовании адгезии различных видов бактерий к стеклу впервые был использован метод центрифугального отрыва. Он позволил получить воспроизводимые значения числа адгезии в широком интервале величин воздействующего силового поля.

При благоприятных для микроорганизмов условиях начинается развитие адгезионных клеток, характе-ризующееся их ростом. Согласно существующим в микробиологии представлениям [132 - 133] рост микро-организмов - это увеличение их массы (размеров тела и (или) количества клеток) в результате последовательно протекающих биохимических реакций обмена веществ (метаболизма).

Различные аспекты микробиологического ростового процесса исследумикробиоэкспериментальной логией [132, 134], генетикой [135],физиологией, биотехнологией получе-ния различных веществ в про-мышленности [136].настоящее время рост микроорганизмов является основной характеристикой микробио-логической стойкости материалов и эффективности соответствующих средств защиты [2, 4].

интенсивность Возможность микробиологического ростового про-цесса сочетанием определяются свойств субстрата (материала), как питательной микроорганизмов среды ДЛЯ особенностей последних, генетических обусловливающих ИΧ способность использовать субстрат как источник питания и энергии. Существенное влияние на ростовой процесс оказывают и внешние условия (температура, влажность, загрязнения и др.) [137, 138].

Микроорганизмы, растущие на материале, обладают богатым лабильным ферментативным аппаратом, который позволяет им приспосабли-ваться широкому субстратов. кругу мицелиальных грибах найдены ферменты, относящиеся ко всем 6 классам по существующей междуна-родной классификации [139]. Однако особо важную роль в росте на большинстве

материалов оказывают оксидоредуктазы, гидролазы и липазы [140 - 142].

Среди микроорганизмов, заселяющих материалы на основе целлюлозы, в преобладают продуценты основном целлюлитических ферментов, гидролизующих целлюлозу до глюкозы [143 -149]. Из разрушителей углеводородсодержащих материалов наиболее активны продуценты липаз и оксидоредуктаз. На материалах, содержащих минеральный компонент. преобладают продуцирующие органические кислоты, а окислительные ферменты пероксидазу и каталазу. Со строи-тельных минеральной материалов на основе, содержащих органические компоненты, выделено большое количество кислотообразователей, a также продуцентов глюкозооксидазы полифенолоксидазы [150].

В литературе [45, 151] приведены закономерности влияния на рост микроорганизмов структуры и состава материала. Так, полимеров ДЛЯ способность обеспечивать микробиологический повышается рост увеличением числа атомов углерода в молекуле. Она зависит также от степени замещения, длины и гибкости цепи между функциональными группами. Установлено [152], что полиуретаны с простой эфирной подвержены более микробиологическим повреждениям, чем полиуретаны со сложной связью.

В микробиологии [132] различают несколько основных фаз (стадий) роста микроорганизмов. зависимости В микроорганизм-субстрат свойств пары иметь различную они ΜΟΓΥΤ продолжительность интенсивность. И Первая фаза - адаптивная (лаг-фаза). Ее продолжи-тельность определяется интервалом времени ОТ момента инокуляции мате-риала до достижения vвеличения максимального скорости роста. В этот период происходит синтез микробной клеткой комплекса ферментов, необходимого для потребления данного питательного субстрата, также неравномерный ускоренный рост биомассы, свидетельствующий

завершении формирования в клетках соответствующих биохимических механизмов обмена веществ.

Затем происходит монотонное увеличение биомассы c постоянной максимальной скоростью - экспоненциальная фаза. Эта фаза продолжается до истощения одного ИЗ компонентов питательной среды, лимитирующего развитие микроорганизма и (или) до образования продуктов обмена веществ (метаболитов), ингибирующих его рост. Истощение питательной среды накопление в ней продуктов обмена приводит к постепенному затуханию метаболических процессов, что сопровождается уменьшением скорости, а затем и полным прекращением роста биомассы - стационарная фаза.

В настоящее время предложены многочисленные уравнения зависимости скорости роста от различных факторов [153 - 157]. Многие из них имеют вид близкий К уравнению Моно [158],отражающему скорости зависимость ферментативной реакции от концентрации компонентов питательного субстрата. уравнением Другие схожи неконкурентного торможения ферментативных реакций. Они описывают зависимость роста ОТ концентрации ингибирующих продуктов его метаболизма [159, 160]. Указанные модели работают, основном, экспоненциальной фазе роста.

Известны также математические модели, базирующиеся на решении дифференциальных уравнений роста, пригодные для описания развития самых различных биологических объектов. Они основаны на использовании удельной скорости роста [161 - 163].

В качестве характеристик роста используют морфологические признаки и количественные показатели биомассы, а также наличие и количество веществ, содержащихся в клетках и (или) выделенных продуктах метаболизма [2, 4].

Экспериментальные исследова-ния микробиологического ростового процесса, как правило, предполагают культивирование микроорганизмов на

материалах и определение контролируемой характеристики роста. Обычно испытания в области биоповреждений предусматривают однократное определение характеристики после 21 - 28 суток культивирования микроско-пических грибов и 5 - 28 суток - бактерий.

Рост на материале и за счет материала сопровождается изменением свойств последних. Эти изменения происходят параллельно микробиологическим ростовым процессом нередко продолжаются после его завершения. Они могут быть вызваны нарушением целостности или загрязнением материала за счет разрастания микробных тел. Но, главным образом, материалов свойств изменения контакте с биодеструктором связывают, часто без достаточных на экспериментальных оснований, c воздействием органических кислот ферментов, продуцируемых микроор-4]. ганизмами [2, Наиболее полно кислотообразование микроорганизмовдеструкторов изучено в работах [144, 164 -166]. Установлено наличие в метаболитах грибов уксусной, пропионовой, масляной, фумаровой, янтарной, яблочной, лимонной, винной, глюконовой щавелевой кислот. Эти кислоты способны изменению приводить К физикомеханических харак-теристик полимеров лакокрасочных покрытий и оптического стекла, вызывать коррозию металлов [4].

В работах [144, 145, 167 - 170] экспериментально подтверждена способнекоторых ферментативных ность комплексов оказывать разрушающее воздействие на такие материалы, как полимеры животного происхождения, нефти продукты переработки целлюлозосодержащие материалы. Закоизменения номерности свойств этих материалов микроорганизмами достаточно подробно исследованы в [2, 4]. Там особенности коррозии изложены воздействия **УСЛОВИЯХ** металлов биофактора изложены в [2, 4].

Методология исследования влияния на материалы агрессивных сред, к которым можно отнести продуцируемые

микроорганизмами органические кислоты, ферменты другие химические соединения, хорошо разработана [171 -177]. Агрессивные среды в зависимости от характера ИΧ взаимодействия материалом принято делить на две группы - химически и физически активные. Воздействие каждой из этих двух групп сред часто приводит к одинаковому эффекту. Это может быть изменение прочности, диэлектрических свойств, структуры материала. Однако закономерности, определяющие такие изменения зависят характера воздействия среды на материал.

Влияние физически активных сред связано с адсорбцией молекул среды, обусловливающей изменение поверхностных свойств материала, или обусловлено набуханием (хотя бы и незначительным) И вызываемой им Действие пластификацией материала. физически активных сред может носить обратимый, так необратимый И

характер.

Химически активные среды приводят к химической деструкции неметаллических материалов и коррозии металлов. Их действие носит необратимый характер.

Разработан ряд аналитических моделей процессов взаимодействия агрессивных сред с твердыми материалами [173, 175].

Влияние микроорганизмов свойства материалов характеризуют величиной относительного, по сравнению с исходным, изменения того или иного показателя свойств. Экспериментальные исследования ЭТОГО этапа микробиологического повреж-дения обычно осуществляют однократно после определенного времени культивирования биодеструкторов на материале. Определение контролируемого показателя свойств приводят известными материаловедении методами анализа [2, 4].



Схема системного подхода к повышению микробиологической стойкости изделий техники.

Повышение микробиологической стойкости материалов и изделий

Повышение микробиологической стойкости изделий представляет собой комплекс мероприятий, направленных на предотвращение или снижение интенсивности повреждающих процессов взаимодействия микро-организмов с объектами техники.

Наибольший эффект достигается при увязывании этих мероприятий охватываюшую систему. этапы жизненного шикла изделий (проектирование, производство эксплуатацию). Необходимые работы проводят на основании общего системного подхода, предложенного для решения проблем защиты конструкций машин от воздействующих факторов среды [4]. Составляющие такого подхода приведены на схеме.

При проведении анализа конструкционно-технологических эксплуатационных особенностей изде-лия, влияющих на его микробио-логическую стойкость рассматривается информация о микробиологической стойкости изделия, применяемых в нем материалов, рабочих сред, деталей, агрегатов, систем, средств защиты и режимов их использования, а микроорганизмах-деструкторах. также Анализируются данные о влиянии на микробиологического процессы повреждения применяемых в конструкции геометрических форм, имеюшихся компоновок, застойных зон, герметичных объемов, а также сведения о факторах внешней среды в условиях эксплуатации.

В настоящее время эти данные фрагментарный характер носят представляют собой результаты стандартных устойчивости испытаний материалов воздействию К микроорганизмов. Сведения о микробиологических повреждениях материа-лов и изделий в условиях эксплуатации имеют субъективный характер. Заключение о микробиологическом повреждения базируется, в основном, на результатах определения наличия на поврежденном материале клеток микроорганизмов-деструкторов И ИΧ

агрессивности.

В результате выполнения этого этапа определяются объекты микробиологических повреждений (материалы, детали и др.), видовой состав микроорганизмов-деструкторов, основные факторы внешней среды, способствующие протеканию процессов взаимодействия микроорганизмов с материалами.

Следующим важным этапом является работы выбор значений микробиологической показателей стойкости и их допустимых значений, основывающийся результатах на с учетом специальных исследований функционального назначения изделия (его элементов) некоторого известного (задаваемого) интервала времени т (срока межремонтного службы, периода, периодичности проведения техничес-кого обслуживания и т.п.).

качестве показателей микробиологической стойкости обычно используют характеристики процессов роста микроорганизмов на поверхности (или объеме) материалов (биомассу-т) и изменения свойств последних (показатель свойств - Π), а также скорости протекания (интенсивности) ЭТИХ Как процессов. правило, рост микроорганизмов оценивают визуально в баллах, учитывающих морфоло-гические признаки колонии на материале после некоторого инкубирования времени заселенного микроб-ными клетками образца [2, 4].

Допустимые значения биомассы $(\Pi_{\text{доп}})$ изменения свойств $(\mathbf{m}_{\text{поп}})$ устанавливают, исходя из величин этих показателей, превышение которых приводит к нежелательному изменению состояния объекта. Для изделий, электрической работающих под допустимым показателем нагрузкой, грибостойкости является рост грибов, оцениваемый баллом 3. Для оптических деталей - баллом 2 [2, 4].

Этап моделирования и прогнозирования микробиологических повреждений изделия (или его элементов) проводят, учитывая его конструктивно-

технологические особен-ности и эксплуатационные факторы, оказывающие определяющее влияние на взаимодействие микроорганизмов с материалами.

Исходя из объема и характера имеющейся информации, возможно использование различных подходов к моделированию прогнозированию И результатов указанного взаимодействия (экспертная оценка, физическое математическое моделирование и др.). В настоящее время в связи с отсутствием достоверных количественных данных о процессах микробиологического повреждения применение математических методов затруднено. Используются, правило, как эвристические подходы: метод ранжирования [178], парных сравнений, Дельфа [179]. С их помощью были получены сравнительные характерис-тики биоцидной активности некоторых химических соединений, определены пути подавления развития микро-организмов

Оценка микробиологической проводится путем стойкости изделия сравнения величин показателей, полученных на основании моделирования (прогнозирования), с их допустимыми значениями. Невыполнение **УСЛОВИЯ** $\mathbf{m}(\tau) \leq \mathbf{m}_{\text{доп}}$ или $\mathbf{\Pi}(\tau) \leq \mathbf{\Pi}_{\text{доп}}$ свидетельствует недостаточной микробиологической стойкости объекта (его элемента) и является основанием ДЛЯ принятия необходимости решения 0 совершенствования методов и средств зашиты.

Разработка мероприятий микробиологической повышению стойкости проводится на основании анализа информации о существующих средствах и методах защиты и базируется экономической технической ИЛИ целесообразности применения. ИΧ Сведения о существующих средствах и обобщены методах защиты В ряде монографий [2, 4, 180].

В общем случае ингибирование процессов микробиологического повреждения может осуществляться с помощью следующих 4-х групп

воздействия:

- на среду изменение состава и характеристик среды, в том числе содержания в ней благоприятных для микроорганизмов примесей и возможных загрязнений, температуры и влажности;
- на микроорганизмы изменение их видового состава и количественного содержания в среде, введение в среду веществ, ингибирующих процессы жизнедеятельности микробных клеток, удаление или уничтожение микроорганизмов-деструкторов, находящихся на поверхностях (в объеме) материалов, деталей;
- на объект техники рациональное конструирование, препятствующее возникновению и развитию микробиологических повреждений, очистка объекта от способствующих развитию микроорганизмов загрязнений;
- комплексное различное сочетание приведенных выше групп.

Существующие средства и методы защиты могут быть классифицированы с учетом их воздействия на процессы взаимодействия микроорганизмов с материалом, приводящие к повреждению последнего. Защита может производиться на каждом из приведенных выше 2 этапов этого процесса.

Ha этапе распространения переноса микроорганизмов защиту можно осуществлять: выбором районов эксплуатации, минимизирующих возможность объекта заражения микроорганизмами-деструкторами; стерилизацией воздушных потоков; изоляцией (частичной или полной) объекта от заражения микроорганизмами.

Адгезия регулироваться: может изменением гидрофильно-гидрофобного баланса И водопоглощения; ингибированием клеточных процессов продуцирования метаболитов-адгезивов; изменением шероховатости поверхности и условий внешней среды, минимизирующим силы адгезии.

Интенсивность микробиологического ростового процесса снижается:

уменьшением содержания в материале компонентов, используемых микроорганизмами в качестве источника питания, уменьшением влагопогло-щения гидрофильности материала, введением в состав материалов веществ, ингибирующих процессы обмена веществ клетке (биоцидов). созданием неблагоприятных ДЛЯ роста микроорганизмов условий внешней среды.

Эффект изменения свойств материала воздействием микроорганизмов регулируется: изменением структуры материала (увеличением степени кристалличности и полимеров, ориентации сшиванием макромолекул с образованием сетчатых структур), изменением химического строения (введением в макромолекулы полимеров заместителей, стерически затрудняющих агрессивных подход метаболитов к химически нестойким связям, изменением состава материала (введением минеральных наполнителей, диффундировать способных поверхности и создавать на границе раздела защитный слой, модификацией поверхности материала формированием на ней изолирующего слоя (слоев) с другими физико-химическими свойствами, стойкого к метаболитам, изменением напряженного характера состояния поверхностных слоев материала, детали, изделия, например, созданием остаточных напряжений сжатия, препятствующих облегчению растрескивания материала в присутствии метаболитов, изменением условий внешней среды целью минимизации скоростей протекания сорбционных, химических (электрохимических) процессов.

Указанные общие направления защиты могут быть реализованы путем создания и использования микробиологически стойких материалов и конструкций, специальных средств и методов защиты, а также корректировкой условий эксплуатации и технического обслуживания изделий, препятствующей процессам микробиологического повреждения.

Оценка эффективности разрабо-

мероприятий осуществляется путем моделирования и прогнозирования микробиологическую влияния на стойкость объекта. 0 достаточности какого либо мероприятия свидетельствует выполнение условия $m(\tau) \leq m_{\pi o \pi}$ или $\Pi(\tau) \leq \Pi_{\text{доп.}}$

Следует подчеркнуть, что проведение рассмотренных выше этапов исследований основывается поступающих данных 0 микробиологической стойкости материалов, изделий, средств и методов защиты и прогнозе ее изменения В условиях эксплуатации объекта техники. В случае отсутствия указанных ланных получают путем выполнения комплекса испытаний в лабораторных натурных условиях.

Таким образом, имеющиеся литературе данные свидетельствуют биосинтетические что состав, свойства микроорганизмов-деструк-торов, их способность развиваться на материалах техники и вызывать повреждения изделий изучены достаточно полно. Вместе с тем, используемые средства и методы защиты, а также общий подход к их разработке нередко оказываются малоэффективными. Успешное решение проблемы во многом связано с развитием представлений о процесса природе реального микробиологи-ческого повреждения материалов И наличием объективной количественной информации закономерностях его возникновения протекания.

Однако В настоящее время механизм биоповреждения рассматривается, как правило, c позиции биохимических превращений материала, биодеструктором вызываемых И обеспечивающих возможность его (материала) ассимиляции ЭТИМ биодеструктором в качестве источника питательных веществ. Количественные данные об этом процессе практически отсутствуют. Не исследованы началь-ные, предшествующие собственно повреждению, взаимодействия мате-риала с присутствующими во внешней среде микроорганизмами. Невыяснен-ным остается вопрос о причинах изменения свойств материалов под воздействием биодеструкторов, роль в этих изменениях продуцируемых микроорганизмами соединений (метабо-литов) и других (не биологических) факторов внешней среды.

Проведенный анализ современ-ного состояния работ по проблеме позволяет сделать вывод перспективности 0 применения в исследованиях реального микробиологического процесса повреждения материалов формальнопредставлений кинетических 0 его Такие механизме. представления предполагают рассмот-рение изучаемого процесса, как совокупности ряда этапов, протекание каждого ИЗ которых подчиняется отражающими его механизм кинетическому закону и аналитической модели.

Имеющиеся в литературе сведения позволяют предполагать, что процесс биоповреждения может быть представлен состоящим из трех основных этапов - взаимодействий материала с

микроорганизмом: 1 -(адгезии), 2 - роста биодеструктора на материале и 3 - изменения свойств последнего. При этом исследования количест-венных природы И закономерностей каждого из этих этапов целесообразно проводить с помощью хорошо разработанных представлений и методических подходов, используемых изучении соответствующих при научными взаимодействий такими дисциплинами. атмосферная, как почвенная, медицинская микробиология, мелкодисперс-ных частиц, химическая стойкость материалов.

Такие исследования позволят обосновать научно-методические подходы к решению всего комплекса практически важных задач повышения микробиологической стойкости изделий техники, повышает экономическую эффективность их использования за счет продления времени их эксплуатации и снижения расходов по капремонту.

ЛИТЕРАТУРА:

- 1. Semenov, S. A. Biodegradation and durability of materials under the action of microorganism / S. A. Semenov, K. Z. Gumargalieva, G. E. Zaikov. Utrecht: VSP International Science Publishers, 2003, 199 p.
- 2. Биоповреждения / Под ред. проф. В. Д. Ильичева. М. : Высшая школа, 1987. 352 с.
- 3. Анисимов, А. А. Биоповреждения в промышленности и защита от них / А. А. Анисимов, В. Ф. Смирнов. Горький : Издание ГГУ, 1980. 82 с.
- 4. Герасименко, А. А. Защита машин от биоповреждений / А. А. Герасименко. М. : Машиностроение, 1984.-111 с.
 - 5. Осницкая, Л. К. // Микробиология. 1946. Т. 15, ып. 2. C. 249-263.
 - 6. Rehm, Jurgen / Erdol u Rohll-Erdgal. Petrochem. 1991. Vol. 44. P. 149.
- 7. Скрябина, Т. Г. Бактериальная зараженность дизельных топлив / Т. Г. Скрябина,
- И. В. Лазарева // Нефтепереработка и нефтехимия (научно-технические достижения и передовой опыт). 1994. № 6. С. 14-17.
- 8. Lesdbetter, E. R. / E. R. Lesdbetter, J. R. Foster // Arch. Microbiol. 1960. Vol. 35, N_2 2. P. 104-134.
- 9. Бирштехер, Э. Нефтяная микробиология / Э. Бирштехер Э. Л. : Гостоптехиздат, 1957.-314 с.
- 10. Поглазова, М.Н. / М. Н. Поглазова, И. Н. Мацкевич // Микробиология. 1984. Т. 53. С. 850-858 .
- 11. Foster, J. W. / J. W. Foster // J. Microbiol. a. Serol. 1962. Vol. 28, № 3. P. 242–287.
- 12. Розанова, Е. П. Микрофлора нефтяных месторождений / Е. П. Розанова, С. И. Кузнецов М. : Наука, 1974. 198 с.
 - 13. Krynitsky, G. A.. Naval Research Rev. 1964. Vol. 17, № 2. P. 62-69.

- 14. Chem. Week. 1964. Vol. 9. P. 71-75.
- 15. Hill, E. C. // J. Inst. Petrol. 1967. Vol. 53. P. 280-284.
- 16. Hitzmann, D. O. / D. O. Hitzmann, R. E. Linnard // Confr. Petr. VII. Mexico, 1967. Simp. 36. P. 33-35.
- 17. Arnold, J. B. Effekts of microbial growth and its by products on coalescing filtration of hydrocarbon fuels and oils / J. B. Arnold // Filtr and Separ. − 1984. − Vol. 21, № 2. − P. 108-111
- 18. Reviere Jacques. Microorganisms et carburants accidents et remedes // Petrole et techn. 1986, № 322. P. 73-76.
- 19. Hill, E. C. Microorganisms in marihe fuel: fouling and corrosion / E. C. Hill, J. C. Hill // Mar., Eng. Rev. 1985. Dec. P. 14-16.
 - 20. Parbery, D. G. // Intern. Biodeterior. Bull. 1968. Vol. 4, № 2. P. 79-81.
 - 21. Iverson, V. R. // Vhem. Eng. 1968. Vol. 1-2, № 8. P. 242-244.
 - 22. Iverson, V. R. // Corros. Preven. a. Control 1969. Vol. 16, № 1. P. 15-19.
- 23. Ермоленко, З. М. Физиологические, ультраструктурные и морфо-популяционные особенности бактерий *Mycobacterium flavesceus*, утилизирующих нефть и нефтепродукты / З. М. Ермоленко, Г. В. Штучная, И. А. Мартовецкая // Биотехнология. 1996. № 5. С. 17-24.
- 24. Скрибачилин, В. Б. О биоповреждении топлив / В. Б. Скрибачилин, Е. А. Лаптева, Л. К. Михайлова // Химия и технология топлив и масел. 1983. № 12. С. 29-30.
- 25. Литвиненко, С. Н. Биологическое поражение нефти и нефтепродуктов и их защита при транспортировке и хранении / С. Н. Литвиненко. М. : Изд-во ЦНИИТЭнефтехим, 1970. 51 с.
- 26. Крейн, С. Э. / С. Э. Крейн // Прикладная биохимия и микробиология. 1969. Т. 5, вып. 2 С. 233-236.
- 27. Крейн С. Э. / С. Э. Крейн // Прикладная биохимия и микробиология. 1973. Т. 9, вып. 1 С. 143-145.
- 28. Микрофлора и нефть // Материалы VIII мирового нефтяного конгресса. М .: Изд-во АН СССР, 1971. 112 с.
- 29. Литвиненко, С. Н. Защита нефтепродуктов от действия микроорганизмов / С. Н. Литвиненко. М. : Химия, 1977. 142 с.
- 30. Андреюк, Е. И. Литотрофные бактерии и микробиологическая коррозия / Е. И. Андреюк, И. А. Козлова. Киев : Наукова думка, 1977. 162 с.
- 31. Емелин, М. И. Защита машин от коррозии в условиях эксплуатации / М. И. Емелин, А. А. Герасименко. М.: Машиностроение, 1980. 224 с.
- 32. Защита радиоэлектронной аппаратуры от внешних климатических условий./ Под ред. Г. Юбиша. М. : Изд-во Энергия, 1970. 232 с.
- 33. Занина, В. В. Влияние биокоррозионной активности грунта на биостойкость изоляционных покрытий / В. В. Занина, А. Е. Коптева, И. А. Козлова // Микробиология. -1996. T. 58, № 1. C. 88-96.
- 34. Романова, Н. С. / Н. С. Романова, Г. С. Жилина / В кн.: Новые атмосферостойкие и декоративные покрытия. М.: МДНТП им. Ф.Э.Дзержинского, 1976. С.126-132.
- 35. Проэктор, Е. Г. Защита кабельных и воздушных линий электропередачи от коррозии / Е. Г. Проэктор, П. И. Анастасиев, А. В. Коляда. М.: Энергия, 1974. 158 с.
- 36. Могильницкий, Г. М. К вопросу о методах испытаний биостойкости изоляционных покрытий / Г. М. Могильницкий, С. В. Жукова, В. Ф. Храмихина / В кн. : Методы определения биостойкости материалов. М. : ВНИИСТ Миннефтегазстроя, 1979. С. 106-112.
- 37. Лугаускас, А. Ю. Видовой состав микроскопических грибов и ассоциации микроорганизмов на полимерных материалах. / А. Ю. Лугаускас, Л. М. Гиригайте, Ю. П. Репечкене / В кн. : Актуальные вопросы биоповреждений. М. : Наука, 1983. С. 115.

- 38. Рихтера, М. Тропикализация электрооборудования / М. Рихтера, Б. Бартакова. М.: Госэнергоиздат, 1962. 400 с.
- 39. Hedrick, N. G. Microbiological corrosion of aluminum / N. G. Hedrick // Mater. Prot. 1970. Vol. 9, № 1. P. 27-31.
- 40. Parbery, D. G. The role of Cladosporium resinae in the corrosion of aluminium alloys / D. G. Parbery // Intern. biodeter. Bull. 1968. Vol.4, № 2. P.79-81.
- 41. Заикина, Н. А. Плесневые грибы при микробиологических повреждениях./ Н. А. Заикина, Н. П. Елинов, Г. Г. Голованенко // Теоретич. проблемы биологических повреждений материалов :докл.. Всес. Симп. Москва. М. : 1971. 26 с.
- 42. Mikrobiologicaly inflamed corrosion // Anti-Corros. Meth. And Mater. -1994. Vol. 41, N_{2} 6. P. 26.
- 43. Eating away at the infrastructure-the heavy cost of microbial corrosion // Water Qual. 1995. $N_2 4$. P. 16-19
- 44. Жебровский, В. В Новые лакокрасочные покрытия для стран с тропическим климатом / В. В. Жебровский, Ф. И. Рубинштейн // В сб. : Лакокрасочные покрытия для условий тропического климата. М. : Профиздат, 1997. № 1. С. 19-26.
- 45. Благник, Р. Микробиологическая коррозия / Р. Благник, В. Занова. М. : Химия, 1965. 222 с.
- 46. Забырина, К. И. Электроизоляционные лаки и материалы, предназначенные для работы в условиях тропического климата / К. И. Забырина // В сб. : Лакокрасочные покрытия для условий тропического климата. М. : Профиздат, 1977. № 1. С. 27-44.
- 47. Карякина, М. И. / М. И. Карякина, Н. В. Майорова // Лакокрасочные материалы. 1985. № 5. С. 35-37.
- 48. Бактерицидные коррозионностойкие эпоксидные покрытия различного назначения./ Л. А. Сухарева [и др.] // В сб. : Экологические проблемы биодеградации промышленных, строительных материалов и отходов производств. Пенза. : НИИ Химии НГУ, 1998. С. 9-12.
- 49. Яманов, С. А. Тропикоустойчивость и тропическая защита электроизоляционных материалов / С. А. Яманов // Труды 1-ой межвузовской конф. по соврем. техн. диэлектриков и полупроводников. М., 1967. 125 с.
- 50. Сапожникова, С. А. Некоторые особенности климатов тропической и субтропической Азии / С. А. Сапожникова // В сб. : Лакокрасочные покрытия для условий тропического климата. М. : Профиздат, 1977. \mathbb{N} 1. С. 4-11.
- 51. Лисина-Кулик, Е. С. Оценка влияния некоторых факторов на устойчивость лакокрасочных покрытий к поражению грибами / Е. С. Лисина-Кулик // Лакокрасочные иатериалы и их применение. 1971.- № 4.- C. 58-61.
- 52. Moiseev, Yu. V. Chemical resistance of polymers in reactive media / Yu. V. Moiseev, G. E. Zaikov. New York: Plenum Press, 1987. 586 p.
- 53. Лисина-Кулик, Е. С. Выживаемость спор грибов на лакокрасочных покрытиях для приборов с режимом систематического нагрева / Е. С. Лисина-Кулик, Н. Г. Моисеева / Лакокрасочные материалы и их применение. -1972.- № 3.- С. 33-34.
- 54. Насонов, К. В. Консервация судов / К. В. Насонов, В. Д. Шарапов // Судостроение. 1972. № 17, вып. 31. С. 133-134.
- 55. Blahnick, R. Smery soncasnelo vyzkumu v oblasti microbialni koroze naterovych hmot ve svete / R. Blahnick // Elektrotech. Klimatotechnol. 1963, № 4. P. 3-4.
- 56. Shagal, D. D. Deterioration of paints by microorganisms / D. D Shagal, P. N Agarwal // Zabdev. g. Sci. and Techinol. 1968. Vol. 6, № 4. P. 205-211.
- 57. Якубович, Д. С. / Д. С. Якубович // В кн. : Атмосферостойкие лакокрасочные покрытия и прогнозирование сроков их службы. М. : МДНТП им. Ф.Э.Дзержинского, 1982. С. 7-11.
 - 58. Ницберг, Л. Лакокрасочные покрытия / Л. Ницберг // Техника и вооружение. –

- $1967. N_{\circ} 4. C. 12-13.$
- 59. Биологические повреждения строительных и промышленных материалов. Киев. : Наукова думка, 1978. 265 с.
- 60. Долежел, Б. Коррозия пластических материалов и резин / Б. Ницберг. Химия, 1964. 248 с.
- 61. Исследования стойкости полиэтиленовых изоляционных покрытий к воздействию микроорганизмов / Н. И. Позднева [и др.] // Теоретич. проблемы биологических повреждений материалов: докл.. Всес. Симп. Москва. М.: 1971. 26 с.
- 62. Грибостойкие фенопласты с органическим наполнителем / Н.Ф. Белоконь [и др.] // Второй всес. симпозиума по биологическим повреждениям и обрастанию материалов, изделий и сооружений: Реф. докл. М.: Наука, 1972. С. 54-55.
- 63. Рудакова, А. К. Микробиальная коррозия полимерных материалов (полихлорвиниловые пластикаты и полиэтилен), применяемых в кабельной промышленности и способы ее предупреждения : автореф. дисс. . . канд. хим. наук / Рудакова А. К. М., 1969. 24 с.
- 64. Isolation of decomposer fungi with plastic degrading ability // Philipp J.Sci. 1997. Vol. 126, № 2. P. 117-130.
- 65. Белоконь, Н. Ф. Методы исследования грибостойкости пластических масс / Н. Ф. Белоконь, Е. А. Татевосян, Г. А. Шидкова // Пластические массы 1974. № 9. С. 65-67.
- 66. Билай, В. И. Исследование грибной коррозии различных материалов / В. И. Билай, Э. З. Коваль, Л. М. Свиридовская // Труды IV съезда микробиологии Украины. Киев: 1975. С. 85.
- 67. Pankhurst, E. S. Protective coatings and wrappings vor buried pipes microbiological aspects / E. S. Pankhurst // J. Oil and Colour Chem. Asso. I. 1973. Vol. 6. № 8. P. 373-381.
- 68. Лугаускас, А. Ю. Изучение грибов, населяющих материалы, применяемые в радиотехнической промышленности / А. Ю. Лугаускас, Р. В. Стакишайтите / В кн. : Биологическое повреждение материалов. Вильнюс, 1979. С. 72-78.
- 69. Huang, S. I. The effect of structural variation on the biodegradality of synthetic polymers / S. I.Huang / Amer. Chem. Bac. Polym Prepr. 1977. Vol. 1. P. 438-441.
- 70. Грибная коррозия материалоав, используемых в конструкциях из стеклообразных материалов / Э. З Коваль Э.З.[и др.] / В кн. : Биологические повреждения строительных и промышленных материалов. Киев, 1978. С. 111-112.
- 71. Аллахвердиев, Γ . А. Изменение физико-химических свойств полимеров под воздействием почвенных микроорганизмов / Γ . А. Аллахвердиев, Т. А. Мартиросова, З. Д. Гаривердиев // Пластические массы. 1967. № 2. С. 17-20.
- 72. Зуев, Ю. С. Стойкость эластомеров в эксплуатационных условиях / Ю. С. Зуев, Т. Г. Дегтева. М. : Химия, 1986. 18 с.
- 73. Зуев, Ю. С. Разрушение эластомеров в условиях, характерных для эксплуатации / Ю. С. Зуев. М. : Химия, 1980. 283 с.
- 74. Новые эластомерные (полиуретановые) материалы в судостроении / О. А. Мудров [и др.] Л. : ЛДНТП, 1979. 20 с.
- 75. Дубок, Н. Н. Биоповреждения резин и способы их защиты / Н. Н. Дубок, Л. Г. Ангерт // В сб. : Первая всесоюзная конференция по биоповреждениям. М. : Наука, 1978. С. 16-19
- 76. Рудакова, А. К. Грибостойкость кабельных материалов и изделий в естественных условиях / А. К. Рудакова, Т. А. Попова // В сб. : Биологические повреждения строительных и промышленных материалов. М., 1973. С. 72-79.
- 77. Рубан, Γ . И. Исследование грибоустойчивости некоторых синтетических материалов и защиты их от плесеней / Γ . И. Рубан // Второй всес. симпозиума по биологическим повреждениям и обрастанию материалов, изделий и сооружений : Реф. докл. М. : Наука, 1972. С. 70-71.

- 78. Широков, А. М. Основа надежности и эксплуатации электронной аппаратуры / А. М. Широков Минск : Изд.-во Наука и техника., 1965. 312 с.
- 79. Толмачева, Р. Н. Микробиологическое повреждение материалов и изделий, используемых в радиотехнике / Р. Н. Толмачева, Д. В. Цендровский, В. Ф. Смирнов // Сборник ГГУ. 1987. С. 30-34.
- 80. Изменение коэффициентов светопропускания и светорассеяния в зависимости от развития плесневых грибов на оптических системах / М. С. Родионова [и др.] // Оптикомеханич. промышленность. $1972. \mathbb{N} 2. \mathbb{C}.$ 62-63.
- 81. Изменение коэффициентов светопропускания и светорассеяния в зависимости от развития плесневых грибов на оптических системах./ М. С. Родионова [и др.] // Микология и фитопатология. $1973. N_{\odot} 7. C. 472.$
- 82. Лебедев, Е. М. К вопросу о микробиальных разрушениях биологических оптических приборов в приморских районах умеренного климата СССР / Е. М. Лебедев // В сб. : Проблемы биологических повреждений и обрастания материалов, изделий и сооружений. М. : Наука. 1972. \mathbb{N} 3. С. 100-101.
- 83. Тхоржевский, В. П. Конструирование и изготовление приборов для стран с тропическим климатом / В. П. Тхоржевский. Машиностроение, 1971. С. 9-85.
- 84. Родионова, М.С. Исследование методов защиты силикатных стекол, оптических деталей и смазок от поражения плесневыми грибами : автореф. дисс. . . канд. тех. наук / Родионова М. С. М., 1964. 18 с.
- 85. Родионова, М. С. О разрастании плесневых грибов на поверхности оптических стекол / М. С. Родионова, З. Г. Разумовская // В сб. : Проблемы биологических повреждений и обрастания материалов, изделий и сооружений. М. : Наука. 1972. N_{\odot} 3. С. 79-91.
- 86. Zaikov, G. E. Diffusion of electrolytes in polymers / G. E. Zaikov, A. L. Iordanskii, V. S. Markin. Zeist (the Netherlands): VNU Science Press, 1988. 328 p.
 - 87. Kaller, A. Fungysbilding auf optik. Feingeratetech nik. 1960. № 1.
- 88. Надежность наземного радиоэлектронного оборудования // Советское радио. 1987. С. 54-306.
- 89. Extrapolation of biodegradability test data dy use of growth kinetic parameters // Ecotoxicol and Environ. Safety. 1994. Vol. 27, № 3. P. 306-315.
- 90. Петинов О.В., Щербаков Е.Ф. Испытание электрических аппаратов. Уч. пособие для вузов.- М.: Высш. школа, 1985.-214с.
- 91. Wasserbauer, R. Czechoslovak research into microbiological corrosion of electrical equipment / R. Wasserbauer / Intern. Biadeter. Bull. − 1967. − Vol. 3, № 1, P. 1-2.
- 92. Minsker, K. S. Degradation and stabilization of polymers on the base of vinylcloride / K. S. Minsker, S. V. Kolesov, G. E. Zaikov. Oxford: Pergamon Press, 1988. 526 p.
- 93. Gumargalieva, K. Z. Biodegradation and biodeterioration of polymers: kinetic aspects / K. Z. Gumargalieva, G. E. Zaikov. New York: Nova Science Publ., 1998. 210 p.
- 94. Zaikov, G. E. Biomedical application of polymers / G. E. Zaikov. New York: Nova Science Publ., 1996. 207 p.
- 95. Iordanskii, A. L. Interaction of polymers with biologically active media / A. L. Iordanskii, G. E. Zaikov, T. E. Rudakova. Utrecht (the Netherlands): VSP International Science Publ., 1999. 210 p.
- 96. Leonard, I. M. Failure of electronic equipment under tropical service Divison U.S. / I. M. Leonard // Naval research laboratory. Wachingtan. D.C. Febryary. 1985.
- 97. Белоусов, Л. К. Электрические разъемные контакты в радиоэлектронной аппаратуре / Л. К. Белоусов, В. С. Савченко. М. : Энергия, 1967. С. 9-12.
- 98. Творжевский, В. П. Конструирование приборов для стран с тропическим климатом / В. П. Творжевский, И. Г. Перевезенцев. М.: Машгиз, 1960. 154 с.
- 99. Широков, А.М. Надежность радиоэлектронных устройств / А. М. Широков. М. : Изд-во Высшая школа, 1972. С. 62-64.

- 100. Грегори, Ф. Микробиология атмосферы / Ф. Грегори. М.: Мир, 1964. 291 с.
- 101. Методы общей бактериологии // Под ред. Ф.Герхрдта. В 3-х т. М.: Мир, 1983.
- 102. Обрастание и биоповреждения. Экол. пробл. : сб. науч. тр. М. : Наука, 1992. 252 с.
- 103. Ингольд, Ц. Пути и способы распространения грибов / Ц. Ингольд. М. : Ин. лит., 1957. 175 с.
- 104. Никитина, 3. И. Микробиологический мониторинг наземных экосистем / 3. И. Никитина. Новосибирск : Наука, 1991. 221 с.
- 105. Кожевин, П. А. Микробные популяции в природе / П. А. Кожевин. М. : Изд-во ун-та, 1989. 173 с.
- 106. Методы экспериментальной микологии. Справочник./ Под ред. В.И.Билай. Киев: Наукова Думка, 1982. 550 с.
- 107. Методы почвенной микробиологии и биохимии. Учебное пособие для студентов университетов. М. : МГУ, 1991. 303 с.
- 108. Кузнецов, С. И. Методы изучения водных микроорганизмов / С. И. Кузнецов, Г. А. Дубинина. М. : Наука, 1989.
- 109. Звягинцев, Д. Г. Взаимодействие микроорганизмов с твердыми поверхностями / Д. Г. Звягинцев. М.: Изд-во МГУ, 1973. 47 с.
 - 110. Звягинцев, Д. Г. / Д. Г. Звягинцев // Биологические науки. 1967. № 3. 97 с.
- 111. Дерягин, Б. В. Адгезия / Б. Г. Дерягин, Н. А. Кротова. М. : Изд-во АН СССР, 1979. 246 с.
 - 112. Зимон, А. Д. Адгезия пыли и порошков / А. Д. Зимон. М.: Химия, 1967. 43 с.
- 113. Звягинцева, И. С. Влияние адсорбции клеток микроорганизмов на трансформацию некоторых стероидов / И. С. Звягинцева, Д. Г. Звягинцев. Биол. наука, $1998. \mathbb{N} \cdot 5. \mathbb{C}$. 20-28.
- 114. Архипенко, В. И. Структура и функции межклеточных констант / В. И. Архипенко, Л. В. Гербильский, Ю. П. Черченко // В кн. : Структура и функции биологических мембан. М. : Наука, 1975. 347 с.
- 115. Бобкова, Т. С. Адгезия грибов на ситаллах / Т. С. Бобкова, Л. Н. Чекунова, И. В. Злачевская // Микология и фитопатология. -1979. Т. 13, № 3. С. 208-213.
- 116. Dijkerman, Rembrandt Adsorption characteristics of cellulolytic enzmes from the anaerobic fungus Piromyces sp. strain E2 on microcrystalline cellulose. Appl. and Environ / Rembrandt Dijkerman [et al.] // Microbiol. − 1996. − Vol. 62. − № 1. − P. 20-25.
- 117. Старостина, Н. Г. Гидрофобность клеточной поверхности метанотрофных бактерий: сравнительная оценка и некоторые прикладные аспекты. Автотрофные микроорганизмы / Н. Г. Старостина, А. Г. Кощаев, Е. Н. Ратнер // Труды конф. памяти акад. РАН Е.Н.Кондратьевой. Москва: МГУ, биофак, 23-25 апреля 1996. С. 92.
- 118. The role of physicochemical properties of biomaterials and bacterial cell adhegion in vitro./ T. Kitano [et al.] // Jnt. Artif. Organs. 1996. Vol. 19, № 6. P. 353-358.
- 119. Полная обратимость сорбции биологически активных веществ сильно сшитыми гелевыми карбоксильными катионитами / О. А. Писарев О.А. [и др.] // Прикл. биохимия и микробиол. 1996. Т. 32, № 3. С. 280-283.
- 120. Влияние некоторых физико-химических факторов среды на адгезию метанотрофных бактерий./ А. Г. Кистень [и др.] // Микробиол. ж. -1996. -58, № 3. С. 62-70.
- 121. Lindqvist, Roland. Diffusion-limited and chemical-interaction-dependent sorption of soil bacteria and microspheres / Roland Lindqvist, Gorau Bengtsson // Soil Biol. and Biochem. 1995. Vol. 27, № 7. P. 941-948.
- 122. Penalver, Carmen M. Cell wall protein and glycoprotein constituents of Aspergillus fumigatus that bind to polystyrene may be responsible for the cell surface hydrophobicity of the mycelium / Carmen M. Penalver, Manuel Casanova, Jose P. Martinez // Microbiology. − 1996. − Vol. 142, № 7. − P. 1597-1604.
- 123. Jansen, B. Prevention of biofilm formazion by polymer modification / B. Jansen, W. Kohnen // J. Jnd. Microbiol. -1995. Vol. 15, N 4. P. 391-396.

- 124. James, G. A. Jnterspecies bacterial interactions in biofilm / G.A. James, L. Beandette, J. W. Costerton // J. Jnd. Microbiol. − 1995. − Vol.15, № 4. − P. 257-262.
- 125.Patti, Joseph M. Mscramm mediated adherence of microorganisms to host tissues / Joseph M. Patti, Bradley L. Allen // Annu. Rev. Microbiol. 1994. Vol. 48. P. 585-617.
- 126. Корнев, Н. Р. Электрокинетическая характеристика поверхности клеток грибов рода Candida albianc / Н. Р. Корнев, З. О. Караев, Н. К. Солдатенко // Микология и фитопатология. 1985. Т. 19, № 6. С. 490-494.
- 127. Fletcher, M. An electron microspore demonstration of an acidic polysaccharide in the adhesion of a marine bacterium to solid suriaces / M. Fletcher, I. D. Floodgate // J.Gen. Microbiol. 1973. Vol. 74. P. 325-334.
- 128. Втюрин, Б. В. Современные методы и приемы электронно-микроскопических исследований биологических объектов / Б. В. Втюрин, А. А. Пальцын. М. : Радио и связь, 1985. 56 с.
- 129. Michell, A.J. An assessment of infrared spectra as indicators of fungal cell wall composition / A. J. Michel, J. Scurfield // Austral. J. Biol. Sci. − 1970. − Vol. 23, № 2. − P. 345-360.
- 130. Marchall Ed. K.C. // Microbiologic adhesion and aggregation / Ed. K.C. Marchall. Berlin etc.: Sprinser- Verlag, 1984. 124 p.
- 131. Применение инфракрасной микроскопии для изучения химического состава клеточных стенок дрожжей / Н. Д. Гуляева [и др.] // Микробиология. 1977. Т. 46, № 4. С. 667-671.
 - 132. Шлегель, Г. Общая микробиология / Г. Шлегель. М.: Мир, 1987. 566 с.
- 133. Пат. 5480804 США, МКИ С12М 1/34. Метод и аппарат для обнаружения микроорганизмов / 02.01.96г.
- 134. Билай, В. И. Основы общей микологии / В. И. Билай. Киев : Высшая школа, $1980.-360~\mathrm{c}.$
 - 135. Браун, В. Генетика бактерий / В. Браун. М.: Наука, 1968. 446 с.
- 136. Билай, В. И. Биологически активные вещества микроскопических грибов и их применение / В. И. Билай. Киев: Наукова думка, 1965. 267 с.
- 137. Перт, С. Д. Основы культивирования микроорганизмов и клеток / С. Д. Перт. М.: Мир, 1978. 331 с.
 - 138. Жизнь микробов в экстремальных условиях. М.: Мир, 1981. 519 с.
 - 139. Лили, В. Физиология грибов / В. Лили, Г. Барнетт. М.: Ин. лит-ра, 1953. 532 с.
- 140. Билай, Т. И. Ферментативные процессы при биокоррозии / Т. И. Билай // В кн. : Биологические повреждения строительных и промышленных материалов. Киев : Наук. Думка, 1978. С. 68-69.
- 141. Орлова, Е. И. Утилизация полимерных материалов грибами / Е. И. Орлова // Микология и фитопатология. -1980. T. 14. вып. 5. C. 422-425.
- 142. Tirpak, G. Microbial degration of plasticized P. V. / G. Tirpak // C.- Sp. Journal. 1970. Vol. 26. P. 26.
- 143. Целлюлозолитические свойства грибов, поражающих произведения графики./ В. И. Билай [и др.] // Микробиол. журн. АН УССР. 1978. Т. 40, вып. 5. С. 577.
- 144. Загуляева, З. А. Некоторые данные о разрушении целлюлозы микромицетами / З. А. Загуляева // В кн. : Проблемы биологических повреждений и обрастаний материалов, изделий и сооружений. М. : Наука, 1972. С. 51-54.
- 145. Нюкша, Ю. П. Ускоренное определение грибостойкости целлюлозных материалов / Ю. П. Нюкша // В кн. : Биологические повреждения строительных и промышленных материалов. Киев : Наук. Думка, 1978. С. 158-164.
- 146. Туркова, 3. А. Повреждения некоторых технических материалов грибами / 3. А. Туркова // В кн. : Биокоррозия, биоповреждения, обрастание. М., 1976. С. 71-80.
- 147. Фениксова, Р. В. Биосинтез ферментов микроорганизмами / Р. В. Фениксова // В кн. : Проблемы биологических повреждений и обрастаний материалов, изделий и

- сооружений. М.: Наука, 1973. С. 5-10.
- 148. Eriksson, K.-C. Fermentation of waste mechanical fibers from a newsprint mill by the rot fungus Sporotrichum pulverulentum. / K.-C. Eriksson, K. Larsson // Biotechnol. and Bioeng. -1975. Vol. 17, N = 3. P. 137-348.
- 149. Rosenberg, S. L. Cellulose and lignocellulose degradation by thermophilic and thermotolerant fungi / S. L. Rosenberg // Mucologia. − 1978. − Vol. LXX, № 1. − P. 1-13.
- 150. Туркова, 3. А. Микофлора материалов на минеральной основе и вероятные механизмы их разрушения / 3. А. Туркова // Микология и фитопатология. 1974. Т. 8, № 3. С. 219-226.
- 151. Васнев, В.А. Биоразлагаемые полимеры / В. А. Васнев // Высокомолекулярные соединения. Серия Б. 1997. Т. 39, № 13. С. 2073-2086.
- 152. Huang, S. J. The effect of structural variation on the biodegradality of synthetic polymers / S. J. Huang // Amer. Chem. Bacteriol. Polym. Preper. 1977. Vol. 1. P. 438-441.
- 153. Borrow, A. The metabolism of Gibberrella fugikuroi in stirred culture / A. Borrow // Can. J. Microbiol. 1961. Vol. 7, № 2. P. 227.
- 154. Bu Lock, I. D. Regulation of 6-methyl-salicylate and patulin synthesis in Penicillium urticae / I. D. Bu Lock // Can. J. Microbiol. 1964. Vol. 15, № 3. P. 279.
- 155. Caldwell, I. V. The growth unit of the mould Georichum candidum / I. V. Caldwell, A.P. J. Trinci // Arch. Microbiol. 1973. Vol. 88, № 1. P. 1-10.
- 156. Варфоломеев, С. Д. Биотехнология: Кинетические основы микробиологических процессов / С. Д. Варфоломеев, С. В. Каляжный. М. :Высш. Шк., 1990. 296 с.
- 157. Grove, S. N. An ultrastructure basis for hyphal tip growth in Pythium ultimum / S. N. Grove, C. E. Bracker, D. J. Marre // Amer. J. Bot. 1975. –Vol. 59, № 2. P. 245-266.
- 158. Громов, Б. В. Экология бактерий / Б. В. Громов, Г. В. Павленко. Л. :Изд-во Ленингр. ун-та, 1989.-248 с.
- 159. Иерусалимский, Н. Д. Основы физиологии микробов / Н. Д. Иерусалимский. М. : Изд-во АН СССР, 1963. 244 с.
- 160. Иерусалимский, Н. Д. Количественная зависимость между концентрацией продуктов обмена и скоростью роста микроорганизмов / Н. Д. Иерусалимский, Н. Н. Неронова // Докл. АН СССР. Сер. биол. − 1965. Т. 161, № 6. С. 1437-1440.
- 161. Басканьян, И. А. Математическое описание основных кинетических закономерностей процесса культивирования микроорганизмов / И. А. Басканьян, В. В. Бирюков, Ю. М. Крылов // Микробиология. 1976. вып. 1, № 5. С. 5-75.
 - 162. Техническая микология / Под ред. Веселова И. Я. М., 1972.
- 163. Эммануэль, Н. М. Кинетика экспериментальных опухолевых процессов / Н. М. Эммануэль. М.: Наука, 1977. 356 с.
- 164. Роль изучения экологии грибов в определении грибостойкости лакокрасочных покрытий / Е. С. Кулик [и др.] // В кн. : Микроорганизмы и низшие растения разрушители материалов и изделий. М. : Наука, 1979. С. 90-96.
 - 165. Рубен, Е. Л. Микробные липиды и липазы / Е. Л. Рубен. М.: Наука, 1977. 215 с.
- 166. Абрамова, Н. Ф. Физиологическая активность культур плесневых грибов при росте на пластмассах и изменения ее в зависимости от метода хранения / Н. Ф. Абрамова, Н. Н. Наплекова, Г. А. Шкулова // В кн. : Биологические повреждения строительных и промышленных материалов. Киев : Наук. Думка, 1978. С. 69-70.
- 167. Наплекова, Н. Н. Микробиологическая деградация пластмасс / Н. Н. Наплекова, Н. Ф. Абрамова // Изв. СО АН СССР. Сер. биол. 1978. № 15/3. С. 42-47.
- 168. Huang, C. Mechanochemical studies of enzymatic degradation of insoluble collagen fibers / C. Huang, I. V. Yannas // J. Biomed. Mater. Res. 1984. № 8. P. 137-154.
- 169.Гумаргалиева К.З., Моисеев Ю.В., Даурова Т.Т. Количественные основы биосовместимости и биодеградируемости полимеров.- М.: ЦБНТИмедпром, сер. Промышленность медицинского стекла и пластических масс, 1981.- 48с.

- 170. Mlinac, M. Degradactja biorargradljvoy polietilena niske gustoce / M. Mlinac, I. Munjko // The 2-nd Inter. Symp. on degradation and stabilization of polymers, 1978. P. 100-101.
- 171. Зуев, Ю. С. Разрушение полимеров под действием агрессивных сред / Ю. С. Зуев. М. : Химия, 1972. 229 с.
- 172. Тынный, А. Н. Прочность и разрушение полимеров при воздействии жидких сред / А. Н. Тынный. Киев : Наукова думка, 1975. 247 с.
- 173. Манин, В. Н. Физико-химическая стойкость полимерных материалов в условиях эксплуатации / В. Н. Манин, А. Н. Громов. Ленинград : Химия, 1980. 248 с.
- 174. Воробьева, Г.Я. Химическая стойкость полимерных материалов / Г. Я. Воробьева. М.: Химия, 1981. 296 с.
- 175. Моисеев, Ю. В. Химическая стойкость полимеров в агрессивных средах / Ю. В. Моисеев, Г. Е. Заиков. М. : Химия, 1979. 287 с.
- 176. Эммануэль, М. М. Химическая физика старения и стабилизации полимеров / М. М. Эмануэль, А. Л. Бучаченко. М. : Наука, 1982. 359 с.
- 177. Жук, Н. П. Курс теории коррозии и защиты металлов / Н. П. Жук. М. : Металлургия, 1976. 472 с.
- 178. Дешелев, С. Ф. Математико-статистические методы экспертных оценок / С. Ф. Дешелев, Ф. Г. Гурвич. М.: Статистика, 1980. 262 с.
 - 179. Миркин, Б. Г. Проблемы группового выбора / Б. Г. Миркин. М. : Hayka, 1974. –253 с.
- 180. Защита от коррозии, старения и биоповреждения машин, оборудования и сооружений. Справочник. В 2-х томах. / Под ред. А. А. Герасименко. М. : Машиностроение, 1987.-688 с.

УДК 54.41+341.22+341.24

НОВОВВЕДЕНИЯ В ОБРАЩЕНИИ С ХИМИЧЕСКИМИ ВЕЩЕСТВАМИ НА ТЕРРИТОРИИ ЕВРОСОЮЗА (КРАТКИЙ ОБЗОР МАТЕРИАЛОВ, ПРЕДОСТАВЛЕННЫХ ОРГАНИЗАЦИЕЙ АНО ЭСЦ «ВОСТОК», ДЛЯ ИНФОРМИРОВАНИЯ ПРЕДСТАВИТЕЛЕЙ РОССИЙСКОЙ ПРОМЫШЛЕННОСТИ)

С.В. Леонтьева, Е.И. Хабарова, А.К. Фролкова

риелях сохранения окружающей среды Евросоюз принял регламент REACH (Registration, Evaluation and Authorisation of CHemicals), направленный на решение в странах Европы трех основных задач: экономической (промышленная конкурентоспособность и внедрение новых технологий в химическую промышленность европейских стран), социальной (защита здоровья и труда населения) и природоохранной.

Введение

В Европе, как и во всем мире, уже обеспокоены экологической обстановкой на планете. Поэтому цель большинства стран ЕС - стимулирование передовых инновационных внедрения технологий и методик для обеспечения высокого уровня защиты потребителя, окружающей среды и содействие в поиске альтернативных методов оценки опасности веществ, находящихся внутреннем рынке. Основываясь на этом, октября 2003 года Европейская Комиссия приняла рассмотрению К предложение ПО новой системе регулирования производства использования химических веществ.

Проект **REACH** (Registration, Evaluation and Authorisation of CHemicals -Регистрация, Оценка выдача Разрешений на производство и использование Химических веществ), направленный на улучшение защиты здоровья человека и окружающей среды при одновременном усилении конкурентоспособности европейской химической промышленности, является плодом мнопереговоров голетних между Европейским Парламентом, Странами-Участницами, представленными Советом Министров, и Европейской Комиссией, при законопроект находился как в ЭТОМ фокусе интенсивного лоббирования экономических и коммерческих интересов от лица промышленности, так и в поле зрения неправительственных организаций, выступающих за интересы потребителей и окружающей среды.

процессе разработки системы REACH учитывались соответствующие положения ряда международных соглашений и программ, в частности: 1) программы ОЭСР ПО вешествам. производимым В больших объемах (1990 r.);Женевской конвенции (1979 г.) о трансграничном загрязнении большие расстояния; на Роттердамской конвенции (1998 г.) ПО торговле веществами; 4) опасными конвенции (2001 г.) Стокгольмской стойких органических загрязнителях; 5) системы классификации и маркировки химических вешеств ЕЭК OOH. гармонизированной на глобальном уровне и впервые опубликованной в 2003 г., исправленной и дополненной в 2005 г [1].

После трех лет дебатов с Европейской Комиссией и Странами-Участницами Европейский Парламент 7 декабря 2006 года внес последние изменения в **REACH**, один из крупнейших законопроектов за всю его историю, и проголосовал 13 декабря в Страсбурге во Втором Чтении за компромиссное соглашение, достигнутое 30 ноября 2006 года между Докладчиком Гвидо Саккони и Советом Министров Европейского Союза. Этот компромисс в значительной степени отражал обеспокоенность Членов Европейского Парламента относительно обязательного заме-

щения наиболее опасных веществ при наличии альтернативных веществ, признания производителями обязанности соблюдать осторожность и развития альтернативных методов тестирования без использования животных [2].

декабря 2006 года Президент Европейского Парламента Жозеф Боррель и Премьер-министр Финляндии Матти Ванханен официально подписали REACH. Церемония постановление полписания состоялась в Брюсселе перед началом внеочередной пленарной сессии Парламента. Это Постановление было опубликовано в Официальном Журнале Европейского Союза 30 декабря 2006 года и вступило в силу с 1 июня 2007 года. Его текст составил 720 страниц.

Таким образом, Члены Европейского Парламента одобрили новый европейский закон, который с 2007 года установил систему регистрации, оценки и получения производства разрешения лля использования химиических веществ (REACH). Этот закон требует производителей и импортеров составления списка всех производимых веществ и всех опасностей, возможных возникающих производства вследствие ИХ использования. Он затронет примерно 30000 из 100000 химических веществ, находящихся в настоящее время на рынке Европейского Союза, большинство из которых встречаются товарах повседневного спроса – например, в мыле, игрушках и садоводческой продукции.

REACH преследует тройную цель: контроль за опасными химическими веществами, замещение наиболее опасных веществ менее вредными химии-катами и окончательная замена 40 неясных европейских директив и постановлений одним законом.

Основные элементы REACH это:

- 1. **регистрация** обязательная регистрация всех химических веществ; 2. **оценка** правительства будут иметь возможность внимательно изучить регистрационные документы и потребовать при необходимости предоставления дополнительной информации;
- 3. разрешение наиболее опасные

вещества (около 1500) должны будут получить разрешение на их производ-ство и использование в новом Европейском Химическом Агентстве, которое будет располагаться в столице Финляндии, Хельсинки [3].

Все вещества должны будут зарегистрированы к 2018 году. Календарный план регистрации зависит от степени риска вещества и его производимого количества.

В марте 2007 года в России состоялся семинар, в котором принимали участие представители крупных предприятий нефтехимической химической, металлургической отраслей промышленности Российской Федерации, связанных с Европейским Союзом экспортными или импортными поставками. Рассмотренные на семинаре вопросы и подготовленные инфор-мационные материалы интерес слушателей, поскольку в связи с принятием в Европейском Союзе нового регламента REACH существенно менятекущее европейское законода-В отношении оборота тельство лействие химических вешеств. Пол регламента, который вводит огромное количество новых процедур и методологий по их реализации, с 1 июня 2007 года попали вещества как сами по себе. так и в смесях и в изделиях, которые производятся, импортируются, вводятся на рынок или используются Европейского Союза. Новые требования, которые выдвигает регламент REACH к европейским производителям и потребителям химических веществ, должны быть приняты BO внимание экспортерами и импортерами из третьих стран, в том числе и российскими [4, 5].

Предполагается, что в рамках данного Регламента будет зарегистрировано, по меньшей мере, 30000 «существующих» и «новых» химических соединений. Требования **REACH**, которым должны будут следовать производители/импортеры/потребители химической продукции, зависят ОТ свойств опасных рассматриваемых веществ, их воздействия окружающую среду здоровье И населения, также предполагаемых масштабов их производства и использования. Без регистрации конкретное химическое вещество не будет разрешено для производства, импорта, продажи и использования на территории стран Европейского Союза.

Новая система регулирования производства и использования химических веществ нацелена на решение в рамках Европейского Союза трех основных задач: экономической (промышленная конкурентоспособность и внедрение новых технологий в химическую промышленность европейских стран), социальной (защита здоровья и труда населения) и природоохранной.

Основные причины подготовки новой системы регулирования производства и основные цели регламента

Ранее законодательство Европейского Союза в отношении производства и использования химических вешеств объелиняло около 40 исторически сложившихся Директив и Постанов-лений. В них были установлены различные правила для «существующих» и «новых» промышленных веществ, отличие между которыми определяется датой поступления на рынок. Все химические вещества, поступившие на европейский рынок до сентября 1981 года, называются «существующими». 1981 году насчитывали 100106 подобных соединений. Химикаты, представленные на после 1981 (около 3000 рынок соединений), относятся К «новым» веществам. Согласно Директиве Совета EC 67/548 министров все «новые вещества» (начиная с объема в 10 кг в год и выше), должны были пройти экспертизу по оценке возможных рисков для здоровья населения и окружающей среды в результате их производства и использования. Однако и по «существующим» веществам, которые составляют более 99% общего количества представленных на рынке химикатов, имелось недостаточно информации по оценке вредного воздействия и риска, доступной широкой общественности. Существующее же ранее законодательство, требуя проводить регистрацию и

оценку только «новых» веществ, не запрещало использование «существующих», не прошедших экспертизу веществ, что не способствовало внедрению инновационных технологий в химическую промышленность.

Кроме недостаток ранее τογο, применяемого законодательства состоял в том, что ответственность за проведение оценки риска от воздействия химических веществ в значительно большей степени была возложена на органы государственной власти, чем на промышленность, которая производит, импортирует или использует эти соединения. К тому же, требуя от производителей и импортеров химической продукции предоставления соответствующей информации о веществах, существующая законодательная база не возлагала подобные обязательства на последующего потребителя этой химической продукции, из-за чего информация о воздействии в результате последующего использования оказывалась очень ограниченной.

В настоящее время в соответствии с требованиями **REACH** «существующие» и «новые» вещества должны будут пройти через одинаковые процедуры оценки риска. Вещество новое для рынка EC («Non-phase-in substances») - это требующее регистрации вещество, для которого нельзя воспользоваться гибким переходным режимом регистрации, предоставляемым после регистрации для веществ, находящихся на рынке EC.

<u>Вещество, находящееся на рынке ЕС</u> («Phase-in substances») — это вещество, которое соответствует хотя бы одному из следующих критериев:

- вещество перечислено в Европейской Инвентаризации Существующих Коммерческих Веществ (*EINECS*):
- вещество как минимум раз за 15 лет до вступления в силу регламента REACH производилось в ЕС или в странах, присоединившихся к ЕС на 1 января 1995 или на 1 мая 2004, но не было размещено на рынке ЕС производителем или импортером, при условии, что данный производитель или импортер имеет

документальное подтверждение данного факта;

- вещество перед вступлением в силу регламента REACH было размещено производителем или импортером на рынке в ЕС, или в странах, присоединившихся к ЕС на 1 января 1995 или на 1 мая 2004, и рассматривалось как нотифицирован-ное в соответствии со Ct. 8(1) директивы 67/548/EEC, но не соответствует определению полиме-ра, установленного данным регламентом, при условии, что данный производитель или импортер имеет документальное подтверждение данного факта (критерии *NLP*).

Положение вещества на рынке ЕС

После вступления REACH в силу все системные перечни химических веществ (EINECS, NLP, ELINCS), составляющие систему ЕС по химическим веществам, будут адаптированы к новым требованиям.

1. <u>EINECS (European Inventory of</u> Existing Commercial Chemical Substances):

Европейская Инвентаризация Существующих Коммерческих химиических Веществ — перечень веществ («существующие» вещества), которые находились на Европейском рынке между 1 января 1971 и 18 сентября 1981 года. Номер: 2XX-XXX-X или 3XX-XXX-X.

2. NLP-list (list of No-Longer Polymers): Веществ, Больше перечень Относящихся к Полимерам – перечень которые находились вешеств. Европейском рынке между 18 сентября 1981 и 31 октября 1993 и которые удовлетворяют следующему требованию: вещества рассматривались как полимеры в рамках правил EINECS, но больше не относятся к полимерам согласно 7-й поправке 67/548/EEC Директиве (Директива 92/32/EEC). Номер: **5XX-XXX-X**.

3. <u>ELINCS (European List of Notified Chemical Substances)</u>: Европейский Перечень Нотифицированных Химических Веществ — перечень веществ, которые были нотифицированы и размещены на Европейском рынке после 18 сентября 1981 года. Номер: **4XX-XXX-X.**

Кроме того, в рамках действия нового Регламента основная ответственность за

возможными возникающими вследствие производства и использования химикатов, а также за представление информации о токсичности и показателях опасности соединений и оценки риска от негативного воздействия веществ при их производстве использовании возложена промышленность. Эта информация должна предоставляться на всех этапах производства химикатов, также использования их последующих производственных циклах. При дальнейшей технологической обработке этих химических продуктов потребители также должны будут отвечать за все аспекты безопасности ИΧ продукции предоставлять информацию об их использовании и воздействии.

Основная цель REACH – обеспечить уровень защиты высокий здоровья человека и окружающей среды, включая солействие альтернативным метолам опасности веществ, оценки также свободное обращение веществ внутреннем рынке Европейского Союза, повышая при ЭТОМ конкурентоспособность промышленхимической ности стран ЕС и содействуя внедрению инновационных технологий. Кроме того, новый Регламент нацелен на решение таких задач как:

- прозрачность текущего законодательства,
- интеграция международных уси-лий в области управления и контроля над химикатами,
- содействие проведению тестирования веществ без использования животных,
- соответствие международным обязательствам Евросоюза в ВТО.

Основные положения REACH

В рамках **REACH** будет создана единая система для «*существующих*» и «*новых*» веществ, которые подразде-ляются на вещества, не введенные в действие (не производившиеся или не продававшиеся до вступления в силу **REACH**), и вещества, введенные в действие (содержащиеся в базе данных EINECS или производившиеся в EC, но не

вводившиеся на рынок в последние 15 лет, и т.д.). Основными элементами **REACH** являются следующие важные элементы.

- Регистрация. Bce химические соединения, исключением за ряда веществ, выведенных из зоны действия нового Регламента, должны зарегистрированы производителями или импортерами. Регистрация потребует от производителей и импортеров представления технического досье для веществ, производимых или импортируемых в количестве 1 тонны или более в год, и дополнительно К нему Отчета Химической Безопасности (CSR -Chemical Safety Report) для веществ, производимых или импортируемых начиная с 10 тонн и выше. При ЭТОМ последующим химической потребителям продукции необходимо будет гарантировать, что их специфическое использование данного продукта также зарегистрировано. Техническое досье содержит информацию свойствах, использовании классификации химического вещества, а также руководство по его безопасному использованию. Отчет по Химической Безопасности документально подтверждает степень опасности вещества, его классификацию и принадлежность особенно стойким или стойким. способным к бионакоплению токсичным вешествам. **CSR** также описывает сценарии воздействия подобных веществ при каждом идентифицированном использовании.
- 2. Оценка. Оценка технического досье и предложений промышленности по экспертизе данного химического вещества будет проводиться Европейским Химиическим Агентством. При этом Агентство также будет координировать проведение оценки химического продукта органами власти, которая имеет целью установить вещества, характеризующиеся превышением допустимого риска.
- 3. Разрешение. Для химических веществ, характеризующихся особо опасными свойствами (канцерогенность, мутагенность, токсичность для репродуктивной системы, стойкость в окружающей среде и способность к био-

- накоплению), необходимо будет получить разрешение на производство, использование и введение на рынок. Агентство опубликует список веществ кандидатов, подпадающих под данную категорию.
- 4. Ограничение. Производство, введение на рынок или использование конкретных опасных веществ с высокой степенью риска может быть ограничено запрещено. Руководство техническими. научными администаспектами REACH ративными будет возложено на Европейское Химическое Агентство (ЕСНА - European CHemical Agency).
- 5. **ECHA** управляет процессом регистрации, проводит оценку технического досье и координирует процесс оценки вещества, и обычно принимает решения относительно этих опенок. Исключение составляют случаи разногласия между представителями Государств – Участников, когда окончательное Европейская решение принимает Комиссия. Агентство представляет Комиссии мнения экспертные процедурам выдачи разрешений ограничений, обеспечивает конфиденциальность и регулирует доступ к информации. Оно также рассматривает запросы на исключения из требований по регистрации исследованиям И разработкам, ориентированным на продукты процессы. Кроме того, Агентство содействует распространению данных по тестам на животных на стадии пререгистрации посредством организации Форумов по Обмену Информации о Веществе (SIEFs - Substance Information Exchange Forums). Предполагается, что Новое Европейское Химическое Агентство должно стать полностью действующим через 12 месяцев после вступления в силу Регламента по REACH, т.е. 1 июня 2008 года.
- 6. Согласованная классификация и маркировка. Инвентаризация классификации и маркировки опасных веществ поможет активизировать процесс согласования классификации конкретного

химического соединения внутри промышленности.

7. Доступ к информации. Правила доступа к информации включают систему доступа к открытой для общественности информации через интернет, текущую систему запросов по доступу к информации и специфические правила REACH по защите конфиденциальной бизнес информации.

Виды химической продукции в зоне действия REACH

В зону действия **REACH** попадают все химические вещества, которые производятся, импортируются, вводятся на рынок или используются внутри Европейского Союза как сами по себе, так и в смесях или в изделиях. Так, в соответствии с **REACH**, а также законодательством ЕС с 1967 года и Гармонизированной на Уровне Глобальном Системой Классификации и Маркировки Химикатов ЕЭК ООН (GHS - Globally Harmonized System of Classification and Labeling of Chemicals), металлы являются химическими веществами и соответственно подлежат обязательной регистрации. При этом минералы и руды исключаются из требований к регистрации, если они не подвергаются химическим превращениям. Сплавы относятся к смесям в рамках **REACH**, хотя свойства таких смесей не всегла напрямую соответствуют свойствам ее компонентов. В качестве смесей сплавы не придется регистри-ИХ компоненты металлы должны быть зарегистрированы, если они производятся или импортируются объеме одной больше тонны. Стекломасса (производимая в процессе изготовления стекла) является смесью, хотя и специфической. Те вещества в которые стекломассе, являются минералами и не подвергаются химическим превращениям, не подлежат регистрации производителями или импортерами. Другие используемые вещества, глазировочные такие как средства, или обесцвекрасящие чивающие агенты, смазочные материалы и т.д., должны быть зарегистрированы. Стекло становится изделием тогда, когда

придают окончательную (например, бутылка), но остается смесью, его охладили до если стекломассы, предназначенной ДЛЯ дальнейшей обработки. Полимеры исключены процедуры регистрации и оценки, но они все же могут подвергаться процедуре разрешений И запрещению. выдачи вещества, используемые Однако, мономеры, которые производятся импортируются в количестве более 1 тонны, должны быть зарегистрированы, при этом в рамках требуемой Оценки Химической Безопасности (CSA -Chemical Safety Assessment) для этих веществ может потребоваться оценка риска для таких категорий ИХ использования производство и использование полимера.

Категории веществ, подлежащих обязательной процедуре оформления разрешения на производство и использование

Лля веществ. которые характеризуются особо опасными свойствами (SVHC - Substances of Very High Concern), необходимо пройти процедуру получения на ИХ производство разрешений использование. К SVHC Статья 56 Положения относит следующие категории химических веществ:

- канцерогены;
- мутагены;
- вещества, токсичные для репродуктивной системы;
- стойкие, способные к накоплению в биологических объектах и токсичные вещества;
- вещества, характеризующиеся особенной стойкостью и способностью к бионакоплению;
- вещества, которые по уровню опасности соответствуют таковому вышеуказанных соединений, в частности, такие как «разрушители» эндокринной системы, по которым существует научно обоснованное доказательство их вероятного серьезного воздействия на окружающую среду и здоровье человека.

Химические вещества, выведенные изпод действия REACH

Ряд веществ полностью выведен изпод действия **REACH**, а некоторые

исключены из отдельных положений нового Регламента. Согласно Статье 2 REACH Положения ПО полностью исключены радиоактивные вещества; вещества, находящиеся под таможенным надзором во временном хранении, свободной зоне или пути; изолируемые в процессе производства промежуточные продукты, И отходы. Кроме того, данное Положение применимо к опасным веществам и их смесям во время их железнодорожных, автомобильных, морских, водных воздушных перевозок. Также к веществам, которые не подчиняются требованиям отдельных положений REACH, относятся полимеры, медицин-ские продукты для использования В здравоохранении ветеринарии и косметические продукты. Продукты питания выведены действия **REACH**, поскольку их нельзя веществам, отнести смесям или излелиям. Таким образом. REACH накладывает определенные обязательства на всех производителей, импортеров, дистрибьюторов И последующих химической потребителей продукции. находящихся далее по производственной цепочке, внутри Европейского Союза, а также на «только представителей», Европейском vчрежденных В Союзе производителями третьих стран, экспортирующими свою продукцию на европейский рынок. Это связано с тем, что производители стран, не входящих в ЕС, напрямую не относятся к программе **REACH,** но они могут назначать своих представителей в Сообществе («только представитель»), которые будут регистрировать ИΧ продукцию, экспортируемую в ЕС, неся при этом юридическую ответственность выполнению всех обязательств импортеров REACH. В рамках Необходимо отметить, что не-ЕС производитель имеет свободу выбора, назначить ли *«только представителя»* или позволить импортеру регистрировать продукцию. Назначая «только представителя», производитель получает больший контроль над регистрационным процессом и избегает необходимости

раскрывать потенциально засекреченную информацию импортеру. Также и для ЕС назначение импортеров «только представителя» не-EC производителем имеет свои преимущества. В этом случае импортер будет освобожден от его обязательства рамках программы **REACH** действовать как лицо, подающее заявление о регистрации, и будет расценен как последующий потребитель. «Только представитель» не-ЕС производителя наряду с импортером вещества, произведенного не-ЕС предприятием, должны будут совместно с другими ЕС производителями, импортерами или «только представителями» вносить на pacсмотрение информацию об опасности вещества. Они могут также принять решение о совместном представлении Отчета по Химической Безопасности вещества (CSR – Chemical Safety Report).

Наибольшее же количество требований нового Регламента напрямую относится к производителям и импорвеществ. Они должны будут предоставлять данные ПО свойствам веществ, проводить Оценку Химической Безопасности и принимать меры управлению рисками от их воздействия. Последующие по технологической цепотребители почке ЭТИХ химических веществ будут снабжаться информацией по их безопасности, которой и должны будут следовать во время обращения с веществами. Кроме того, эти потребители в свою очередь должны будут убедиться, последующие пользователи что продукции обладают всей полнотой информации, необходимой ДЛЯ безопасного использования. При наличии такой категории вещества, которая не была включена В первоначальную регистрацию, новые категории применения или меры по снижению риска должны быть представлены в Агентство (при объеме используемого вещества более 1 тонны). Дистрибьюторы также должны предоставлять информацию химической безопасности веществ, которых они продают.

При оценке риска производители и импортеры должны учитывать категории

использования, указанные Однако потребители потребителями. продукции по желанию могут сохранить информацию конфиденциальной провести данную процедуру самостоятельно. Для потребителей, использующих вещества в количестве менее 1 тонны в нет необходимости представлять год. Отчет ПО Безопасности Химического вешества.

- В результате средние и малые предприятия, которые относятся к производителям, будут пользоваться некоторыми преимуществами, созданными системой **REACH**:
- исключение из требований по регистрации для веществ, производимых в объеме ниже 1 тонны;
- снижение требований к веществам, производимым в малых объемах (регистрационный порог 1 тонна в год на произво-дителя/импортера; обычно только in vitro тестирование для веществ, производимых в пределах 1-10 тонн в год);
- снижение административной нагрузки и стоимости за счет частичного распределения между предприятиями, подающими заявление на регистрацию, во время пререгистрации;
 - снижение размера взносов;
- поощрение образования консорциумов, что позволит сэкономить значительное количество денег за подготовку досье за счет разделения стоимости;
- усиление требований к передаче данных по тестированию на животных или других данных.
 - В декабре 2003 года президентом

Российской Федерации были утверждены «Основы государственной политики в обеспечения химической области биологической безопасности РΦ на период до 2010 года и дальнейшую перспективу». Кроме того, российские промышленные предприятия, обмениваюшиеся продукцией co странами Европы, должны будут соблюдать те же сроки и требования в обращении с веществами, химическими европейские производители.

А именно, в связи со вступлением в силу REACH с 1 июня 2007 года промышленникам, в том числе и российским, предстоит преодолеть следующие этапы:

- 1 июня 2008 года пререгистрация «существующих» веществ, начало действия форумов по обмену информацией о веществах, начало регистрации новых веществ, начало процедуры оценки и разрешения;
- 1 декабря 2008 года начало регистрации для «существующих» веществ, не участвовавших в пререгистрации;
- 1 июня 2009 года начало действия новых ограничений по опасным веществам;
- 1 декабря 2009 года первый предельный срок идентификации потребителем его использования «существующего» вещества;
- **1** декабря **2010** года начало инвентаризации классификации и маркировки;
- 1 декабря 2010 года первый предельный срок регистрации для «существующих» веществ.

ЛИТЕРАТУРА:

- 1. Соколовский, В. Г. REACH : новый законодательный регламент Евросоюза / В. Г. Соколовский, Е.В. Манцева // Экология производства. 2007. № 7. С. 81-85.
- 2. http://www.europarl.europa.eu/news/expert/tous_les_background/default/default_en.ht m
- 3. http://www.europarl.europa.eu/news/public/story_page/064-1169-345-12-50-911-20061207STO01168-2006-11-12-2006/default en.htm.
- 4. www.ecovostok.ru.
- 5. www.ruschemunion.ru.

УДК 338.4 (075.8)

ЭКОЛОГО-ЭКОНОМИЧЕСКИЕ АСПЕКТЫ ТЕХНОЛОГИЙ ПЕРЕРАБОТКИ ОТХОДОВ ПРОИЗВОДСТВА ВИНИЛХЛОРИДА

*Л.М. Карташов, *А.А. Коблов, Д.В. Ткач * ООО Научно-исследовательский инженерный центр «Синтез»

роведена эколого-экономическая оценка различных методов переработки хлорорганических отходов производства винилхлорида. Наиболее перспективным в настоящее время представляется метод каталитического гидродехлорирования. Метод отличается низкими капитальными затратами и расходами на переработку.

В настоящее время рынок поливинилхлорида (ПВХ) России еще очень далек от насыщения [1]. Потребление ПВХ растет в первую очередь благодаря активно развивающейся строительной индустрии. Производители ПВХ, сознавая дефицит этого полимера на внутреннем рынке, намерены существенно наращивать мощности по его производству с одновременным увеличением выпуска винилхлорида (ВХ) – мономера для получения ПВХ [2]. Планируется также создание новых комплексов ВХ-ПВХ [3].

Производство ВХ-ПВХ сопровождается образованием хлорорганических отходов, получающихся преимущественно при производстве ВХ. В современных производствах ВХ образуется около 35 кг хлорорганических отходов при получении 1 тонны товарного ВХ. При планируемом увеличении производства ПВХ к 2010г до 1.1 млн. т/год может образовываться 35-39 тыс. тонн хлорорганических отходов.

Особенностью хлорорганических отходов производства ВХ является то, что основные ИХ компоненты являются ксенобиотиками, то есть соединениями, не имеющими аналогов В природе, выраженными канцерогенными свойствами и способностью к аккумуляции в пишевых цепочках. Ввиду этого необходимо полностью утилизировать эти отходы.

Имеющиеся на отечественных предприятиях мощности по утилизации хлорорганических отходов не позволяют перерабатывать даже объем отходов, образующийся при современном уровне производства ВХ, что не позволяют расширять производство ВХ-ПВХ. К

сожалению, в ряде случаев имеет место захоронение отходов, что наносит непоправимый вред окружающей среде. В связи ЭТИМ ДЛЯ обеспечения наращивания BXПВХ выпуска И необходимо введение новых или расширение действующих мощностей по утилизации хлорорганических отходов.

В мировой и отечественной практике отходы производства ВХ в основном утилизируются методом термообезвреживания (сжигания) и в результате теряется углеродная составляющая отходов в виде СО2 и имеет место атмосферы загрязнение продуктами сгорания. Диоксид углерода, согласно Киотскому протоколу, вступающему в силу в 2008 году, считается парниковым газом, и его выбросы должны быть ограничены. В перспективе появиться проблема штрафов за выбросы СО2, в том числе с установки сжигания. Процесс термообезвреживания протекает при высокой температуре (>1200 °C) и характеризуется высокой коррозионной активностью среды. Образующаяся в кислота часто процессе соляная находит применение. Кроме того, кислородосодержащей среде имеет место образование высокотоксичных диоксинов и оксидов азота. Стоимость сжигания отходов достаточно высока, и составляет от 3 до 6 тыс. руб. за утилизацию тонны отходов.

Существует ряд альтернативных сжиганию технологий утилизации хлорорганических отходов производства ВХ, имеющих свои преимущества и недостатки, которые обсуждены в ряде работ [4, 5].

Каталитическое окисление отходов [6] позволяет снизить температуру процесса, но проблемы потери углеродной составляющей отходов, выброса диоксида углерода и возможность образования хлордиоксинов в кислородсодержащей среде остаются.

Наиболее перспективными являются методы переработки отходов в целевые продукты, которые можно использовать в органическом синтезе [7].

промышленности используется хлорорганических метод переработки отходов В перхлорэтилен высокотемхлорированием. Возможна пературным также реализация технологии получения трихлорэтилена И перхлорэтилена методом каталитического хлорирования и окислительного хлорирования [4, Однако рынок хлорорганических растворителей (трихлорэтилена И перхлорограничен этилена) практически заполнен, что не позволяет рассчитывать на расширение использования указанных методов для переработки от расширяемых или вновь создаваемых производств ВХ.

Разработаны технологии плазмохимической и электрохимической переработки хлорорганических отходов, приводящие к получению ацетилена, этилена, технического углерода И хлористого Принципиально водорода. использованием этих технологий онжом полностью утилизировать отходы производства ВХ, а из ацетилена, этилена хлористого водорода организовать производство хлорорганических продуктов, в том числе ВХ. Однако высокий расход электроэнергии (2-3 тыс. кВтч на тонну перерабатываемых отходов) и сложность схемы разделения продуктов не позволяет конкурировать ЭТИМ метолам термическим окислением (сжигание) отходов.

B настояшее время наиболее перспективной ДЛЯ переработки хлорорганических отходов представкаталитического ляется технология гидродехлорирования. Эту технологию, разработанную ООО НИИЦ «Синтез», возможно, использовать при расширении производства BX. Этот метод обеспечивает экологическую безопасность переработки отходов. Процесс гидродехлорирования протекает В восстановительной среде, что полностью исключает возможность получения хлордиоксинов и парниковых газов (CO_2) . Процесс проводится при относительно низкой температуре (200-300 °C) с использованием катализаторов промышленных гидриирования (палладиевые, никель-хромовые) и водорода.

ООО НИИЦ «Синтез» разработаны два проведения варианта процесса. Гидродехлорирование в избытке водорода приводит к полному обесхлориванию компонентов отходов образованию смеси углеводородов и HCl. Хлористый водород удаляется из смеси адсорбцией водой с получением соляной кислоты. а смесь углеводородов водорода используется в качестве топлива. Таким образом, как углеродная, так и хлорная составляющая отхолов используются.

Еще более привлекательным представляется вариант селективного ведения процесса гидродехлорирования за счет катализатора и оптимизации подбора условий проведения процесса. При селективном гидродехлорировании удает-90% ся добиться (и выше) избирательности получения этилена из полихлоридов С2, составляющих основу хлорорганических отходов производства ВХ. Смесь этилена и хлористого водорода может быть направлена в производство BXиспользована И ДЛЯ синтеза дихлорэтана.

Недостатком процесса является необходимость подачи в процесс отходов, не содержащих кокса и смолистых соединений. Ввиду этого жидкие отходы производства BXпредварительно испаряются «осветляются» И специальном узле. Схема процесса гидродехлорирования представлена рис. 1. В процесс гидродехлорирования направляются жидкие отходы, в которых содержится более 95% хлорорганических производства, утилизация отходов которых сдерживает наращивание выпуска ВХ.

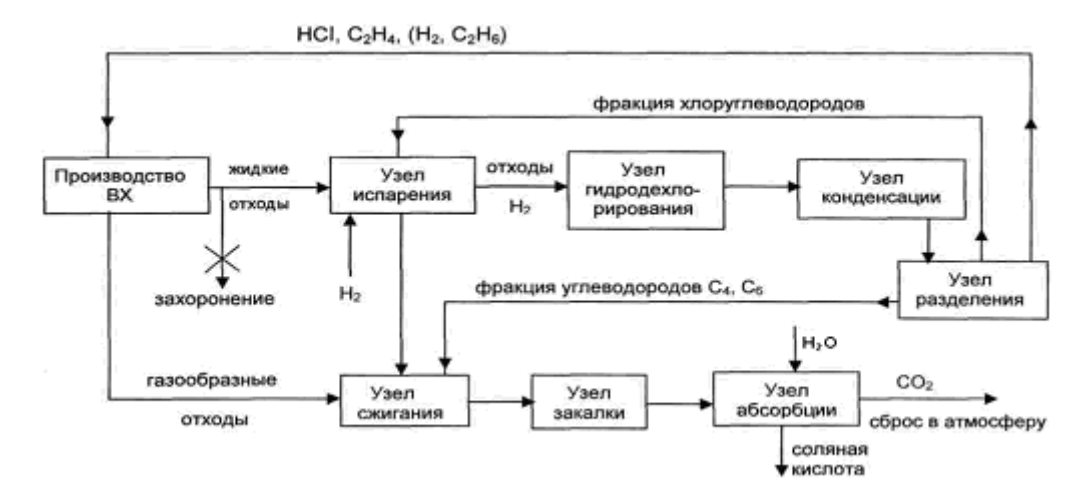


Рис. 1. Принципиальная схема процесса гидродехлорирования отходов со стадией термического обезвреживания.

Продукты гидродехлорирования лаждаются, в результате чего из них конденсируются непрореагировавшие хлоруглеводороды И относительно высококипящие побочные продукты, а смесь НСІ и этилена направляются в производство BX. Смесь содержит избыточный водород, подаваемый процесс гидродехлорирования, а также незначительное количество этана, используемого для получения дихлорэтана – полупродукта синтеза ВХ.

Жидкие отходы с узла разделения, содержащие непрореагировавшие хлоруглеводороды, возвращаются на узел испарения. На этот же узел сжигания направляются вторичные отходы с узла испарения хлорорганических отходов производства ВХ.

Вывод на сжигание определяется работой узла испарения и количеством хлоруглеводородов C_4 и C_6 , содержащихся в отходах.

Возможно осуществление процесса гидродехлорирования при практически полной конверсии хлорорганических компонентов отходов без их рецикла на узел испарения.

В результате протекания процесса гидродехлорирования хлоруглеводородов C_4 и C_6 , содержащихся в отходах, образуются углеводороды C_4 и C_6 . Фракция этих углеводородов с узла разделения направляется на узел сжигания.

Такое построение схемы позволяет полностью перерабатывать отходы производства ВХ с использованием

существующих на предприятии узлов термической переработки отходов.

Катализатор процесса дехлорирования характеризуется высоким стабильности. Использование уровнем эксперсс-методики оценки стабильности позволяет предполагать его работу без регенерации в течение не менее 1 года. В случае необходимости регенерация катализатора осуществляется пропусканием водорода при повышенной температуре.

Внедрение на производствах ВХ узла гидродехлорирования отходов может существенно позволить увеличить возможности предприятий по переработке отходов этого производства. При существующей мощности узлов сжигания переработки отходов комплексе гидродехлорирование-сжигание переработку отходов можно увеличить в несколько раз и полностью отказаться от захоронения Газообразные отходов. отходы производства винилхлорида, содержащие хлорорганические соединения небольшой концентрации онжом перерабатывать как на стадии гидродехлорирования, так и сжигания.

Таким образом, в случае внедрения технологии гидродехлорирования производства ВХ становится значительно менее отходными, и появляются предпосылки к увеличению выпуска ВХ и ПВХ.

При работе стадии гидродехлорирования количество выводимых на сжигание отходов уменьшится примерно в 5 раз с соответствующим таким же уменьшением сброса парниковых газов в атмосферу.

Очень существенным в условиях эксплуатации процесса гидродехлорирования является в 2-3 раза меньшее (по сравнению с процессом сжигания) потребление оборотной воды и отсутствие потребления высококачественной воды для получения соляной кислоты.

В условиях ограниченного спроса на соляную кислоту переработка отходов с получением востребованного хлористого водорода значительно предпочтительнее.

Проблему переработки отходов от наращиваемых производств винилхлорида можно решить за счет создания мощностей ПО термическому обезвреживанию. Однако создание комплекса переработки отходов методом гидродехлорирования с использованием существующих установок термообезвреживания значительно эффективнее по ряду причин. Некоторые из достоинств метода гидродехлорирования отражены выше. Следует отметить, что создание гидродехлорирования для работки отходов от производства ВХ 400

тыс. т/год оценивается в 50-60 млн. руб., в то время как введение в строй установки термообезвреживания потребует капитальных затрат в 150-200 млн. руб. Кроме того, переработка отходов в комплексе гидродехлорирование-сжигание обойдется значительно дешевле, чем на установке термообезвреживания. В настоящее время затраты переработку тонны на хлорорганических отходов методом сжигания на различных предприятиях значительно колеблются и составляют 3 – 6 тыс. руб.

В табл. 1 приведены ориентировочные затраты на переработку отходов производства ВХ методом гидроде-хлорирования, статьи расходов которые приняты по усредненным показателям ряда предприятий.

Затраты на переработку тонны отходов методом термообезвреживания (сжигания) оценены в 4448 руб.

Ориентируясь на данные табл. 1, затраты на переработку 14 тыс. тонн отходов от производства 400 тыс. тонн ВХ можно оценить в 27.8 млн. руб. (14000•1985.4).

Таблица 1. Затраты на переработку тонны хлорорганических отходов в комплексе гидродехлорирование-сжигание.

№	Статьи расходов	Ед. изм.	Цена (тариф),		Каталитическое гидродехлорирование	
	•		руб.	Кол-во	Сумма, руб.	
1	Энергия всех видов — в т.ч электроэнергия	і. кВтч	0.36	150.00	54.00	
2	Пар	Гкал	315.00	0.18	56.70	
3	Вода оборотная	тыс. м ³	364.00	0.050	18.20	
4	Азот	тыс. м ³	654.00	0.030	19.62	
5	Водород	Т.	92.00	0.2	18.40	
6	Холод -350 °C	Гкал	1542.00	0.07	108.00	
7	Заработная плата с начислениями	руб.	-	-	260.00	
8	Амортизация оборудования	руб.	-	-	160.71	
9	Расходы по содержанию и эксплуатации оборудования	руб.	-	-	53.57	
	Итого без учета сжигания	руб.	-	-	749.20	
10	Сжиганиенепереработанныхотходов	т.	4448.50	0.281	1250.00	
11	Итого с учетом сжигания	руб.	-	-	1985.40	

При переработке указанного количества отходов может быть получено с узла гидродехлорирования 8.8 тыс. т/год НСІ и 2.2 тыс.т/год этилена. Использование их в производстве ВХ при оптовой цене на этилен 14 тыс. руб./т и НСІ — 1100 руб./т позволяет предприятию сэкономить 41.1 млн. руб. в год.

Учитывая затраты на переработку отходов (27.8 млн. руб.), годовой прирост прибыли предприятия может составить 13.3 млн. руб. (41.1-27.8).

В этих условиях срок окупаемости капитальных вложений (60 млн. руб.) на создание узла гидродехлорирования составит около 4.5 лет (60:13.3).

Таким образом, внедрение технологии гидродехлорирования отходов на производствах BX позволяет:

- полностью переработать весь объем отходов от действующих производств BX
 - предотвратить захоронение жидких

хлорорганических отходов и загрязнение ими окружающей среды

- уменьшить выбросы парниковых газов (CO₂)
- создать условия для расширения производства BX-ПВX
- существенно снизить затраты на переработку отходов
- снизить расходные коэффициенты по этилену и хлору на производстве BX за счет использования продуктов, полученных при гидродехлорировании.

Очевидно, внедрение новой технологии будет сопровождаться положительным социальным эффектом, выразится увеличении который В занятости (новые рабочие места в связи с расширением производства ВХ и ПВХ), а сокращение онкологических также заболеваний и заболеваний нервной и эндокринной систем в связи с полной утилизацией отходов производства ВХ.

ЛИТЕРАТУРА:

- 1. http://www.Plastinfo.ru (http://plastinfo.ru/information/news/3092 18.12.2006).
- 2. Евразийский химический рынок. 2006. № 7. С. 35, 38.
- 3. The Chemical Journal. -2006. $-N_{\odot}$ 5. -C. 5, $-N_{\odot}$ 7-8. -C. 62.
- 4. Трегер, Ю. А. Проблема переработки отходов хлорорганических производств и метод ее решения / Ю. А Трегер, Л. М.Карташов // Российский химический журнал. 1998. № 6. С. 58-66.
- 5. Занавескин, Л. Н. Перспективы развития методов переработки галогенорганических отходов / Л. Н. Занавескин, В. А. Аверьянов, Ю. А.Т регер // Успехи химии. -1996. Т. 65, № 7. С. 667-675.
- 6. Аверьянов, В.А. Окислительные методы переработки и детоксикации хлорорганических отходов / В. А. Аверьянов, Л. Н.Занавескин, О. А.Конорев //. Химпром. 2002. № 2. С.3 19
- 7. Разработка и внедрение безотходных и малоотходных технологий / Л. М. Карташов [и др.] // Научные труды НИИ «Синтез». М., 1996. С.233-285.

УДК 547.963.32:577.112.083

КЛОНИРОВАНИЕ И ЭКСПРЕССИЯ В *ESCHERICHIA COLI* ГЕНОВ А- И В-СУБЪЕДИНИЦ РИЦИНА В СОСТАВЕ ХИМЕРНЫХ КОНСТРУКЦИЙ С ГЕНОМ ДИГИДРОФОЛАТРЕДУКТАЗЫ

*М.А. Грачева, *З.М. Галушкина, *Н.Н. Полетаева, *Л.В. Верховская, *В.Г. Лунин, В.И. Швец *ГУ НИИ Эпидемиологии и микробиологии им. Н.Ф. Гамалеи РАМН

Escherichia coli клонированы и экспрессированы химерные конструкции RTA-DHFR и RTB-DHFR, состоящие из генов А- и В-субъединиц рицина (RTA и RTB) и гена дигидрофолатредуктазы (DHFR). Установлено, что антигенные свойства RTA и RTB в составе химерных белков RTA-DHFR и RTB-DHFR сохраняются.

Рицин – сильнодействующий токсин растительного происхождения, содержащийся в большом количестве в семенах клешевины (Ricinus communis). представляет серьезную опасность из-за возможности его использования 2]. качестве химического оружия [1, Кроме того, следы рицина могут присутствовать В касторовом масле, используемом в медицине. Летальная доза рицина для человека при пероральном введении составляет 3 - 5 мкг/кг [3].

На сегодняшний день не существует препаратов для профилактики и лечения отравления рицином, в связи с чем интерес чрезвычайный представляет создание эффективной безопасной И вакнины. Кроме ΤΟΓΟ. большой практический интерес представляет разработка тест-системы для экспрессиндикации рицина, например, на основе ИФА. Производство вакцин и тест-систем требует получения антигенов рицина, а также антител к нему.

Ришин является гликопротеином, белковая молекулы которого часть построена двух субъединиц ИЗ каталитической А-субъединицы Ricinus Toxin A-chain) и лектиновой В-субъединицы (RTB, Ricinus Toxin Вchain), соединенных одной дисуль-фидной связью. RTA (34 кДа) – высоко активная N-гликозидаза, отщепляющая аденин в 28S-pPHK эукариот. В результате отщепления аденина рибосомы утрачивают способность связывать факторы элонгации, что ведёт к блокированию синтеза новых белков, и вызывает апоптоз и гибель эукариотических клеток. RTB (32 кДа) — лектин, выполняющий транспортные функции, связывающийся с концевыми остатками D-галактозы и N-ацето-галактозамина углеводных цепей рецепторных гликопротеинов и гликолипидов поверхности эукариотической клетки и обуславливающий эндоцитоз и дальнейший транспорт токсина [4, 5].

Работа с нативным рицином производства вакцин и тест-систем крайне сложна ввиду его высокой токсичности. Следует отметить, что RTA и RTB по отдельности значительно менее токсичны, чем нативный рицин, и при этом они сохраняют антигенные свойства нативного при проведении рицина иммунохимических реакций. Поэтому перспективным подходом для решения проблемы токсичности является получение рекомбинантных RTA и RTB.

Ранее уже были предприняты попытки получения рекомбинантных RTA [6, 7] и RTB [8, 9]. При этом исследователи сталкивались с нестабильностью, низкой растворимостью, склонностью к агрегации полученных продуктов, а также с их уровнем токсичностью И низким экспрессии. Эти трудности решали как введением мутаций в последовательности рекомбинантных RTA и RTB, так и получением ЭТИХ белков химерных белков с белками-носителями и с сигнальными последовательностями.

Для увеличения уровня продукции рекомбинантных белков в генной инженерии часто применяют технологию слитых (химерных) белков, в основе

которой лежит подход, основанный на соединении в одной рамке трансляции двух генов - гена белка-носителя и гена исследуемого продукта. Эта технология позволяет получать рекомбинантные белки, устойчивые к протеолизу и другим факторам, мешающим эффективной продукции белка в клетках штамма-продуцента [10]. В время в качестве белканастоящее носителя широко используют мышиную дигидрофолатредуктазу (DHFR). Известно, что DHFR не влияет на антигенные свойства полученных в слиянии с ней антигенов, а также увеличивает иммуногенность [11]. При этом DHFR, сама по себе, обладает низкой иммуногенностью.

Целью данной работы являлось клонирование последовательностей, кодирующих рекомбинантные химерные

белки RTA-DHFR и RTB-DHFR, включающие в свой состав полноразмерные RTA и RTB, соответственно, а также белок-носитель DHFR, экспрессия этих последовательностей в *E. coli* и исследование антигенных свойств полученных белков.

РЕЗУЛЬТАТЫ И ОБСУЖДЕНИЕ

Конструирование плазмид pRTA и pRTB и их экспрессия в E. coli. На начальном этапе работы были получены генно-инженерные конструкции (плазмиды) pRTA и pRTB (рис. 1), содержащие в своем составе нуклеотидные последовательности, кодирующие полноразмерные RTA и RTB. Нуклеотидные последовательности pRTA и pRTB были подтверждены секвенированием.

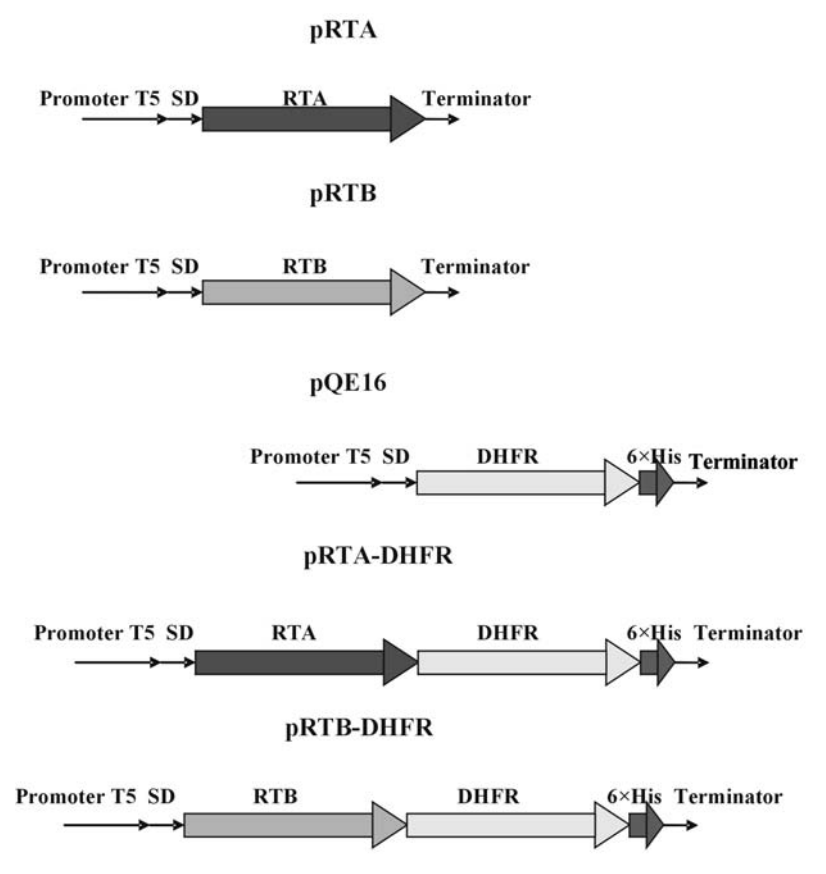


Рис. 1. Генно-инженерные конструкции pRTA, pRTB, pQE16, pRTA-DHFR, pRTB-DHFR. Promoter T5 — промотор бактериофага T5; SD — последовательность Шайна-Дальгарно; RTA — нуклеотидная последовательность, кодирующая А-субъединицу рицина; RTB — нуклеотидная последовательность, кодирующая В-субъединицу рицина; DHFR — нуклеотидная последовательность, кодирующая мышиную дигидрофолат-редуктазу, 6×His — нуклеотидная последовательность, кодирующая аминокислотную последовательность, состоящую из шести остатков гистидина. Тегminator — терминатор транксрипции.

Анализ результата экспрессии генов, кодирующих RTA и RTB, в $E.\ coli$ при помощи электрофореза в 10% полиакриламидном геле в присутствии додецилсульфата натрия (ДСН-ПААГ) не показал появления белковых полос ожидаемого молекулярного веса (\approx 34 кДа и \approx 32 кДа). Возможно, отсутствие видимой экспрессии связано с протеолизом чужеродных для $E.\ coli$ белков RTA и RTB.

Конструирование плазмид pRTA-DHFR и pRTB-DHFR. С целью увеличения уровня продукции антигенов RTA и RTB было решено применить технологию химерных белков, c использованием DHFR в качестве белка-носителя. DHFR содержит гидрофобные области, которые способствуют образованию телец включения при синтезе химерных белков в шитоплазме клеток E. coli. Тельца представляют собой включения водонерастворимые обособленные компартменты, препятствующие Действию протеолитических ферментов [11].

Для получения химерных белков RTA-DHFR и RTB-DHFR использовали экспрессионную плазмиду pQE16 фирмы QIAGEN. Особенность этой плазмиды состоит в том, что она уже содержит последовательность, кодирующую в одной рамке считывания DHFR и пептид из шести аминокислотных остатков гистидина (6×His) на C-конце DHFR. Эта плазмида позволяет получать антигены в составе химерных

белков с DHFR, очистку которых можно производить в одну стадию с помощью металлохелатной хроматографии, на колонке с сорбентом, содержащим комплекс Ni²⁺нитрилотриуксусная кислота (Ni-NTA). Последовательность 6×His обеспечивает высокоэффективное аффинное связывание рекомбинантных химерных белков с Ni-NTA-содержащими сорбентами, способствуя, таким образом, высокой технологичности получения этих химерных белков. Было показано, что последовательность 6×His не снижает биологической активности экспрессируемых белков и сама по себе обладает низкой иммуногенностью [11].

В результате были созданы генноинженерные конструкции pRTA-DHFR и pRTB-DHFR, содержащие в своем составе нуклеотидные последовательности, кодирующие химерные белки RTA-DHFR и RTB-DHFR, состоящие из полноразмерных RTA и RTB, соответственно, и DHFR (рис. 1). Нуклеотидные последовательности pRTA-DHFR и pRTB-DHFR были подтверждены секвенированием.

Экспрессия RTA-DHFR и RTB-DHFR в E. coli. При изучении кривых роста штаммов E. coli M15 [pRep4], трансформированных плазмидами pRTA-DHFR, pRTB-DHFR, pQE16 (рис. 2), наблюдали замедление роста клеток штамма M15 [pRep4, pRTA-DHFR], по сравнению с ростом клеток M15 [pRep4, pRTB-DHFR] и M15 [pRep4, pQE16].

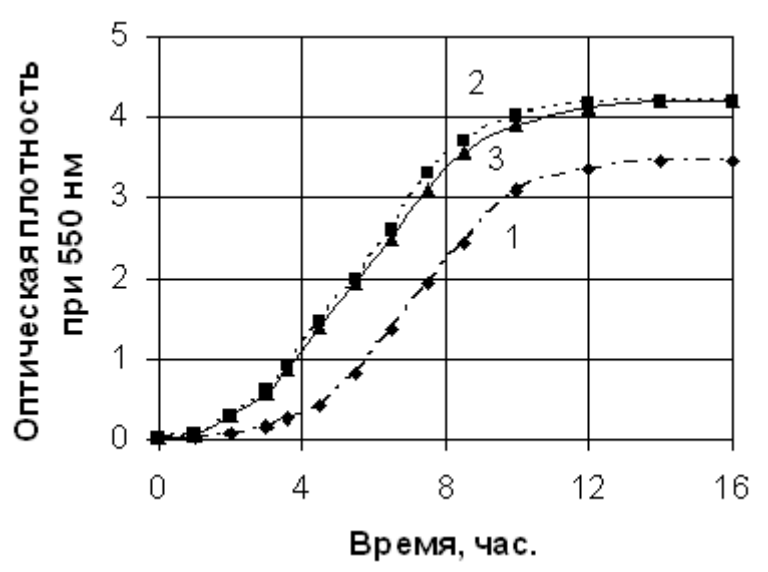


Рис. 2. Динамика роста клеток *E. coli* штаммов M15 [pRep4, pRTA-DHFR] – кривая 1, M15 [pRep4, pRTB-DHFR]] – кривая 2 и M15 [pRep4, pQE16]] – кривая 3 при 37 °C, при качании 240 об./мин, в колбах объемом 500 мл, в 100 мл среды LB.

того, наблюдали Кроме снижение выхода биомассы штамма M15 [pRep4, pRTA-DHFR] на 18% по сравнению выходом биомассы c M15 [pRep4, pRTB-DHFR] штаммов M15 [pRep4, pQE16]. Эти факты могут свидетельствовать о токсичности для клеток *E. coli* продуцируе-мого штаммом M15 [pRep4, pRTA-DHFR] целевого белка RTA-DHFR, причем токсичность привносится в этот химерный белок именно доменом RTA. Замедление роста клеток наблюдали еще до добавления индуктора, что, вероятно, вызвано токсичного накоплением продукта вследствие неполной репрессии экспрессии его гена. Возможно, что в случае экспрессии нехимерного рекомбинантного RTA целевой белок просто не успевал проявить своего токсического действия на клетки из-за его мгновенного протеолиза, поэтому замедления роста клеток в том случае не отмечали, как и появления самого продукта.

Механизм токсического действия RTA-

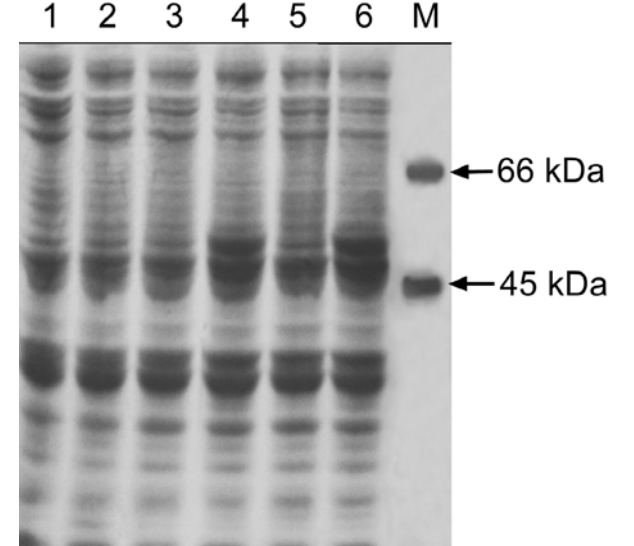


Рис. 3. Электрофореграмма белков в 10% ДСН-ПААГ с окраской Кумасси. Лизаты клеток *E. coli*:

- 1 M15 [pRep4] до индукции;
- 2 M15 [pRep4] после индукции;
- 3 M15 [pRep4, pRTA-DHFR] до индукции; 4 M15 [pRep4, pRTA-DHFR] после индукции;
- 5 M15 [pRep4, pRTB-DHFR] до индукции; 6 M15 [pRep4, pRTB-DHFR] после индукции;
- M маркеры молекулярной массы: бычий сывороточный альбумин 66 кДа, овальбумин 45 кДа.

DHFR быть Nможет связан гликозилазной активностью RTA, которая, возможно, проявляется не только в клетках эукариот, где ее субстратом является 28S-рРНК, но и в клетках прокариот, где нуклеиновые кислоты более подвержены действию различных гидролизующих ферментов, так как в меньшей степени покрыты белками.

В штаммах $E.\ coli\ M15\ [pRep4,\ pRTA-DHFR],\ M15\ [pRep4,\ pRTB-DHFR]\ обнаруживалось накопление белковых продуктов ожидаемой молекулярной массы (<math>\approx$ 51–53 кДа). Уровень продукции целевых белков составлял приблизительно 5–7% от общего клеточного белка, что было выявлено при электрофорезе в 10% ПААГ (рис. 3).

В результате анализа распределения целевых белков RTA-DHFR и RTB-DHFR в клетках *E. coli* было показано, что целевые белки накапливаются в них как в виде телец включения, так и в растворимой форме, примерно в равной степени (рис. 4).

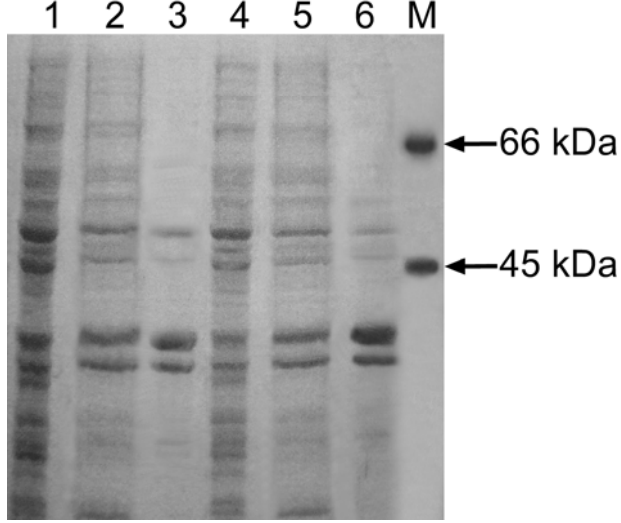


Рис. 4. Электрофореграмма белков в 10% ДСН-ПААГ с окраской Кумасси. Анализ распределения белков RTA-DHFR и RTB-DHFR в клетках *E. coli* M15.

1 — М15 [pRep4, pRTA-DHFR] — лизат клеток после индукции; 2 — М15 [pRep4, pRTA-DHFR] — растворимая фракция лизата; 3 — М15 [pRep4, pRTA-DHFR] — нерастворимая фракция лизата; 4 — М15 [pRep4, pRTB-DHFR] — лизат клеток после индукции; 5 — М15 [pRep4, pRTB-DHFR] — растворимая фракция лизата; 6 — М15 [pRep4, pRTB-DHFR] — нерастворимая фракция лизата; М — маркеры молекулярный массы: бычий сывороточный альбумин — 66 кДа, овальбумин — 45 кДа

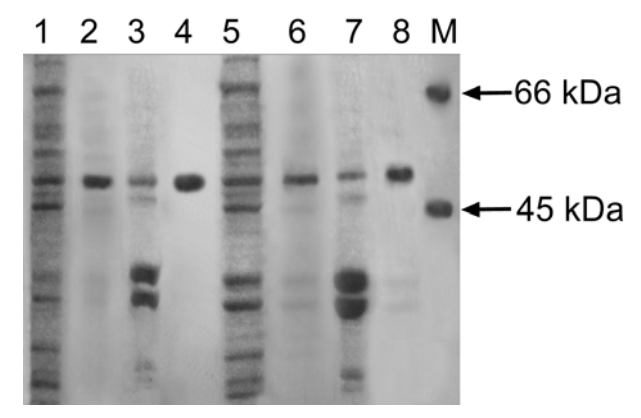


Рис. 5. Электрофореграмма белков в 10% ДСН-ПААГ с окраской Кумасси. Очистка белков RTA-DHFR и RTB-DHFR на колонке с Ni–NTA-агарозой.

1 – M15 [pRep4, pRTA-DHFR] – растворимая фракция лизата; 2 - Очищенный белок RTA-DHFR из растворимой фракции; 3 – M15 [pRep4, pRTA-DHFR] нерастворимая фракция лизата; 4 - Очищенный белок RTA-DHFR из нерастворимой фракции; 5 - M15 [pRep4, pRTB-DHFR] – растворимая фракция лизата; 6 - Очищенный белок RTB-DHFR из растворимой фракции; 7 – M15 [pRep4, pRTB-DHFR] – нерастворимая фракция лизата; 8 – Очищенный белок RTB-DHFR нерастворимой фракции; М – маркеры молекулярной массы: бычий сывороточный альбумин – 66 кДа, овальбумин – 45 кДа

Выделение и очистка RTA-DHFR и RTB-DHFR. Были получены препараты очищенных белков с концентрацией 1 мг/мл. Чистота белков RTA-DHFR и RTB-DHFR составила не менее 95% (рис. 5).

белков, полученных при Выход инкубации после индукции изопропил-β-**D**-тиогалактопиранозидом (ПППП) при 37°C, течение 3 Ч составил приблизительно 8 мг из 1 л культуры для RTA-DHFR и приблизительно 10 мг из 1 л культуры для RTB-DHFR. Увеличение времени экспрессии свыше 3 ч не способствовало увеличению выхода целевых продуктов.

Исследование антигенных свойств RTA-DHFR и RTB-DHFR. В результате иммунизации кроликов антигенами RTA-DHFR и RTB-DHFR были получены гипериммунные сыворотки. При проведении непрямого ИФА гипериммунная сыворотка, полученная в RTA-DHFR, проявляла активность в разведении 1:12800 как по отношению к исследуемому антигену RTA-DHFR, так и по отношению к контрольному антигену RTA-CBD (см. эксперимент. часть) (рис. 6).

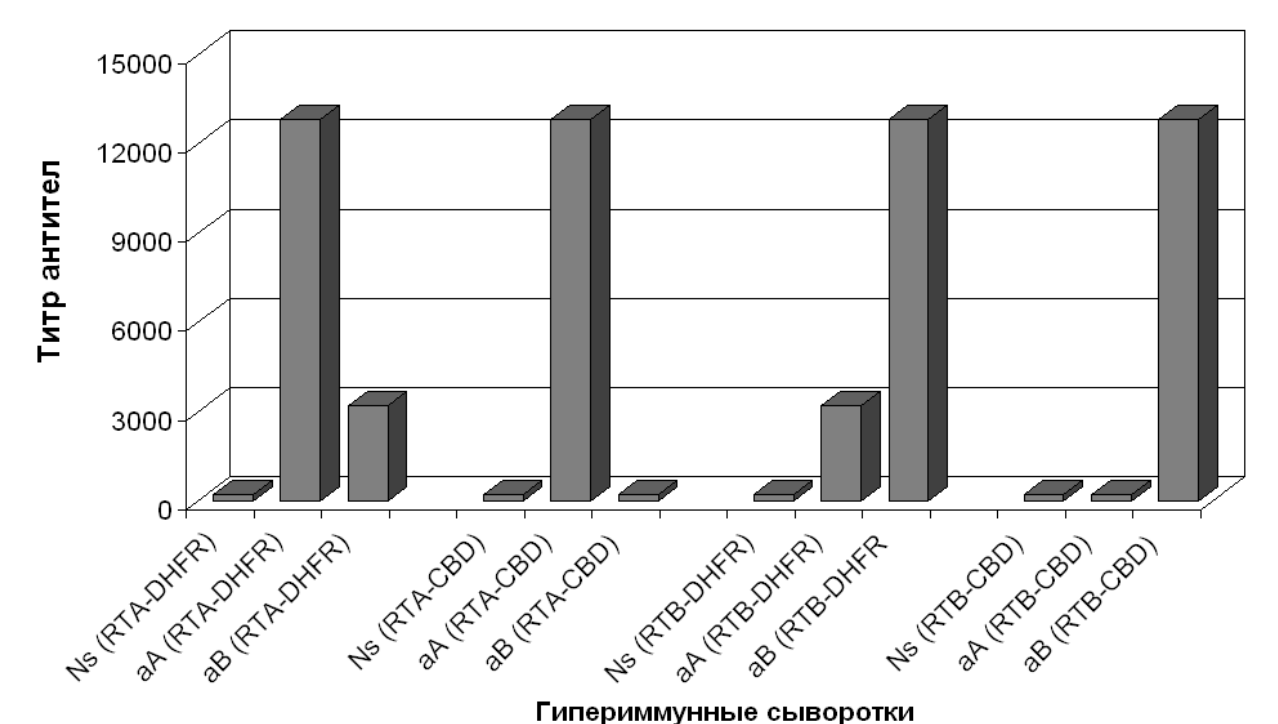


Рис. 6. Определение титра антител к RTA и RTB в гипериммунных сыворотках крови кролика методом непрямого ИФА. RTA-DHFR, RTB-DHFR и RTA-CBD, RTB-CBD – антигены, сорбированные на плашке; Ns – предиммунная сыворотка; аА – гипериммунная сыворотка, полученная в ответ на RTA-DHFR; аВ – гипериммунная сыворотка, полученная в ответ на RTB-DHFR.

Гипериммунная сыворотка, полученная в ответ на RTB-DHFR, проявляла активность в разведении 1:12800 как по отношению к исследуемому антигену RTB-DHFR, так и по отношению RTB-CBD. контрольному антигену предиммунной сыворотке антитела К использованным антигенам отсутство-Наблюдали незначительную вали. специфичность перекрестную сыворотках, которая обусловлена присутствием в составе рекомбинантов общей структуры DHFR. Полученные результаты показали, что химерные белки RTA-DHFR и RTB-DHFR сохранили свойства, соответственно, антигенные RTA и RTB, так как гипериммунные были специфичны сыворотки исследуемым антигенам, так И контрольным.

В заключение следует отметить, что не удалось получить продукции реком-

бинантных нехимерных белков RTA и RTB. Подход с применением DHFR в белка-носителя позволил качестве получить высокоэффективные штаммыпродуценты белков **RTA-DHFR** RTB-DHFR. Однако, белок RTA-DHFR, по-видимому, проявляет токсичность по отношению К клеткам E. coli. проявляется в замедлении их роста и снижении выхода биомассы. Антигенные свойства RTA и RTB в составе химерных RTB-DHFR **RTA-DHFR** И сохраняются.

ЭКСПЕРИМЕНТАЛЬНАЯ ЧАСТЬ

Клонирование ДНК.

Последовательность RTA получали при помощи полимеразной цепной реакции (ПЦР) на приборе «Терцик» («ДНК-технология», Россия), с использованием хромосомной ДНК клещевины в качестве матрицы, выделенной из семян клещевины согласно [12], и праймеров:

RTA-F:5'-TTAGAGGCCATGGGCATATTCCCCAAACAATACCCAATTATAAAC-3', RTA-R: 5'-CACTGGTCTAGATTAGGATCCAAACTGTGACGATGGTGGAGGTGCG-3'.

ПЦР проводили в следующем режиме: 5 циков: 93 °C -2 мин , 60 °C -5 мин и 72 °C -30 с; 30 циклов: 93 °C -1 мин, 60 °C -1 мин и 72 °C -30 с; затем 1 цикл: 60 °C -5мин и 72 °C -10 мин. Плазмиду рRTA получали встраиванием ПЦР-фрагментов последовательности RTA в экспресссионный плазмидный вектор pQE6 (Apr) (QIAGEN, США) при помощи эндонуклеаз рестрикции NcoI и BamHI.

Нуклеотидную последовательность RTB конструировали по частям, с целью убрать неудобные ДЛЯ дальнейшего клонирования сайты рестрикции, присутствующие в нативной ДНК, и ввести новые. Нуклеотидную последовательность, кодирующую N-концевую часть RTB с 1219 по 1982 п. н., получали методом ПЦР (режим см. выше), используя в качестве матрицы ДНК клещевины и праймеры:

N-RTB-F: 5'-TACCAACCATGGGTGCTGATGTTTGTATGGACCCTGAGCCC-3' N-RTB-R: 5-GAGAGGTCTAGATTAGGATCCCTTAAGGCTCGGGTCCGATGCCCTCACAT-3'.

Плазмиду pNRTB получали встраиванием ПЦР-фрагментов N-концевой последовательности RTB в вектор pQE6 при помощи эндонуклеаз рестрикции *Nco*I и *Xba*I. Последовательность, кодирующую

С-концевую часть RTB с оптимизированными кодонами с 1956 по 2018 п. н., получали химикоферментативным синтезом из олигонуклеотидов:

C-RTB-F1: 5'-AATTCTTAAGCAGATTATCCTGTACCCGCTGCA-3', C-RTB-F2: 5'-TGGCGATCCGAATCAGATCTGGCTGCCGCTGTTTGGATCCTAAT-3', C-RTB-R1: 5'-CCGGATTAGGATCCAAACAGCGGCAGCCAGATCTGAT-3', C-RTB-R2: 5'-TCGGATCGCCATGCAGCGGGTACAGGATAATCTGCTTAAG-3'.

Для этого смесь олигонуклеотидов (по 20 пкМ каждого) сначала прогревали на водяной бане в течение 10 мин при 95 °C, а потом охлаждали в течение 4 ч до 25°C;

далее проводили лигирование при помощи ДНК-лигазы фага Т4. Плазмиду pCRTB получали встраиванием С-концевой части RTB в экспрессионный плазмидный

вектор pQE6 с использованием эндонуклеаз рестрикции *Eco*RI и *Kpn*2I. Плазмиду pRTB, несущую полноразмерную последовательность, кодирующую RTB, получали из двух плазмид pNRTB и pCRTB при помощи эндонуклеаз рестрикции *Eco*RI и *AfI*II.

Олигонуклеотиды для получения RTA и RTB были спланированы на основе известной последовательности ДНК клещевины (*Ricinus communis*), представленной в банке данных GenBank под номером X03179, и синтезированы ЗАО «Синтол» (Россия, Москва).

Получение рекомбинантных плазмид и выделение плазмидной ДНК проводили согласно методам, изложенным в [13]. Для клонирования нуклеотидных последовательностей использовали штамм E. coli M15 [pRep4], (Nal^s, Str^s, rif^s, lac⁻, ara⁻, gal⁻, mtl^- , F^- , $recA^+$, uvr^+). Трансформацию проводили E. coli клеток методом электропорации согласно инструкции к электропоратору фирмы **BIO-RAD** (США). Бактериальные клетки культивировали при 37 °C бактериальной среде Luria-Bertani (LBбульон), со следующими компонентами: триптон, дрожжевой экстракт и агар (Difco, США). Твердая бактериальная среда содержала 2% агара. Для селекции штаммов применяли антибиотики ампициллин с конечной концентрацией 150 мкг/мл и канамицин с конечной концентрацией 25 мкг/мл. Нуклеотидную последовательность плазмид определяли по методу Сэнгера [14].

Для получения плазмид pRTA-DHFR и нуклеотидные последоваpRTB-DHFR тельности RTA и RTB из плазмид pRTA и встраивали экспрессионный pRTB В плазмидный вектор pQE16 (Ap^r) (OIAGEN, США) при помощи эндонуклеаз рестрикции *Eco*RI и *Bam*HI.

Экспрессия рекомбинантных генов. Экспрессию рекомбинантных генов проводили в штамме *E. coli* M15 [pRep4] согласно стандартным протоколам, разработанным фирмой QIAGEN (США) [11]. Бактериальные клетки выращивали в среде LB до оптической плотности, измеряемой при 550 нм, равной 0.7–0.9,

после чего индуцировали экспрессию ИПТГ добавлением ДΟ конечной 0.01 MM.концентрации Экспрессию проводили на термостатируемой качалке при 37 °C, при 240 об./мин, в течение 3 ч. Анализ уровня продукции белков в клетке осуществляли использованием электрофореза в 10% ДСН-ПААГ по методу Лэммли [15] с последующей окраской Кумасси R-250.

Выделение и очистка RTA-DHFR и RTB-DHFR. Культуру клеток осаждали центрифугированием в течение 10 мин при 4000 об./мин, осажденные клетки суспендировали в 1% растворе Тритона Х-100. Далее проводили лизис клеток сначала лизоцимом с конечной концентрацией 0.01 мг/мл, затем ультразвуком. Лизат центрифугировали при 10000 об./мин в течение 10 мин и отделяли супернатант от осадка. Количественное распределение белков RTA-DHFR и RTB-DHFR в растворимой и нерастворимой фракции клеточного лизата анализировали при помощи электрофореза, как описано выше. Выделение и очистку белков RTA-DHFR и RTB-DHFR проводили как из растворимой фракции (супернатанта), так и из нерастворимой (осадка) на колонке с Ni–NTA-агарозой (QIAGEN, США) согласно [11].Оценку чистоты полученных белков проводили с использованием электрофореза, как описано выше. Концентрацию очищенных целевых белков определяли методом Брэдфорда [16].

Исследование антигенных RTA-DHFR и RTB-DHFR. Очищенными химерными белками RTA-DHFR и RTB-DHFR проводили иммунизацию кроликов. Для этого 500 мкг рекомбинантного белка в смеси с равным объемом полного адъюванта Фрейнда в фосфатно-солевом (pH 7.4)вводили буфере кроликам подкожно вдоль спины. Через 4 недели проводили повторную иммунизацию, используя неполный адъювант Фрейнда. Еще через 4 недели проводили третью иммунизацию без адъюванта внутримышечно. Сыворотку крови отбирали до иммунизации и через 10 дней после последней иммунизации.

Определение титра специфических

антител к RTA и RTB в гипериммунных сыворотках крови кроликов проводили методом непрямого иммуноферментного анализа (ИФА). Отрицательным контролем являлась предиммунная сыворотка. В качестве антигенов сенсибилизации полистиролового микропланшета (Nunc, Дания) использовали как исследуемые химерные белки RTA-DHFR RTB-DHFR, так И контрольные антигены – химерные белки RTA-CBD и RTB-CBD, полученные авторами ранее. В химерных белках RTA-CBD и RTB-CBD белком-носителем для RTA и RTB является целлюлозосвязывающий домен (СВD).

Сыворотки титровали методом двукратных разведений и инкубировали с

иммобилизованными на планшете антигенами. Далее проводили инкубацию иммунопероксидазным антивидовым конъюгатом (Goat-anti-rabbit IgG-HRP. Amersham, рабочее разведение 1:5000). Для проявления реакции в лунки вносили однокомпонентную ТМВ-субстратную (Sigma, США). Оптическое смесь поглощение (ОП) окрашенного продукта пероксидазной реакции определяли на **iEMS** Reader MF приборе (Thermo Labsystems, Финляндия) при 450 Титром считали обратную антител величину последнего разведения, $O\Pi_{450}$ исследуемого котором сыворотки в 2 раза превышает ОП₄₅₀ в отрицательном контроле.

ЛИТЕРАТУРА:

- 1. Антонов, Н. С. Химическое оружие на рубеже двух столетий / Н. С. Антонов. М.: Прогресс, 1994. С. 108–111.
- 2. Doan, L. G. Ricin: mechanism of toxity, clinical manifestations, and vaccine development / L. G. Doan // J. Toxicol. Clin. Toxicol. 2004. Vol. 42, № 2. P. 201–208.
- 3. Bigalke, H. Medical aspects of toxin weapon / H. Bigalke, A. Rummel // Toxicology. 2005. Vol. 214. P. 210–220.
- 4. Olsnes, S. Ricin / S. Olsnes, J. V. Kozlov // Toxicon. 2001. Vol. 39, № 11. P. 1723–1728.
- 5. Козлов, Ю. В. Рибосом-инактивирующие лектины растений / Ю. В. Козлов, О. Ю. Сударкина, А. Г. Курманова // Мол. Биол. -2006. Т. 40, № 4. С. 711–723.
- 6. Ricin: current understanding and prospects for an antiricin vaccine / C. J Marsden [et al.] // Expert Rev. Vaccines. 2005. Vol. 4, № 2. P. 229–237.
- 7. Improved formulation of a recombinant ricin A-chain vaccine increases its stability and effective antigenicity / J. H. Carra [et al.] // Vaccine. 2007. Vol. 25, № 21. P. 4149–4158.
- 8. Mutational analysis of the galactose binding ability of recombinant ricin B chain / R. Wales [et al.] // J. Biol.Chem. 1991. Vol. 266, № 29. P. 19172–19179.
- 9. The effects of N-glycosylation on the lectin activity of recombinant ricin B chain / P. T. Richardson [et al.] // Carbohydr. Res. 1991. Vol. 213. P. 19–25.
- 10. Terpe, K. Overview of tag protein fusions: from molecular and biochemical fundamentals to commercial systems / K. Terpe // Appl. Microbiol. Biotechnol. -2003. Vol. 60, No. 5. P. 523-533.
 - 11. Henco, K. The QIAexpressionist / K. Henco // DIAGEN GmbH, QIAGEN Inc. 1991. P. 1–55.
- 12. Дорохов, Д.Б. Быстрая и экономичная технология RAPD анализа растительных геномов / Д. Б. Дорохов, Э. Клоке // Молекулярная генетика. 1997. Т. 33, № 4. С. 443–450.
- 13. Маниатис, Т. Методы генетической инженерии. Молекулярное клонирование / Т. Маниатис, Э. Фрич, Д. Сэмбрук. М.: Мир, 1984.
- 14. Sanger, F. A rapid method for determining sequences in DNA by primed synthesis with DNA polymerase / F. Sanger, A.R. Coulson // J. Mol. Biol. 1975. Vol. 94, № 3. P. 441–446.
- 15. Laemmli, U. K. Cleavage of structural proteins during the assembly of the head of bacteriophage T4 / U.K. Laemmli // Nature. 1970. Vol. 227, № 5259 P. 680–682.
- 16. Bradford, M. M. A rapid and sensitive method for the quantitation of microgram quantities of protein utilizing the principle of protein-dye binding / M. M. Bradford // Anal. Biochem. 1976. Vol. 72. P. 248–254.

УДК: 616.61/62

ЛИТОЛИЗ *IN VITRO* НЕФРОЛИТОВ КСИДИФОНОМ И ЕГО СМЕСЯМИ С КАЛГАНОМ

Н.Г. Чабан, В.И. Букин, *Л.М. Рапопорт, *Д.Г. Цариченко *Московская медицинская академия имени И.П. Сеченова

зучено влияние растворов смесей калгана с ксидифоном на литолиз (растворение) мочевых камней различного состава. Предложены составы, позволяющие предотвратить осаждение ксидифона и сохранить его высокую комплексообразующую способность.

Мочекаменная болезнь (уролитиаз) была и остаётся актуальной проблемой медицины, так как является одним из распространённых заболеваний в урологии, а методы ее лечения до сих пор вызывают широкую дискуссию в медицинских кругах [1].

Изучение литолиза (растворения) нефролитов (мочевых камней) чрезвычайно важная задача, так как может уберечь больных OT хирургического вмешательства или сократить количество сеансов ДУВЛ (дистанционной ударноволновой литотрипсии), что в свою ласт возможность избежать осложнений, связанных с повреждением тканей почки, развития феномена «каменной дорожки», рецидива нефролитиаза острого И развития пиелонефрита.

В патогенезе камнеобразования основным являются канальцевые поражения. В результате дистрофии эпителия почечных канальцев наступают изменения белковом полисахаридном которые могут, при дополнительных патеногенетических условиях, привести к образованию микролитов, каждый которых может стать ядром (матриксом) для образования мочевого конкремента. Исследования состава мочевых камней методами рентгенофазового анализа [2] и ИК-спектроскопии [3] показали опасность нефролитиаза развития ДЛЯ функциональных органов человека, поскольку происходит обеднение состава крови, лимфы, костей и пр. такими важными лля жизнедеятельности элементами как фосфор, кальций, магний, кремний и др.

Из всех опубликованных исследований состава конкрементов следует, что более чем в 50% случаев в почках встречаются оксалатные камни — кальциевые соли щавелевой кислоты.

Известно, что кальциевые поражения обшими вызываются В основном факторами. Среди них передозировка витаминами A и D, интоксикация паратгормоном при первичном гиперпаратиреоидизме, бактериальная интоксикация при общих инфекциях и пиелонефрите и [4]. Частота заболеваний мочекаменной болезнью также возрастает увеличением жесткости содержания в ней кальция и магния.

Регулирование фосфорно-кальциевого осуществляется гормоном паратгормоном, вырабатываемым околощитовидными железами. Пороговым раздражителем околощитовидных ДЛЯ желез служит падение уровня кальция в крови, что приводит к повышению функции желез и вызывает дополнительное выделение паратгормона, который действует на эпителии почечных канальцев, снижая них реабсорбцию неорганического фосфора. Уровень фосфора в крови понижается, что в свою очередь является пороговым раздражителем для поступления фосфора в кровь из костей. При этом происходит вымывание кальция из костей, с которым фосфор находится химическом соединении.

В основе первичной оксалатурии лежит нарушение метаболизма глицина и глиоксиловой кислоты, наступающее вследствие ферментного блока. Это приводит к избыточному образованию и

выделению щавелевой кислоты, и в почках откладываются оксалаты кальция. У больных оксалатурией концентрация щавелевой кислоты и её солей в моче в полтора раза выше, чем у здоровых людей.

Предотвращение гипероксалурии заключается в подавлении синтеза щавелевой кислоты, удалении избытка оксалатов с мочой и поддержании их в растворённом состоянии.

Соотношение основных источников образования щавелевой кислоты в

организме охарактеризовать онжом образом: следующим треть за счет эндогенных механизмов, треть связана с метаболизмом аскорбиновой кислоты Кребса) И треть образуется (цикл абсорбции вследствие оксалата кишечника в кровь. Синтез щавелевой усиливается при лефиците кислоты витаминов A, B, D, магния и особенно витамина В₆. При этом нарушается окисление глиоксиловой кислоты, образующейся при переаминировании глицина [1]:

$\begin{array}{ccc} B_6 & B_1 \\ \text{Оксалоацетат} \to \Gamma \text{лицин} \leftrightarrow \Gamma \text{лиоксалат} \to \Phi \text{ормиат} + \text{CO}_2 \\ & & \downarrow \\ \text{Щавелевая кислота} \end{array}$

Для литолиза оксалатных нефролитов предложен целый ряд лекарственных препаратов [1, 4, 5]. Однако даже самые эффективные их них не лишены недостатков.

Настоящая работа посвящена литолизу (растворению) in vitro мочевых камней различного состава В растворах природных комплексообразователей кальция – ксидифоне и калгане. В работе нефролиты использовали больных, находящихся на лечении в урологической клинике ММА им. И.П. Сеченова. При исследовании применяли метод растворимости, рентгенофазового анализа (РФА) и ИК-спектроскопии. Литолиз нефролитов изучали в растворах ксидифона и смеси ксидифона с калганом при постоянной температуре и перемешивании. Состав твердых фаз контролировали методом РФА (метод порошка). Съемку образцов осуществляли на дифрактометре типа СиКα-излучении. ДРОН-1 В индицировании дифрактограмм использовали данные картотек ASTM, ICDD PDF-2 и работы [3]. Результаты РФА определить тип позволили мочевых камней.

Проведенные нами предварительные исследования позволили сделать вывод, что для прогнозирования литолиза мочевых камней необходимо учитывать особенности их кристаллического строения.

Исследования действия препаратов блемарена, канефрона и лапчатки прямостоячей (калгана) на мочевые камни различных составов показали, цитратная терапия (блемарен) перспективна для растворения уратных камней. Отмечено, что канефрон может быть использован для литолиза оксалатных камней, но он эффективен только для растворения нефролитов. содержаших менее 50% веввелита. Для литолиза оксалатных камней, которые чаще всего встречаются в составе мочевых камней, наиболее эффективным препаратом является лапчатка прямостоячая. воздействие на камни приводит уменьшению их массы до 40-45.5%, что в десятки раз выше, чем при использовании других литолизных средств. Наибольшие при затруднения литолизе мочевых камней вызывают оксалатные камни. содержащие более 50% веввелита.

Корни лапчатки содержат 15–30% дубильных веществ, с преобладанием конденсированных танинов, которые, в основном, представлены полимерами катехинов (флаванола-3):

Они могут образовывать хелат с ионом Ca²⁺ по группе катехина или лейкоантоцианидинов (флавандиола-3,4), а также с сополимерами флаваноидных соединений этих двух типов. Присутствующая в лапчатке свободная эллаговая кислота тоже может образовывать комплексы с ионом кальция:

Дубильные вещества, кроме иона Ca²⁺, могут взаимодействовать с белками, уменьшая всасываемость кальция из кишечника в кровь.

Таким образом, эффективные литогенные средства в своём составе должны иметь соединения, способные к комплексообразованию, к разрушению органической матрицы нефролита, а также обладать мочегонными свойствами.

Следует отметить, что наряду с природными веществами (например, калганом) перспективными растворителями нефролитов являются дифосфоновые кислоты:

Последние способны регулировать обмен кальция на клеточном уровне. Они обладают малой токсичностью целенаправленным действием, что связано большим хемосорбционным их сродством к основному неорганическому компоненту организма ксиапатиту. В ряду данных кислот 1оксиэтилендифосфоновая кислота (ОЭДФ) представляет собой синтетический аналог естественного регулятора обмена кальция пирофосфата. Она обладает устойчивостью к химической и ферментативной деградации в условиях организма и не побочных эффектов благодаря быстрому выведению через почки.

Калий-натриевая соль ОЭДФ – препарат ксидифон:

относится к группе комплексонов, обеспечивающих подавление кристаллообразования, роста и агрегации кристаллов оксалатов и фосфатов кальция в мочевыводящих путях. Он препятствует новообразованию нефролитов в почечной лоханке, мочеточнике, мочевом пузыре и облегчает прохождение камней и «песка» по мочевым путям.

Свойства ксидифона как растворителя нефролитов были изучены на мочевых камнях различной природы, например, уратах желто-кирпичного цвета с гладкой поверхностью и твёрдой консистенцией. Изучение литолиза уратных камней растворами ксидифона в моче проводили в термостате при температуре 37-37.5°C. Исходная моча имела рН 5.5. Введением ксидифона установили следующие значения рН мочи: 5.5, 6.0, 6.5 и 7.5. Измерения рН проводили с помощью универсального рН-метра марки рН-340. Мочу меняли каждые сутки. Была изучена зависимость убыли массы (ΔG) камня от времени (т) при различных значениях рН мочи. Продолжительность эксперимента недели. Результаты исследования представлены на рис. 1.

Полученные данные показали, что механизм растворения уратных камней ксидифоном имеет такой же характер, как и при использовании цитратной терапии (блемарен) [6], т. е. чем выше рН мочи, быстрее илёт литолиз. ксидифона Ощелачивающее действие достигается за счет гидролиза соли сильного основания и слабой кислоты. При значении рН мочи, равном 7.5, на кривой растворения наблюдается максимум. Это можно объяснить тем, что при шелочной реакции мочи начинается выпадение препарата в осадок. Таким образом, для растворения уратных оптимальным конкрементов является значение рН 6.5-7.0.

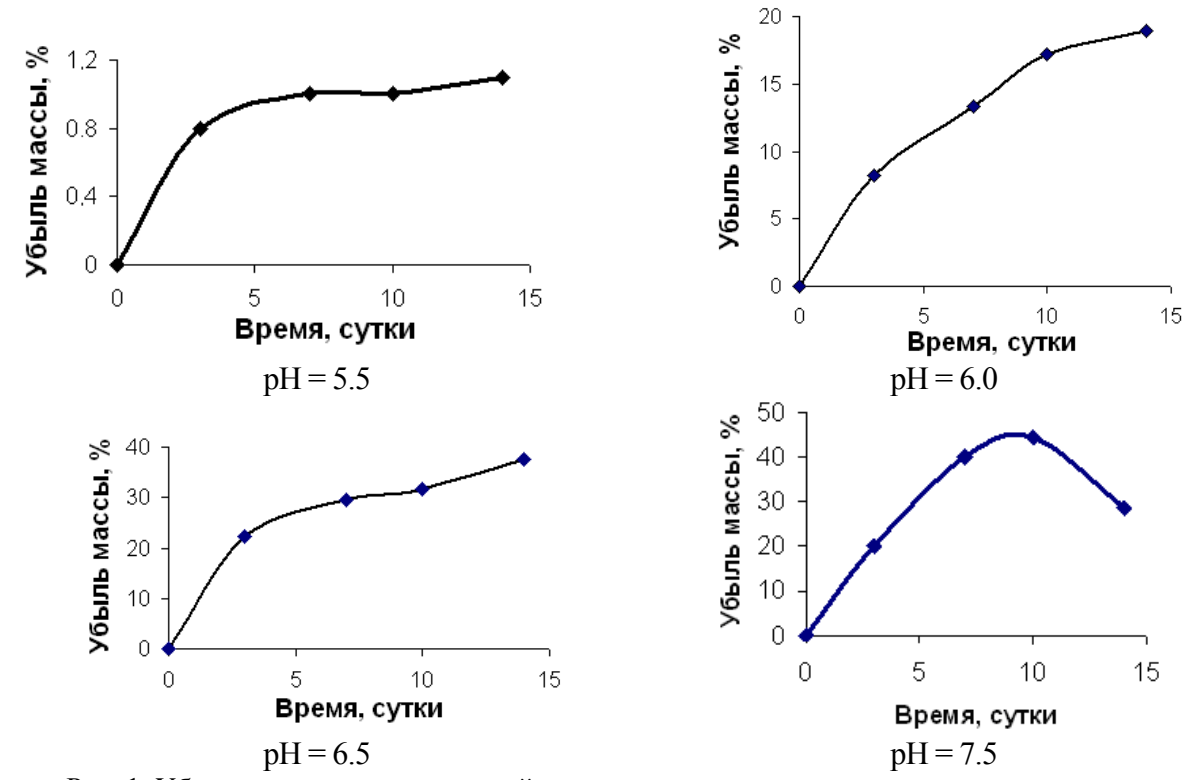


Рис. 1. Убыль массы уратных камней в зависимости от времени выдержки в присутствии ксидифона в моче при различных рН.

Изучено влияние времени воздействия растворов ксидифона на эффективность процесса растворения уратных камней. проводили Эксперимент следующим образом: в химический стакан помещали предварительно взвешенный уратный камень, заливали 50 мл мочи и добавляли 0.3 г 2% раствора ксидифона. В процессе литолиза контролировали изменение рН массу мочи И камня. Результаты представлены в табл. 1.

На основании полученных данных

онжом отметить, что при литолизе c использованием уратных камней ксидифона уже в конце второй недели применения препарата идет значительное подщелачивание мочи до рН 7.3 и резкое снижение скорости литолиза. Поэтому ксидифон можно использовать не более 14 дней. Применение ксидифона более двух недель вызывает устойчивую щелочную может реакцию мочи, что вызвать появление бактерий и спровоцировать различные урологические заболевания.

Таблица 1. Литолиз уратных камней в растворе ксидифона.

Время, нед.	. рН Масса камня		Литолиз, % от исходной массы камн			
	раствора	Γ				
_	_	0.7050	_			
1	5.5-6.8	0.4124	41.5			
2	6.8-7.3	0.3622	7.1			
3	7.3-7.5	0.3215	5.8			

Изучение литолиза оксалатных камней в растворе ксидифона проводили на нефролитах, содержащих: веввелит ($CaC_2O_4\cdot H_2O$), ведделит ($CaC_2O_4\cdot 2H_2O$) и их смесь в соотношении 1:3, соответственно.

Изучено также влияние времени на процесс растворения камней при различных значениях рН мочи (от 5.5 до 7.5).

Установлено, что наибольшая скорость ДЛЯ всех конкрементов наблюдалась при рН 6.8. За две недели убыль массы составила для: веввелита -28-32% (3 камня), ведделита – 38-39.5% (2 камня) и смеси – 34.2% (1 камень). При этом, как и в случае уратных камней, в недели конце второй применения ксидифона наблюдается значительное подщелачивание мочи и резкое уменьшение скорости литолиза камней.

негативную Учитывая особенность ксидифона при быстром ощелачивании выпалать осалок. В нами предотвращения этого явления использована смесь растворов калгана и ксидифона. При этом ксидифон с ионами кальция образует растворимый комплекс, а калган, котором активной составляющей является эллаговая кислота, с одной стороны, также взаимодействует с ионами кальция, а с другой нейтрализует гидроксил-ионы, стороны, образующиеся при гидролизе ксиди-фона, и тем самым снижает значение рН мочи.

Таким образом, регулируя концентрацию раствора калгана, можно предотвратить выпадение в осадок ксидифона при сохранении его высокой комплексообразующей способности. При

этом возможно длительное применение ксидифона без осложнений.

Было изучено влияние концентрации калгана на литолиз мочевых камней. оптимальным Показано. что является массовое соотношение калгана ксидифону 1:2, т.е. добавка к 2% раствору ксидифона равного количества спиртового раствора калгана. Введение калгана в большем количестве может запор, поскольку он в своем вызвать содержит 15-30% дубильных составе веществ, а введение калгана в меньшем количестве приводит К быстрому ощелачиванию мочи и ксидифон начинает выпадать в осадок.

Найденный оптимальный состав смеси ксидифона и калгана был использован для литолиза мочевых камней различных типов. Полученные данные приведены в табл. 2.

Таблица 2. Литолиз мочевых камней смесью ксидифона и калгана.

Мочевые камни	Изменение рН мочи в процессе литолиза			Убыль массы камня, г				Убыль массы камня,
	1 нед.	2 нед.	3 нед.	Gucx.	G_{1} нед.	$G_{2{\scriptscriptstyle He}\!\scriptscriptstyle J}$	$G_{3 \ нед}$	%
Ураты	5.5- 6.5	6.5- 6.9	6.9	0.8206	0.4431	0.2233	Распа Д	100
Веввелит	5.5- 6.1	6.1- 6.9	6.9- 7.0	1.6382	0.8434	0.7826	0.6713	59
Ведделит	5.5- 6.5	6.5- 6.9	6.9	0.5724	0.4333	0.3923	0.3212	43.9
Гидроксиапат ит	5.5- 6.5	6.5- 6.8	6.8- 6.9	1.9236	0.6235	0.5284	Распа Д	100
Струвит	5.5- 6.4	6.4- 6.7	6.7- 6.8	0.6328	0.5121	0.4643	0.4318	31.7

В заключение необходимо отметить, что введение в раствор ксидифона добавки калгана позволяет предотвратить резкое подщелачивание мочи и создает оптимальные условия для комплексообразования кальция с препаратами, а, следовательно, и эффективного литолиза

мочевых конкрементов всех видов.

Введение калгана позволяет контролировать рН мочи (рН 6.5-6.8) и не снижает комплексообразующей способности ксидифона. Кроме того, калган влияет на органическую составляющую камня, делая его более хрупким.

ЛИТЕРАТУРА:

- 1. Пытель, Ю. А. Уратный нефролитиаз / Ю. А. Пытель, И. И. Золотарев. М. : Медицина, 1995. 176 с.
- 2. Исследование фазового состава почечных камней / О. С. Бондарева [и др.] Тез. докл. XI Национальной конф. по росту кристаллов. М. : ИК РАН, 2004. С. 285.
- 3. Тиктинский, О. Л. Мочекаменная болезнь / Тиктинский О. Л., Александров В. П. СПб : Питер, 2000. 384 с.
- 4. Юрьева, Э. А. Ксидифон кальцийрегулирующий препарат / Э. А. Юрьева, Н. В. Алексеева // Росс. вестник перинатологии и педиатрии. 1999. № 4. С. 45-49.
 - 5. Бутц, М. Клиническая оценка (Clinical Opinion) BLEMAREN / М. Бутц. 1997. 20 с.

«Вестник МИТХТ», 2007, т. 2, № 6

6. Комплексное изучение мочевых камней / Ю. Г. Аляев, С. Р. Белоусов, В. И. Букин, Г. М. Кузьмичева, Л. М. Рапопорт, В. И. Руденко, Н. Г. Чабан // Ж. неорган. химии. − 2002. - T. 47, № 3. - C. 456-464.

УДК 66.011

АНАЛИЗ ЭНЕРГОСБЕРЕЖЕНИЯ ПРИ РЕКТИФИКАЦИИ ИДЕАЛЬНЫХ БИНАРНЫХ СМЕСЕЙ

М.К. Захаров, А.С. Козлова

а основе количественной оценки качества разделения предложен новый метод расчета затрат теплоты на процессы разделения жидких бинарных смесей методами перегонки. Проанализирован механизм внутреннего энергосбережения в процессах ректификации. Выявлены условия, повышающие энергосбережение при ректификации. Получена количественная оценка энергосбережения при увеличении флегмового числа.

Среди существующих методов разделения жидких бинарных смесей (кристаллизация, дистилляция, ректификация, мембранное разделение и др.) процессы перегонки являются одними из самых энергоёмких. На этот метод разделения идут в тех случаях, когда другие методы оказываются неприем-Энергоёмкость лемыми. процессов перегонки связана, прежде всего, с большой теплотой парообразования (по сравнению, например, теплотой плавления) компонентов разделяемой смеси. Среди методов перегонки наиболее энергосберегающим является метод ректификации, применяемый, как правило, при получении достаточно чистых продуктов. При ЭТОМ энергозатраты разделение на смеси зависят качества получаемых продуктов. Поэтому при разработке энергосберегающих процессов ректификации необходимо уметь количественно характеризовать качество разделения смеси на индивидуальные компоненты. Это позволит оценивать затраты энергии (теплоты) на процесс при заданном качестве разделения. Естественно, что эти затраты должны еще зависеть и от трудности разделения конкретной бинарной смеси.

Количественная оценка качества разделения бинарных смесей

Оценить качество разделения смеси на индивидуальные компоненты можно различными способами [1]: по выходам каждого компонента и чистоте каждого продукта разделения, на базе энтропийного критерия разделения и т. п.

Для бинарных смесей наиболее удобен технологический критерий разделения E, характеризующий одновременно чистоту и выход. Он представляет собой разность выходов в данный продукт целевого компонента и примеси. Найдём формулу для его расчёта применительно к ректификации бинарной смеси [2].

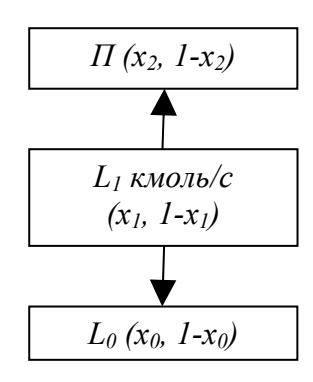


Рис.1 Схема разделения смеси на два продукта.

При разделении L_I бинарной смеси низкокипящего компонента (HKK) высококипящего (BKK) c концентрацией НКК в ней x_1 на верхний количестве П продукт преимущественным содержанием в нём $HKK - x_2$, и нижний продукт в количестве L_o с незначительным содержанием НКК x_0 (рис. 1) технологический критерий разделения E по верхнему продукту может быть найден следующим образом.

Из материальных балансов по смеси

$$L_1 - \Pi - L_0 = 0$$

и по НКК

$$L_1 x_1 - \Pi x_2 - L_0 x_0 = 0$$

находим:

$$\ddot{I} = L_1 \frac{x_1 - x_0}{x_2 - x_0} \tag{1}$$

Количество НКК в верхнем продукте равно Πx_2 , а его выход (по отношению к исходному содержанию $L_1 x_1$) составляет:

$$\frac{\Pi x_2}{L_1 x_1} = \frac{x_2}{x_1} \cdot \frac{x_1 - x_0}{x_2 - x_0} \tag{2}$$

Выход примеси (ВКК) в верхнем продукте соответственно:

$$\frac{II}{L_1} \cdot \frac{\mathbf{1} - x_2}{\mathbf{1} - x_1} = \frac{\mathbf{1} - x_2}{\mathbf{1} - x_1} \cdot \frac{x_1 - x_0}{x_2 - x_0}$$

Согласно определению критерия разделения E имеем:

$$E = \frac{(x_1 - x_0)(x_2 - x_1)}{x_1(1 - x_1)(x_2 - x_0)}$$
 (3)

Критерий разделения соответственно выражению (6) зависит лишь от концентрации НКК в исходной смеси и в получаемых продуктах (поскольку их количества также определяются концентрациями).

В частном случае симметричного разделения, когда $x_2 - x_1 =$

$$x_1 - x_0 = \frac{x_2 - x_0}{2}$$
 имеем и после сокращений

$$E = \frac{(x_2 - x_0)(x_2 - x_0)}{2 \cdot 2 \cdot x_1(1 - x_1)(x_2 - x_0)}$$
(4)

Из (4) видно, что при x_I =0.5 величина E= x_2 – x_0 , то есть в этом случае критерий разделения E численно совпадает с разностью конечных концентраций.

Оценка затрат теплоты при разделении бинарной смеси методом ректификации

Затраты теплоты в кипятильнике ректификационной колонны Q_{κ} связаны с отводом теплоты в конденсаторе $Q_{\kappa o H \partial}$ балансовым соотношением

$$Q_{\kappa} = Q_{\kappa O H \partial} + \Pi c_2 t_2 + L_0 c_0 t_0 - L_1 c_1 t_1$$
 (5)
где $Q_{\kappa O H \partial} = D r_2 = \Pi (R+1) r_2$.

Теплоты, подводимые и отводимые жидкостными потоками, примерно одинаковы [1]: $L_1c_1t_1 \approx \Pi c_2t_2 + L_oc_ot_o$.

Тогда из равенства (5) получаем $Q_{\kappa} \approx O_{\kappa O H \partial}$. Физически это означает: именно флегму, получаемую в конденсаторе, и надо испарять в кипятильнике; поэтому теплоты (подводимые и отводимые) в этих аппаратах примерно равны.

С допущением о равенстве Q_{κ} и $Q_{\kappa o \mu \partial}$ можно считать

$$Q_{\kappa} = \Pi(R+1)r_2 \tag{1}$$

Определим затраты теплоты при режиме работы колонны с минимальным флегмовым числом R_{\min} . Как отмечается в [3], наиболее экономичные реальные режимы ректификации по своим параметрам близки к режиму минимальной флегмы.

Учитывая равенство (1) и считая разделяемую смесь идеальной, то есть подчиняющейся закону Рауля и имеющей равновесную зависимость вида:

$$y^p = \frac{\alpha x}{1 + x(\alpha - 1)} \tag{2}$$

получим при минимальном флегмовом

числе
$$R_{\min} = \frac{x_2 - y_1^p}{y_1^p - x_1}$$
 выражение для

удельного расхода теплоты $q_{\kappa}^{\,\,\mathrm{min}}$ (на разделение 1 кмоля исходной смеси):

$$q_{\kappa}^{\min} \equiv \frac{Q_{\kappa}}{L_{1}} = \frac{x_{1} - x_{0}}{x_{2} - x_{0}} \left(\frac{x_{2} - y_{1}^{p}}{y_{1}^{p} - x_{1}} + 1 \right) r_{2} = r_{2} \frac{x_{1} - x_{0}}{x_{2} - x_{0}} \cdot \frac{x_{2} - x_{1}}{y_{1}^{p} - x_{1}}$$

$$(8)$$

Коэффициент относительной летучести α компонентов смеси, входящий в уравнение (7), изменяется, как известно

[1], от 1 (разделение в этом случае невозможно) до ∞ , когда второй компонент можно считать практически

нелетучим по сравнению с низкокипящим. Более удобной характеристикой разделяемости смеси, на наш взгляд, является параметр, определяемый в виде:

$$P \equiv \frac{\alpha - 1}{\alpha + 1} \tag{9}$$

и изменяющийся в пределах от 0 (при $\alpha = 1$) до 1 (при $\alpha = \infty$). Назовем его разделяемостью смеси. Из (9) получаем

$$\alpha = \frac{1+P}{1-P}$$

Подставляя в (7) найденное выражение для α , имеем:

$$y^{p} = \frac{(1+P)x}{1-P+2Px}$$

С учётом этой равновесной зависимости выражение (8) для q_{κ}^{\min} преобразуется

$$q_{\kappa}^{\min} = E \cdot r_2 \cdot \left(x_1 + \frac{1 - P}{2P} \right) \tag{3}$$

Прямо пропорциональная зависимость удельных затрат теплоты q_{κ}^{\min} от критерия разделения E и теплоты парообразования верхнего продукта r_2 логична и не требует дополнительных пояснений. Как следует из (10) на величину q_{κ}^{\min} влияет также состав исходной смеси x_1 и разделяемость исходной смеси P.

Чем меньше разделяемость смеси P, тем больше удельный расход теплоты q_{κ}^{\min} . При этом вклад x_I в величину выражения в скобках уменьшается и при малых P (P < 0.1) величиной x_I можно пренебречь. Тогда (при разделении трудно делимых смесей, то есть при коэффициентах относительной летучести компонентов менее 1.2).

$$q_{\hat{e}}^{\min} = E \cdot \frac{r_2}{2P} \tag{4}$$

то есть величина удельных затрат обратно пропорциональна разделяемости смеси P.

Для легко разделяемых смесей $(P \rightarrow 1)$, в том числе и при выпаривании растворов солей, удельный расход теплоты

$$q_{\hat{e}}^{\min} = E \cdot r_2 \cdot x_1 \tag{5}$$

Анализ энергосбережения при ректификации

Согласно (10) при одинаковой разделяемости смеси P удельный расход

теплоты увеличивается с увеличением концентрации x_I . Повышенные затраты теплоты при большем значении x_I подтверждены расчётом (см. значение Q_{κ} в сводной таблице) и формально объясняются большим значением потока пара в колонне $D=\Pi(R+1)$.

Следует обратить внимание на **меньшее** значение флегмового числа R при больших значениях x_1 и при этом **больших** затратах теплоты.

C целью выяснения причин такого «несогласования» (принято считать $Q_{\kappa} \sim R$) рассмотрим тепло- и массообмен на отдельных тарелках ректификационной колонны. Анализ проводим на примере теоретической тарелки, под которой понимается такой контакт пара и жидкости, при котором уходящие потоки находятся в равновесии.

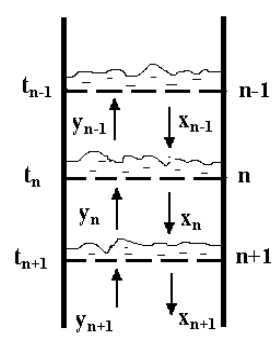


Рис. 2. Составы жидкости и пара и температуры на тарелках.

Ha рис. 2 x_n и y_{n-1} , x_{n+1} и y_n равновесные составы уходящих жидкости и пара, соответственно с n-ой и n+1-ой тарелок. Изображение процессов тарелке представлено в диаграммах у-х и t-y,х на рис. 3. Рабочая линия (линия I) укрепляющей части колонны связывает (сопряжённые) концентрации НКК в жидкости и паре: x_{n-1} и y_{n-1} , x_n и y_n , x_{n+1} и y_{n+1} и т.д. Изменение концентраций на тарелках характеризуется линиями со стрелками В диаграмме y-x, соответствующие ИМ изменения температур И фазовые переходы диаграмме t - x, y. Пар состава y_{n+1} приходящий на (n+1)-ую тарелку, частично конденсируется (точка Оставшийся пар состава у_п (точка 4) частично конденсируется на следующей пой тарелке (процесс 4 - 6), образуя жидкость состава x_n (точка 5). Жидкость

состава x_n , поступая на (n+1)-ую тарелку (здесь температура $t_{n+1} > t_n$), в свою очередь, испаряется (процесс 5 - 2) за счёт выделившейся на (n+1)-ой тарелке теплоты при конденсации пара. Полученный на n-ой тарелке пар (точка 8) состава y_{n-1} поступает на (n-1)-ую тарелку и т.д. Жидкость состава x_{n-1}, поступая на п-ю тарелку, также частично испаряется (до состояния, характеризуемого точкой 7) теплоты, выделяемой конденсации пара (процесс 4 - 6) на этой тарелке. При одинаковых (или близких) теплотах парообразования r компонентов смеси потоки пара D и жидкости L можно считать постоянными по высоте колонны. Количества сконденсировавшегося пара на (n+1)-ой и n-ой тарелках составляют D $\frac{3-4}{1-4}$ и D $\frac{6-8}{5-8}$ соответст венно. За счёт выделившейся при этом теплоты количество испаряемой жидкости на (n+1)-ой тарелке составляет L $\frac{1-2}{1-4}$ и на n-ой тарелке - L $\frac{5-7}{5-8}$. При одинаковых теплотах парообразования r:

$$D\frac{\overline{3-4}}{\overline{1-4}} = L\frac{\overline{1-2}}{\overline{1-4}}; D\frac{\overline{6-8}}{\overline{5-8}} = L\frac{\overline{5-7}}{\overline{5-8}}$$
 (13)

Из равенства (13) следует

$$\frac{L}{D} = \frac{\overline{3-4}}{\overline{1-2}} = \frac{\overline{6-8}}{\overline{5-7}}$$
 (14)

Поскольку в укрепляющей колонне L<D, то отрезок $\overline{3-4}$ всегда меньше отрезка $\overline{1-2}$, а $\overline{6-8} < \overline{5-7}$. Иными словами, доля конденсирующегося на тарелке пара меньше, нежели испаряемой жидкости. Таким образом, в укрепляющей колонне теплота используется многократно (на каждой тарелке), но лишь частично, так как даже при испарении всего потока флегмы конденсируется лишь часть пара.

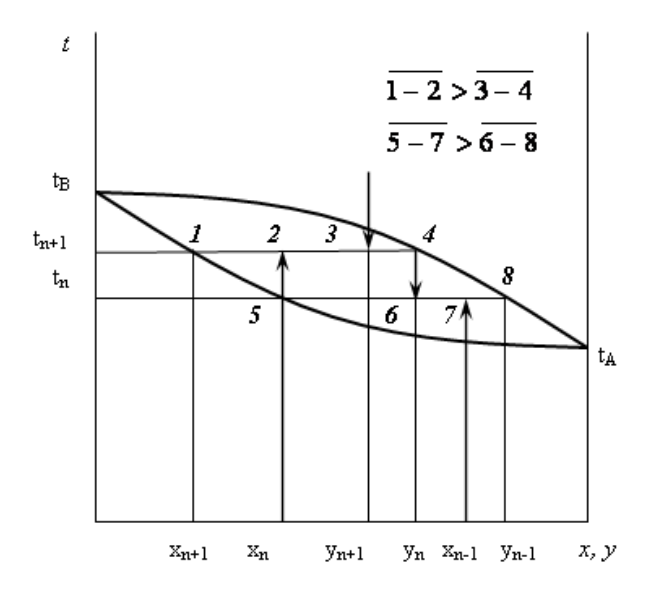
Так как
$$L=\Pi R$$
, а $D=\Pi (R+1)$, то $\frac{L}{D}=\frac{R}{R+1}$ и соотношение (14) запишется: $\frac{R}{R+1}=\frac{\overline{3-4}}{\overline{1-2}}=\frac{\overline{6-8}}{\overline{5-7}}$.

Чем меньше флегмовое число R, тем меньше соотношение отрезков 3-4 и 1-2 (точка 3 приближается к точке 4). При R=0 поток флегмы L=0, а значит, и пар не конденсируется (отрезок 3-4 в этом случае равен нулю). Это наименее выгодный (с точки зрения многократного использования пара) процесс перегонки.

Наоборот, при увеличении флегмового

числа R длина отрезка $\overline{3-4}$ приближается к длине отрезка $\overline{1-2}$. В предельном случае ($R=\infty$) длины отрезков $\overline{3-4}$ и $\overline{1-2}$ (и аналогичных им $\overline{6-8}$ и $\overline{5-7}$) становятся одинаковыми (рис. 4). Это значит, что при конденсации на очередной тарелке всего парового потока за счёт выделившейся теплоты испаряется равный ему поток жидкости. Очевидно, это самый выгодный (с точки зрения многократного использования пара) способ ведения процесса ректификации.

Здесь следует отметить, что затраты теплоты при ректификации с полным орошением $(R = \infty)$ на разделяемой исходной смеси, естественно, равны бесконечности. Поэтому специально увеличивать флегмовое число по всей целью колонне c приближения максимальному энергосбережению рекомендуется. Тем не менее, если за счет отбора теплоты (с последующим использованием) ОТ циркулирующего потока жидкости (циркуляционное орошение) происходит увеличение жидкостного потока В укрепляющей колонне, то это приводит в соответствии с установленными В данной закономерностями к увеличению энергосберегающего эффекта и в самой колонне. Такой эвристически найденный способ энергосбережения достаточно широко применяется при разделении нефти методом ректификации [4, 5].



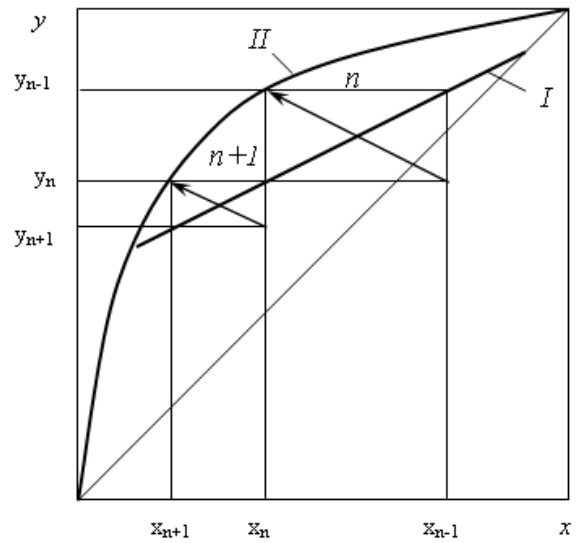


Рис.3. Процессы тепло- и массообмена на тарелках укрепляющей колонны. I – рабочая линия, II – равновесная линия.

В отгонной колонне поток жидкости L' больше парового D (рис. 5). На каждой тарелке конденсируется пар, испаряя лишь часть жидкости на тарелке. С точки зрения энергосбережения важно, что при D < L' весь пар может конденсироваться, производя новый поток пара. Поэтому энергосбережение в отгонной колонне можно считать максимальным.

Общий эффект энергосбережения в полной колонне (включающей укрепляющую и отгонную части), в первую очередь, зависит от условий работы укрепляющей колонны. Теперь становится ясным, почему требуются

большие затраты теплоты на ректификацию при одинаковых условиях разделения (критерий разделения E, число тарелок в колонне) для случая питания колонны исходной смесью состава x_I =0.8 мольн. доли (см. сводную таблицу). Здесь флегмовое число R=0.772 значительно меньше, чем в другом варианте: x_I =0.2 мольн. доли и R=4.333.

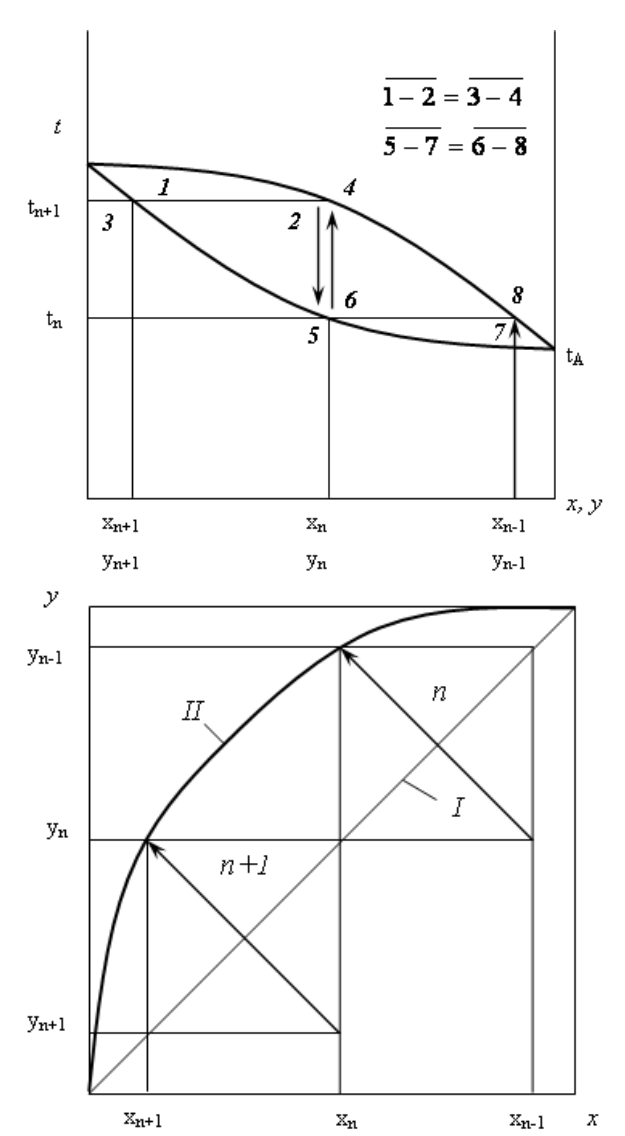
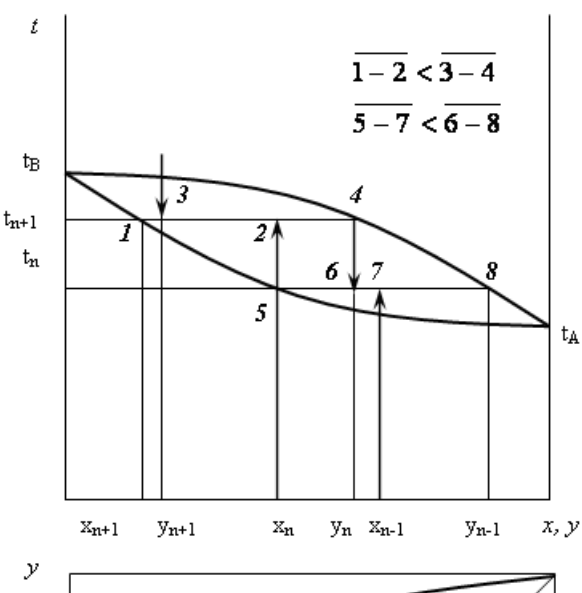


Рис. 4. Процессы тепло- и массообмена при $R = \infty$.

При разработке энергосберегающих схем ректификации важно использовать энергосбережения возможности как внутри колонны, так и вне её. При «внешнем» энергосбережении технологический поток пара из колонны часто используют качестве греющего сжатия кипятильнике после его В компрессоре турбо-(чаще компрессоре).



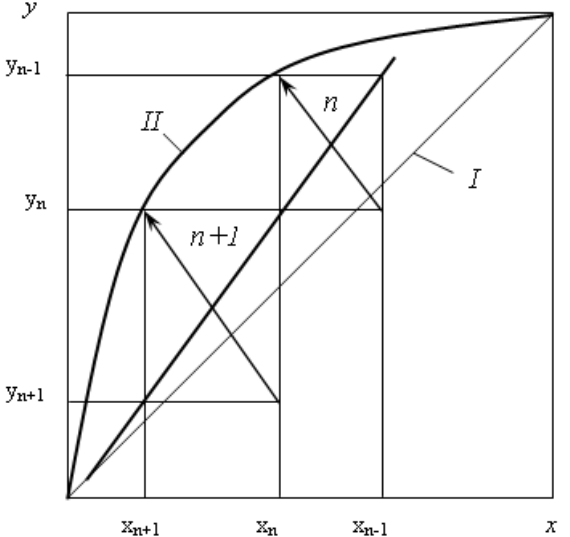


Рис. 5. Процессы тепло- и массообмена на тарелках отгонной колонны.

При большой разности температур кипения верхнего и нижнего продуктов энергосбережения такой способ (получивший название теплового насоса) становится малоэффективным высокой степени сжатия паров компрессоре, и, следовательно, больших затрат энергии в нем. В этом случае предложена [6] схема (рис. 6) c промежуточным кипятильником 3_{π} . Жидкость с одной из промежуточных тарелок поступает в кипятильник 3_п. Образующиеся в нём потоки пара и жидкости возвращаются обратно в колонну 1 ПОД на соответствующие тарелки. И Недостающий тепловой поток Q_{κ}^{+} поступает в кипятильник 3. Чем выше давление паров, сжатых в компрессоре 4,

тем ближе к нижнему сечению колонны будет располагаться узел отбора жидкости. При этом будет затрачиваться больше энергии на сжатие паров, меньший тепловой поток будет поступать колонну через кипятильник Определение относительного паров на выходе из компрессора требует совместного расчёта всех элементов ректификационной установки, снабжённым тепловым насосом.

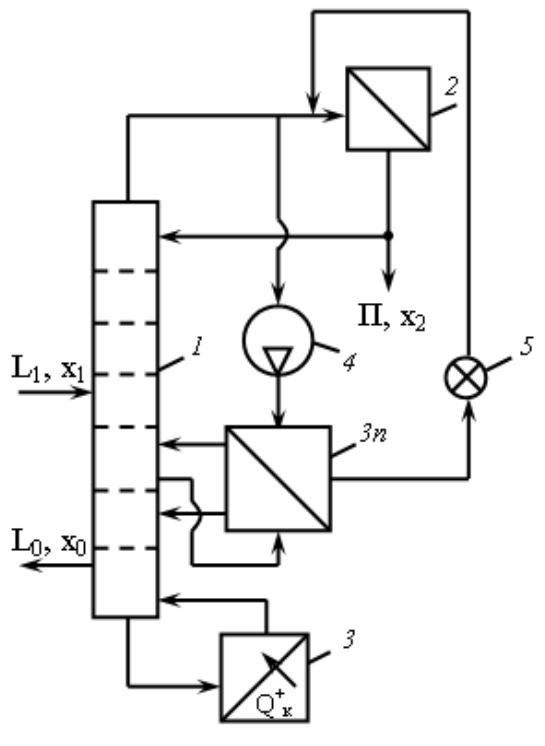


Рис. 6. Энергосберегающая схема ректификационной установки. 1 – колонна, 2 – конденсатор, 3 – кипятильник, 3 п – промежуточный кипятильник, 4 – турбокомпрессор, 5 – дроссельный вентиль.

В этой схеме важно образование в отгонной колонне дополнительного парового потока за счёт промежуточного кипятильника тем самым, И, «подключение» внутреннего энергосбережения внешнему тепловому насосу. Как было показано ранее, улучшение энергосбережения при связано с увеличением ректификации количества конденсирующегося тарелках пара и повышенной кратностью актов конденсация – испарение.

Величина	$x_I = 0.2$	$x_I = 0.8$	$x_I = 0.3$	$x_1 = 0.7$	$x_1 = 0.4$	$x_1 = 0.6$
Критерий разделения E	0.9141		0.9444		0.9566	
Флегмовое число R	4.333	0.772	2.890	1.012	2.143	1.279
Коэффициент избытка флегмы	1.3	1.21	1.3	1.24	1.3	1.28
Поток продукта Π , кг/с	0.165	0.787	0.260	0.675	0.359	0.566
Поток пара из колоны $D=\Pi(R+1)$, кг/с	0.878	1.395	1.011	1.357	1.127	1.289
Поток флегмы L = ΠR , кг/с	0.713	0.608	0.751	0.683	0.769	0.724
Поток теплоты (по формуле 8) Q_{κ} , кВт	351	554	406	545	453	516
Поток теплоты (по формуле 9) $Q_{\kappa OHO}$, к B т	345	548	398	534	443	507
Относительная летучесть α	2.4516	2.5278	2.4383	2.5069	2.4370	2.5079
Разделяемость смеси Р	0.4206	0.4331	0.4183	0.4297	0.4198	0.4299
Минимальный расход теплоты (по формуле 14) q_{κ}^{\min} , кВт	319	523	370	506	412	475
Отношение $Q_{\kappa}/{q_{\kappa}}^{\mathrm{min}}$	0.909	1.059	1.099	1.077	1.099	1.086

ЛИТЕРАТУРА:

- 1. Айнштейн, В.Г. Общий курс процессов и аппаратов химической технологии. Кн. 2. В. Г. Айнштейн, М. К. Захаров., В. В. Носов. М.: Логос, Физматкнига, 2006. 827 с.
- 2. Захаров, М. К. О затратах теплоты при разделении бинарных смесей методами перегонки / М. К. Захаров, Н. В. Ряднинская // Вестник МИТХТ. 2006. № 2. С. 62-66.
- 3. Петлюк, Ф. Б. Многокомпонентная ректификация. Теория и расчет / Ф. Б. Петлюк, Л. А. Серафимов. М. : Химия, 1983. 304 с.
- 4. Процессы и аппараты нефтегазопереработки и нефтехимии: Учебник для вузов / А. И. Скобло [и др.] М.: ООО «Недрабизнесцентр», 2000. 677 с.
- 5. Багатуров, С. А. Основы теории и расчета перегонки / С. А. Багатуров. М. : Химия, 1974.-440 с.
- 6. New Energy Conservation Technologies and Their Commercialization: Proc. of an Intern. Conf., Berlin, 6-10 April, 1981. Berlin. -1161 p.

УДК 543.54

ИСПОЛЬЗОВАНИЕ МАТЕМАТИЧЕСКОЙ МОДЕЛИ ХРОМАТОГРАФИЧЕСКОЙ КОЛОНКИ ДЛЯ ОБРАБОТКИ ХРОМАТОГРАММ С ПЕРЕКРЫВАЮЩИМИСЯ ПИКАМИ

А.В. Анисимов, П.Г. Румянцев, В.И. Жучков

редлагается методика обработки неразделенных хроматографических пиков, использующая математическую модель хроматографической колонки. Методика позволяет рассчитать состав исследуемой смеси даже для полностью перекрытых пиков.

Проблема обработки неразделенных пиков давно известна в хроматографии. Для её решения предложено несколько методик [1–3]. Эти методики, являясь по своей сути чисто эмпирическими, дают достаточно хорошие результаты только тогда, когда перекрывание пиков составляет не более 30%.

В данной работе предлагается принципиально другой подход, основанный математическом моделировании процессса хроматографического разделения. Располагая математической моделью хроматографической колонки, можно воспроизводить ситуацию перекрывания пиков анализируя влияние параметров модели на форму хроматограммы, найти способы ее обработки, позволяющие обходить это явление.

Ограничимся рассмотрением только газожидкостной хроматографии, т.к. идея метода остается той же самой для любых вариантов хроматографического анализа. Начнем с разработки математической модели хроматографической Примем, что газ-носитель движется через слой сорбента в поршневом режиме, т.е. без продольного перемешивания потока. Запишем материальный баланс элементарного объема хроматографической колонки согласно схеме, изображенной на рис. 1.

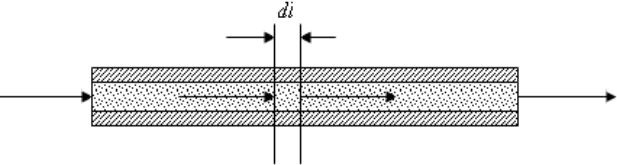


Рис. 1. Схема движения газа — носителя через хроматографическую колонну.

$$\begin{cases} v\mathbf{y}dt - \left(v\mathbf{y} + \frac{\partial(v\mathbf{y})}{\partial l}dl\right)dt - Sdl\omega aK(\mathbf{p} - \mathbf{p}^*(\mathbf{x}))dt = Sdl\varepsilon\frac{\partial\mathbf{y}}{\partial t}dt \\ Sdl\omega aK(\mathbf{p} - \mathbf{p}^*(\mathbf{x}))dt = Sdl\omega\frac{d\mathbf{x}}{dt}dt \end{cases}$$
(1)

где: $v\left[\frac{mn}{ce\kappa}\right]$ — объемный расход газа-носителя; $\boldsymbol{y}\left[\frac{z}{mn}\right]$ — концентрация компонентов в потоке; $\boldsymbol{x}\left[\frac{z}{z_{a\delta}}\right]$ — содержание поглощенных компонентов; $\boldsymbol{p}\left[am\right]$ — парциальные давления компонентов; $\boldsymbol{p}^*\left[am\right]$ — равновесные парциальные давления компонентов; $\boldsymbol{S}\left[cm^2\right]$ — поперечное сечение колонки; $\boldsymbol{\omega}\left[\frac{z}{mn}\right]$ — насыпная плотность сорбента; $\boldsymbol{a}\left[\frac{cm^2}{z}\right]$ — удельная поверхность сорбента; $\boldsymbol{\varepsilon}\left[\frac{cm^3}{cm^3}\right]$ — доля свободного объема сорбента; $\boldsymbol{K}\left[\frac{z}{(cm^2 \cdot am \cdot ce\kappa)}\right]$ — диагональная матрица коэффициентов массопередачи.

Будем считать, что все компоненты в колонке подчиняются законам идеальных газов: $pv = \frac{Q}{M}RT$, $R = 0.082057 \frac{n \cdot am}{MOЛЬ \cdot {}^0K}$

где Q — массовый расход носителя (газа); M — молекулярная масса носителя, отсюда объемный расход носителя: $v = \frac{Q}{M} \cdot \frac{RT}{n}$.

Будем считать, что гидравлическое сопротивление колонки прямо пропорционально длине, причем $p_{_{\it H}}$ и $p_{_{\it K}}$ — начальное и конечное давления на концах колонки. Тогда давление в любой точке колонки будет равно:

 $p = p_{_H} - (p_{_H} - p_{_K})z$, где z — безразмерная длина колонки (z = l/L). Теперь объемный расход газа-носителя по длине колонки можно выразить так: $v = \frac{Q}{M}RT \frac{l}{p_{_H} - (p_{_H} - p_{_K})z}$

Равновесие газ-сорбент будем описывать законом Генри

$$p^*(x) = Ex ,$$

где E — диагональная матрица коэффициентов Генри для всех компонентов смеси.

После преобразования системы (1) получим:

$$\begin{cases} -\frac{\partial(vy)}{\partial l} - S\omega a K \left[p - p^*(x) \right] dt = S\varepsilon \frac{\partial y}{\partial t} \\ a K \left[p - p^*(x) \right] = \frac{dx}{dt} \end{cases}$$
 (2)

Рассмотрим производную $\frac{\partial(vy)}{\partial l}$:

$$\frac{\partial(vy)}{\partial l} = v \frac{\partial y}{\partial l} + y \frac{\partial v}{\partial l}$$

Теперь, преобразуя (2) к безразмерному по длине виду, получим:

$$\begin{cases} -v\frac{\partial y}{\partial z} - y\frac{\partial v}{\partial z} - V\omega aK[\mathbf{p} - \mathbf{p}^*(\mathbf{x})] = V\varepsilon \frac{\partial y}{\partial t} \\ aK[\mathbf{p} - \mathbf{p}^*(\mathbf{x})] = \frac{d\mathbf{x}}{dt} \end{cases}$$
(3)

Выразим парциальное давление *j*-го компонента через его концентрацию в потоке. Из уравнения Менделеева – Клапейрона имеем:

$$p_j v = \frac{g_j}{M_j} RT \rightarrow p_j = \frac{g_j}{v} \cdot \frac{RT}{M_j} = \frac{y_j}{M_j} RT$$

Подставляя это выражение в (3), получим:

$$\begin{bmatrix}
\frac{\partial \mathbf{y}}{\partial t} = -\frac{\mathbf{v}}{V\varepsilon} \frac{\partial \mathbf{y}}{\partial z} - \frac{1}{V\varepsilon} \frac{\partial \mathbf{v}}{\partial z} \mathbf{y} - \frac{\omega a}{\varepsilon} K \left[\frac{RT}{M} \mathbf{y} - \mathbf{p}^*(\mathbf{x}) \right] \\
\frac{d\mathbf{x}}{dt} = aK \left[\frac{RT}{M} \mathbf{y} - \mathbf{p}^*(\mathbf{x}) \right]$$
(4)

где
$$v = \frac{Q}{M}RT \frac{I}{p_u - (p_u - p_v)z}$$
;

$$\frac{\partial v}{\partial z} = \frac{Q}{M}RT \frac{p_{H} - p_{K}}{\left[p_{H} - \left(p_{H} - p_{K}\right)z\right]^{2}} =$$

$$= v \frac{p_{_{H}} - p_{_{K}}}{[p_{_{H}} - (p_{_{H}} - p_{_{K}})z]} = \frac{v}{p} (p_{_{H}} - p_{_{K}})$$

Рассмотрим последние выражения более подробно. Зная объемный расход газа-носителя в условиях лаборатории ($t_0 \approx 20^{\circ} C$; $P_0 \approx l \, am$), можно найти массовый расход Q:

$$p_0 v_0 = \frac{Q}{M} RT_0; Q[\varepsilon/ce\kappa] = \frac{p_0 v_0 M}{R(t_0 + 273.15)}$$

По массовому расходу носителя находим объемный расход при рабочей температуре колонки и давлениях на входе и выходе из нее, т.е. находим закон изменения объемного расхода по безразмерной длине колонки:

$$v = \frac{QRT}{M} \cdot \frac{1}{p_{\mu} - (p_{\mu} - p_{\kappa})z} = \frac{p_{0}v_{0}M}{R(t_{0} + 273.15)} \cdot \frac{RT}{M} \cdot \frac{1}{p_{\mu} - (p_{\mu} - p_{\kappa})z} = \frac{pvT}{t_{0} + 273.15} \cdot \frac{1}{p_{\mu} - (p_{\mu} - p_{\kappa})z}$$

$$\frac{\partial v}{\partial z} = \frac{p_0 v_0 T}{t + 273.15} \cdot \frac{p_n - p_\kappa}{\left[p_n - (p_n - p_\kappa)z\right]^2} = v \cdot \frac{1}{p} \cdot \frac{dp}{dz}, \qquad \left[\frac{dp}{dz} = -(p_n - p_\kappa)\right]$$

Подставляя эти выражения в (4), получим:

$$\begin{cases} \frac{\partial \mathbf{y}}{\partial t} = -\frac{v}{V\varepsilon} \frac{\partial \mathbf{y}}{\partial z} + \frac{v}{V\varepsilon} \cdot \frac{1}{p} \cdot \frac{dp}{dz} \, \mathbf{y} - \frac{\omega}{\varepsilon} aK \left(\frac{RT}{M} \, \mathbf{y} - \mathbf{E} \mathbf{x} \right) \\ \frac{d\mathbf{x}}{dt} = aK \left(\frac{RT}{M} \, \mathbf{y} - \mathbf{E} \mathbf{x} \right) \end{cases}, \tag{5}$$

где Ex заменяет $p^*(x)$ в соответствие с законом Генри.

Для того, чтобы из системы (5) выделить единственное решение, дополним ее начальными и граничными условиями, которые заключаются в следующем:

- 1) в момент времени t = 0 хроматографическая колонка содержит внутри себя только газ-носитель;
- 2) анализируемая проба вводится на вход колонки в виде δ -функции Дирака в момент времени t=0.

Первое условие записывается так:

$$t = 0 \qquad \begin{cases} y(0, z) = 0 \\ x(0, z) = 0 \end{cases}$$

а второе – так:

$$z = 0$$

$$\begin{cases} \mathbf{y}(t,0) = \frac{\mathbf{g}}{v} \, \delta(t) \\ \mathbf{x}(t,0) = 0 \end{cases}$$
, где \mathbf{g} –

вектор количеств компонентов, вводимых в колонку

По своей математической классификации система (5) относится к уравнениям переноса [4]. Её решение представляет собой бегущую волну. Решение таких систем в аналитической форме удается получить довольно редко. Обычно их интегрируют численно.

Для системы (5) с начальными и граничными условиями, приведенными выше, был разработан численный метод, позволяющий получить зависимости концентраций от времени на выходе из колонки. Система (5) содержит ряд параметров, которые необходимо задавать при расчете. Эти параметры определяют размеры колонки, физико-химические свойства разделяемых компонентов. сорбента и нанесенной на него жидкой фазы, устанавливают также интенсивность процесса массообмена потоком газа-носителя между сорбентом.

Все параметры, кроме коэффициентов массопередачи, могут быть определены помошью достаточно независимо c Коэффициенты простых методик. массопередачи ОТ физикозависят химических веществ, свойств сорбента, характеристик OT рабочих температур и давлений, от геометрических размеров колонки, режимов движения газа-носителя и от того, как колонка сорбентом. заполнена Поэтому коэффициенты массопередачи следует оценивать по экспериментальным данным, полученным для каждой конкретной колонки. Для этого в колонку вводится чистое индивидуальное вещество и по снятой ДЛЯ него хроматограмме использованием метода наименьших (MHK) квадратов оценивается коэффициент массопередачи для данного компонента. Таким же способом можно определять и константу Генри, которая может меняться в процессе эксплуатации колонки (впрочем, как и коэффициент массопередачи).

Рассмотрим методику оценки коэффициентов массопередачи и констант Генри. Составим функцию квадрата разности между рассчитанной и экспериментальной хроматограммами для каждого чистого компонента:

$$\Phi(aK; E) = \int_{0}^{\infty} \left[y_{\text{\tiny GbLX}}^{3} - y_{\text{\tiny GbLX}}^{p} \right]^{2} dt \rightarrow min$$

Очевидно, что функция зависит только от aK и E. Найдем её минимальное значение, варьируя эти величины. Это можно сделать численным поиском минимума $\Phi(aK,E)$ или дифференцируя функцию по aK и E и приравнивая производные нулю, с последующим решением получившейся системы уравнений:

$$\frac{\partial \Phi}{\partial (aK)} = 2 \int_{0}^{\infty} \left[y_{\text{\tiny BblX}}^{3} - y_{\text{\tiny BblX}}^{p} \right] \left(-\frac{\partial y_{\text{\tiny BblX}}^{p}}{\partial (aK)} \right) dt = 0$$

$$\frac{\partial \Phi}{\partial E} = 2 \int_{0}^{\infty} \left[y_{\text{\tiny BblX}}^{3} - y_{\text{\tiny BblX}}^{p} \right] \left(-\frac{\partial y_{\text{\tiny BblX}}^{p}}{\partial E} \right) dt = 0$$

После того, как для индивидуальных анализируемой компонентов определены все неизвестные параметры математической модели, используя эту модель, находить состав пробы, даже если на хроматограмме совсем не просматриваются анализируемых веществ. Для этого также используется метод наименьших квадратов.

Анализируя возможную аналитическую структуру решения, можно установить, что для отдельного компонента на выходе из колонки она будет иметь вид:

$$y_i^{\text{вых}}(t) = g_i f_i(t),$$

где g_i – количество i-го вещества в пробе.

Суммарный сигнал на выходе из колонки будет иметь вид:

$$S = \sum_{i=1}^{n} C_i g_i f_i(t),$$

где i — номер компонентов, C_i — коэффициент, характеризующий чувствительность датчика к i-му веществу (определяется экспериментально).

Тогда, используя МНК, можно записать:

$$\Phi(\mathbf{g}) = \int_{0}^{\infty} \left[S_{_{\mathcal{H}C}} - \sum_{i=1}^{n} C_{i} g_{i} f_{i}(t) \right]^{2} dt \rightarrow min$$

Дифференцируя $\Phi(\mathbf{g})$ по \mathbf{g}_i и приравнивая производные нулю, получим систему линейных алгебраических уравнений, решив которую, можно найти все \mathbf{g}_i .

Методика будет работать, если в анализируемой смеси нет компонентов с очень близкими значениями K_i и E_i . На основе предлагаемой методики можно разрабатывать скоростные методы хроматографического анализа на коротких колонках.

ЛИТЕРАТУРА:

- 1. Гуревич, А. Л. Автоматизация обработки хроматографической информации / А. Л. Гуревич, Л. А. Русинов, Л. А. Коломыцев. М.: Энергия, 1973. 112 с.
- 2. Новак, Й. Количественный анализ методом газовой хроматографии / Й. Новак. М.: Мир, 1978. 180 с.
- 3. Коган, Л. А. Количественная газовая хроматография / Л. А. Коган. М. : Химия, 1975.-180 с.
- 4. Самарский, А. А. Теория разностных схем / А. А. Самарский. М. : Наука, 1989. 616 с.

УДК 535.232.61.616.5-001.15

О КИНЕТИКЕ РОСТА ЭМУЛЬСИОННОГО СЛОЯ НА ГРАНИЦЕ ЖИДКОСТЬ – ЖИДКОСТЬ В УСЛОВИЯХ КОНТРОЛИРУЕМОЙ КОНВЕКЦИИ

Е.В. Еськова, Г.А. Григорьев, М.С. Еськов

ассмотрена кинетика роста межфазного слоя на примере взаимодействия олеиновой кислоты и щелочи в условиях контролируемой конвекции. Изучена зависимость роста слоя микроэмульсии от температуры. Определены эффективные энергии активации сложного гетерогенного процесса

Процесс самоэмульгирования и роста межфазного слоя на границе жидкостьжидкость изучался многими исследователями [1 - 5]. Чаще всего для получения эмульсий устойчивых используют введение раздельное компонентов водную и масляную фазы. Для получения устойчивой эмульсии используют реакцию образования эмульгатора (мыла) межфазной границе В условиях интенсивного перемешивания. При этом получается эмульсия, используемая в промышленности различных отраслях (фармацевтика, косметология, нефтехимия, пищевая промышленность).

Проследить механизм образования межфазного слоя в таких условиях в настоящее время представляется не возможным. Имеются отдельные данные, указывающие на диффузионный характер контроля этого сложного гетерогенного процесса [1]. В работах [5] показано, что снижение межфазного натяжения системе вода - масло при протекании реакции образования воды на межфазной границе существенно зависит от степени ионизации эмульгатора (олеиновой кислоты). Было показано также, что величина минимального межфазного натяжения на границе масло – вода, при поддержании постоянных значений ионной силы, зависит от исходного рН водного раствора Сильное щелочи. снижение межфазного натяжения приводит увеличению скорости самодиспергирования. Поскольку, как показано в работе [6], межфазное натяжение в этом процессе играет роль энергии активации. Можно ожидать, кинетику что на роста эмульсионного слоя будут влиять, по

крайней мере, два фактора, степень ионизации олеиновой кислоты на границе раздела фаз и термодинамические параметры протекающей реакции.

В работах [7, 8] было показано, что в системах, где на межфазной границе массоперенос осуществляется ИЛИ химическая реакция, происходит резкое снижение межфазного натяжения. Причем снижение зависит от изменения величины и знака свободной энергии. Это, в свою очередь, приводит к увеличению скорости роста слоя в случае $\Delta F < 0$ и практически нулевой скорости $\Delta F > 0$. Такие явления наблюдаются системах, в которых введение ПАВ осуществляется в фазу c меньшей растворимостью и стремится перейти в фазу с более высокой растворимостью (константа распределения K >> 1 и $\Delta F < 0$). Как видно из рис. 1 в этом случае образуется интенсивно растет И эмульсионный слой. При введении ПАВ в фазу с высокой растворимостью ($K << 1, \Delta F > 0$) образование слоя практически не происходит.

Более интенсивный рост эмульсионного слоя происходит при протекании химической реакции межфазной границе, когда вводится в масляную фазу, а щелочь - в водную. Такой прием часто применяется в практике изучения эмульсий. Во всех определяющим случаях является исходное межфазное натяжение границе масло-вода, a динамическое межфазное натяжение условиях В протекания процесса на межфазной границе, которое можно связать, как показано в работе [7], с термодинамическими параметрами процесса.

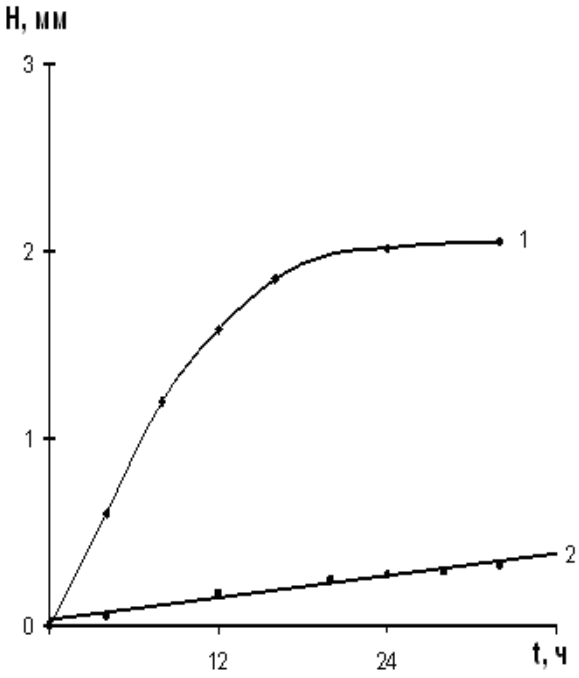


Рис. 1. Нарастание слоя эмульсии на границе декан–вода при введении ПАВ в различные фазы: 1 – из воды; 2 – из масла (ПАВ – олеиновая кислота)

Однако указанный выше прием осуществляется в условиях интенсивного перемешивания, когда проследить межфазной процессами на границе практически невозможно. В связи с этим в настоящей работе сделана попытка исследовать процессы на межфазной условиях контролируемой границе В конвекции. Для подавления конвекции использованы тонкие капилляры d ≈ 1мм. Было предварительно показано, что в вертикальных капиллярах такого диаметра конвективное перемешивание чески отсутствует. При этом более легкая фаза (масло) находится в верхней части капилляра, а более тяжелая (вода) - в нижней его части, что в условиях термостатирования соответствует достаточно большим критериям Грасгоффа, при конвекция которых В объеме фаз практически отсутствует. Следует отметить, что при низких значениях межфазного натяжения динамического граница теряет устойчивость, тепловые флуктуации замыкаются, что и приводит к образованию эмульсии. Рост эмульсии будет зависеть от массопереноса компонентов к межфазной границе и скорости химической реакции. Именно

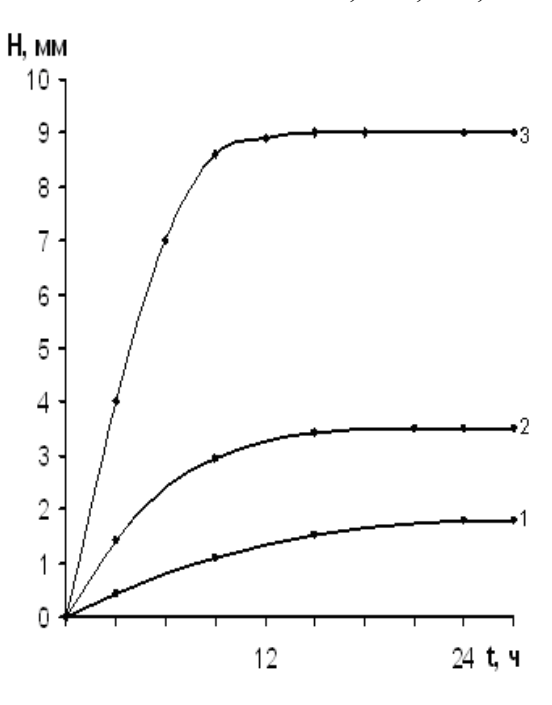


Рис. 2. Кинетика нарастания слоя эмульсии на границе декан-вода в зависимости от типа катиона $1-\mathrm{Na}^+;\,2-\mathrm{K}^+;\,3-\mathrm{Li}+$ (ПАВ — олеиновая кислота).

химическая реакция вызывает резкое снижение межфазного натяжения до уровня, когда возможно самодиспергирование.

Согласно Франк-Каменецкому [9] сопротивление гетерогенного процесса определяется сопротивлением массопереноса в фазе «масло» и фазе «вода» и самой скоростью химической реакции. Поэтому можно записать:

$$\frac{1}{\hat{E}_{\tilde{a}\hat{a}\hat{o}}} = \frac{1}{\beta_{\hat{I}}} + \frac{1}{\beta_{\hat{A}}} + \frac{1}{\hat{E}_{\tilde{o}.\delta.}}$$
(1)

где $\frac{1}{\hat{E}_{\tilde{a}\hat{a}\hat{o}}}$ — сопротивление гетерогенного

процесса в целом; $\frac{1}{\beta_i}$ — сопротивление

массопереносу в масляной фазе; $\frac{1}{\beta_{\hat{A}}}$ — сопротивление массопереносу в водной

фазе; $\frac{1}{\hat{E}_{\delta.\delta.}}$ – сопротивление самой

химической реакции.

Такой подход к сложному гетерогенному процессу позволяет выделить в разном температурном интервале лимитирующее звено процесса. При высокой температуре лимитирующим

звеном будет массоперенос, а при низкой может обнаруживаться вклад скорости самого химического процесса, что можно оценить ПО величине эффективной энергии активации (более низкий для массопереноса и более высокий для химической реакции). Проследить это по известным литературным данным [1, 3] не как скорость так эмульсионного слоя изучалась только при одной или не более двух температурах. Поэтому в настоящей работе была поставлена задача определить энергию активации на разных участках зависимости, температурной а также сопутствующие оценить, как влияют поверхностно — активному аниону олеиновой кислоты катионы ${\rm Li}^{^+},\ {\rm Na}^{^+},\ {\rm K}^{^+}$ лиотропного ряда на скорость роста эмульсионного слоя.

Предварительно было показано, что для одного и того же поверхностно активного аниона олеиновой кислоты с разными сопутствующими катионами в

Li⁺, Na^{+} монподтоил ряду поверхностная активность на межфазной границе, не одинакова. Результат влияния сопутствующего иона на скорость роста межфазного эмульсионного представлен на рис. 2. Из рисунка видно, что скорость роста эмульсионного слоя от природы сопутствующего зависит Сопутствующие катиона. катионы образуют на границе раздела фаз ионную пару с ионизированной частью олеиновой Влияние ионной межфазное натяжение зависит от радиуса катиона. Это влияние онжом характеризовать величиной электростатического потенциала катиона ф:

$$\varphi = \frac{q}{4\pi \cdot \varepsilon_a \cdot r} \tag{2}$$

где q — заряд катиона, ε_a — абсолютная диэлектрическая проницаемость среды, r — радиус катиона. Результаты расчета ϕ для Li^+ , Na^+ , K^+ приведены в табл. 1.

Таблица 1. Физико-химические характеристики ионов щелочных металлов в стандартных условиях (при 25°C).

Символ	Порядковый номер	Атомный вес, у.е.	Кристалло- химический радиус г, м ⁻¹¹	Радиус гидратирован- ного иона г, м ⁻¹¹	Теплота гидратации $\Delta_{ m f} { m H}^0$, кДж/моль	Степень гидратации	Потенциал эффективный, образуемый ионом, ф, В
Li ⁺	3	6.9	6	37	-278.14	7	0.3
Na^+	11	23	9.5	33	-239.43	5	0.19
Li ⁺ Na ⁺ K ⁺ Cs ⁺	19	39	10.6	34	-250.97	5.5	0.17
Cs ⁺	35	133	12.3	34	-247.46	5.5	0.15

Величина ф характеризует интенсивэлектростатического поля ность следовательно, степень гидратации катиона, что в свою очередь влияет на ДЭС и как результат на межфазное скорость самоэмульгинатяжение И рования. То есть увеличение атомного радиуса приводит к снижению потенциала ф и степени гидратации. Таким образом можно установить корреляцию между скоростью роста эмульсионного слоя и потенциалом сопутствующего катиона. Результаты приведены на рис. 3. Как следует рисунка, между ЭТИМИ линейная величинами существует

зависимость с коэффициентом корреляции $R^2 \approx 0.9$. Это позволяет считать, что предложенная схема влияния сопутствующих катионов на скорость роста межфазного эмульсионного слоя вполне правдоподобна.

Для выяснения лимитирующего звена этого сложного гетерогенного процесса были проведены эксперименты в присутствии в водной фазе одного из катионов (K^+) , но в достаточно широком интервале температур. Результаты представлены на рис. 4. Видно, что скорость роста эмульсионного слоя с увеличением температуры существенно

возрастает. Эти данные при использовании метода пропорциональных отрезков Кноррэ [10] позволяют оценить эффективную энергию активации Еэф. При этом выбирался некоторый уровень

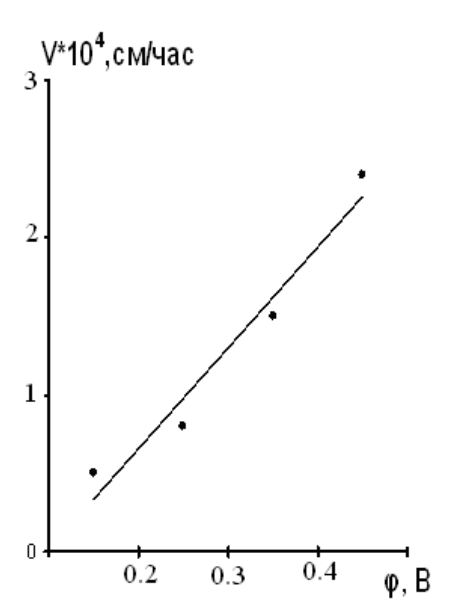


Рис. 3. Зависимость скорости роста эмульсионного слоя от ионного потенциала.

Представляя зависимость Ln æ от обратной температуры, по тангенсу угла этой прямой определяется эффективная энергия активации процесса. Зависимость Ln æ от 1/Т представлена на рис. 5. Как следует из рисунка, экспериментальным данным онжом провести, достаточно надежным коэффициентом корреляции $R^2 = 0.8 - 0.9$, две прямые, имеющие различные наклоны, что соответствует разным эффективной энергии значениям активации. При высоких температурах Еэф.= 18810 Дж/моль и при низких Еэф. = 58520 Дж/моль. Известно, что в гетерогенном процессе при высоких температурах лимитируется диффузионмассоперенос ный компонентов реакционной зоне гетерогенной реакции. Для диффузии компонентов в жидкости энергии активации обычно составляет Еэф. ≈ 5000 кал./моль, поэтому полученная нами величина Еэф.= 18810 Дж/моль указывает на то, что в этом интервале температур лимитирующим является диффузионный массоперенос, что также отмечалось и в других работах [1, 3].

скорости и рассматривалось ее относительное изменение с температурой.

$$\mathbf{æ} = \mathbf{æ}_0 \cdot \mathbf{e}^{-\mathbf{E}_{\mathbf{3}\phi}/\mathbf{R}\mathbf{T}} \tag{3}$$

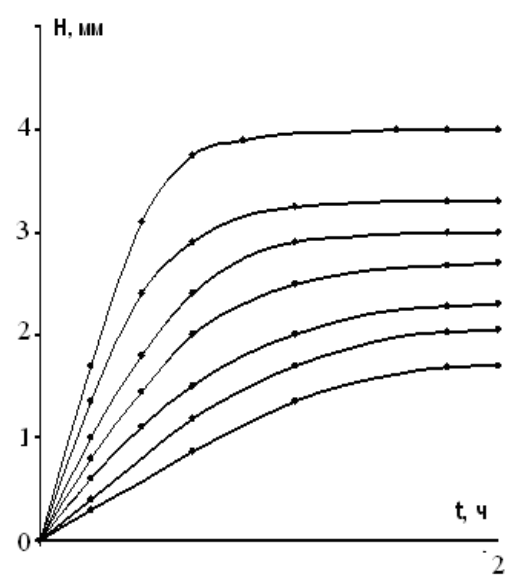


Рис. 4. Кинетика нарастания слоя микроэмульсии на границе декан-вода при различных температурах: 1-1°C; 2-2°C; 3-5°C; 4-10°C; 5-20°C; 6-25° C; 7-50°C.

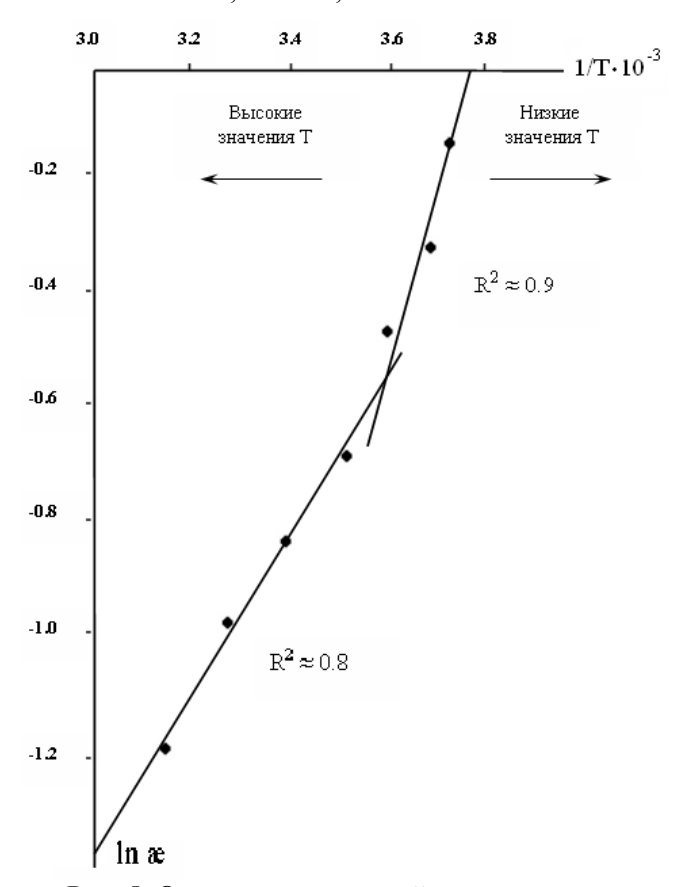


Рис. 5. Определение энергий активации гетерогенного процесса при различных температурах.

Однако величина эффективной энергии активации при низкой температуре Еэф.= 58520 Дж/моль указывает на то, что в этом интервале температур наблюдается вклад и самого химического процесса, протекающего на межфазной границе.

Выводы

- 1. При исследовании скорости роста межфазного слоя в условиях протекания на межфазной границе химической реакции установлено, что скорость зависит от термодинамических параметров реакции.
 - 2. Установлено, что на скорость роста

- межфазного слоя оказывают природа сопутствующих катионов. При установлена между ЭТОМ корреляция скоростью процесса И величиной потенциала катиона, образующего ионизированной частью олеиновой кислоты ионную пару.
- 3. Исследование энергии активации процесса показало, что при высоких температурах лимитирующим звеном гетерогенного процесса является диффузия, а при более низкой обнаруживается вклад в энергию активации химического процесса, протекающего на межфазной границе.

ЛИТЕРАТУРА:

- 1. Симакова, Г. А. Микроэмульгирование и его роль в процессе эмульсионной полимеризации гидрофобных мономеров : Дис...док. хим. наук : 02.00.11 : защищена 10.03.90 / Симакова Галина Александровна. Москва, 1990. 250 с.
- 2. Тарасов, В. В. Динамический межфазный слой при жидкостной экстракции / В. В.Тарасов // Структурообразование и межфазные явления в системах жидкость жидкость : сб. трудов симпозиума, Москва, 11 окт. 2001. М., 2001. С. 138–154.
- 3. Прокопов, Н. И. Синтез полимерных суспензий с узким распределением частиц по размерам методом гетерофазной полимеризации: Дис...док. хим. наук: 02.00.06: защищена 19.11.99 / Прокопов Николай Иванович. М., 1999. 322 с.
- 4. Vermeuler, M. Interfacial tension during masstransfer of decanoic acid from hexane to an aqueous solution containing NaOH / M. Vermeuler, P. Joos // Colloid & Surfaces. 1989. Vol. 36. P. 13–27.
- 5. Rubin, J. Mechanisms for lowering of interfacial tension in alkali/acidic oil systems / J. Rubin, D.T. Wasan // Colloid & Surfaces. 1992. Vol. 68. P. 13–27.
- 6. Русанов, А. И. О термодинамических условиях самопроизвольного диспергирования тел / А. И. Русанов // Вестник ЛГУ. 1982. № 10. С. 38–49.
- 7. Григорьев, Г. А. Динамические процессы на жидких межфазных границах при синтезе полимеров и наночастиц / Г. А. Григорьев, И. А. Туторский, Г. А. Симакова // Структурообразование и межфазные явления в системах жидкость жидкость : сб. трудов симпозиума, Москва, 11 окт. 2001. М., 2001. С. 106–124.
- 8. Григорьев, Г. А. О влиянии массопереноса и химической реакции на самодиспергирование фаз / Г. А. Григорьев, Т. В. Ингерова // Ж. физ. химии. − 1998. № 6. C. 1103-1105.
- 9. Франк-Каменецкий, Д. А. Диффузия и теплопроводность в химической кинетике / Д. А. Франк-Каменецкий. М. : Наука, 1967. 286 с.
- 10. Эммануэль, М. Н. Курс химической кинетики / М. Н. Эммануэль, Д. Т. Кнорре. М.: Высшая школа, 1969. С. 51.

УДК 541.123.2

МАТЕМАТИЧЕСКОЕ МОДЕЛИРОВАНИЕ ПАРОЖИДКОСТНОГО РАВНОВЕСИЯ В БИНАРНЫХ БИАЗЕОТРОПНЫХ СИСТЕМАХ

И.А. Митюшкина, Т.В. Челюскина, А.К. Фролкова

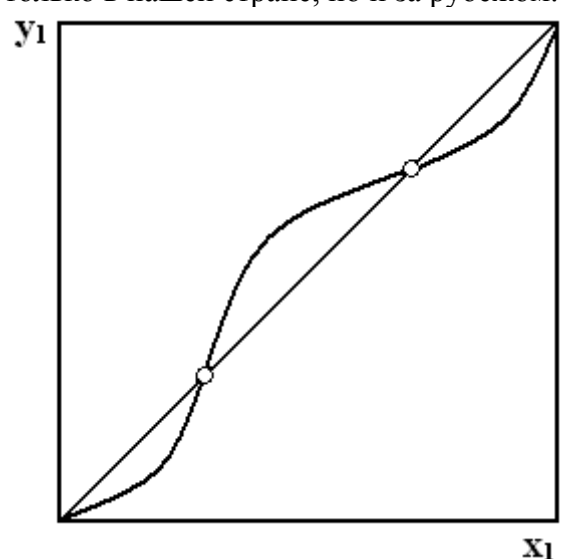
помощью проблемно-ориентированного комплекса "CHEMCAD 5.2.0" проведена оценка параметров моделей Вильсона и NRTL для биазеотропных систем бутилпропионат – пропионовая кислота и бутилбутират – масляная кислота при различных давлениях, а также математическое моделирование парожидкостного равновесия бинарных систем и получено удовлетворительное описание биазеотропии.

В промышленности стоит проблема разделения высших жирных кислот и их эфиров [1]. В бутиловых процессе получения высших жирных спиртов С7-С9 методом каталитической гидрогенизации жирных кислот и их сложных первой эфиров стадией является этерификация кислот $C_5 - C_{13}$. Поскольку реакция этерификации обратима, несмотря непрерывный отвод воды реакционной смеси, не удается получить эфиры без примеси кислот (бутиловые эфиры содержат от 2 до 5% непрореагировавших кислот). Поэтому сырые эфиры нейтрализуют 25 %-ным раствором щелочи для удаления кислот, не вступивших в реакцию. Из нейтрализатора отбирают три слоя: эфирный, мыльно-щелочной И промежуточный (эмульсионный). Эмульсионный слой собирают в емкость и вновь направляют в нейтрализатор. Щелочной раствор натриевых солей жирных кислот (мыл) отделяют от эфиров отстаиванием и обрабатывают серной кислотой. При этом регенерируются свободные которые после промывки водой отделяют от сульфата натрия и вновь возвращают в производство. Эфиры промывают нейтрализаторе водой и сушат в вакууме. образуется При промывке большое количество сточных вод. поэтому промывку иногда заменяют дистилляцией. На 1 тонну эфиров затрачивают 150 кг 100 %-ной щелочи, на регенерированных кислот - 340 кг 98 %серной кислоты, на сульфатной воды на стадии нейтрализации – 196 кг кальционированной соды. При этом способе очистки эфиров от кислот в

год образуется 30 тысяч тонн сульфатных сточных вод [1].

За годы работы Волгодонского химического завода «Кристалл», производящего различные моющие синтетические средства на основе фракций спиртов С7-С9, был накоплен один миллион тонн отходов, и еще в 1995 году специалисты, проводя исследования, предупреждали, что через одиннадцать лет при столь высокой техногенной нагрузке может произойти загрязнение грунтовых вод, которые, попав в Дон, загрязнят воду Результаты лабораторных реки. исследований воздуха, проведенных в августе 2001 года в районе жидкой свалки, сульфатных полей и старой части города, показали, что в 66% проб, исследованных на содержание синтетических жирных кислот, обнаружено превышение предельно допустимых концентраций в 5-6 раз, а во всех пробах на содержание спиртов превышение ПДК составило 60% [News.Battery.Ru – Аккумулятор Новостей. Источник: REGIONS.RU/Россия. Регионы].

При разработке технологической схемы очистки фракции бутиловых эфиров кислот $C_5 - C_{13}$ ОТ монокарбоновых кислот на кафедре ХТООС им. М.В. Ломоносова МИТХТ было установлено, экспериментально что бинарные системы кислота – бутиловый эфир одноименной кислоты являются биазеотропными [2]. Трудность отделения фракции бутиловых эфиров кислот $C_5 - C_{13}$ от кислот $C_5 - C_{13}$ обусловлена интервалом температурным единым компонентов разделяемой выкипания смеси, наличием моно- и биазеотропии в бинарных системах бутиловый эфир - кислота, широким составом фракции бутиловых эфиров и термолабильностью компонентов разделяемой смеси. Этим объясняется отсутствие технологически и экономически целесообразной схемы очистки фракции бутиловых эфиров не только в нашей стране, но и за рубежом.



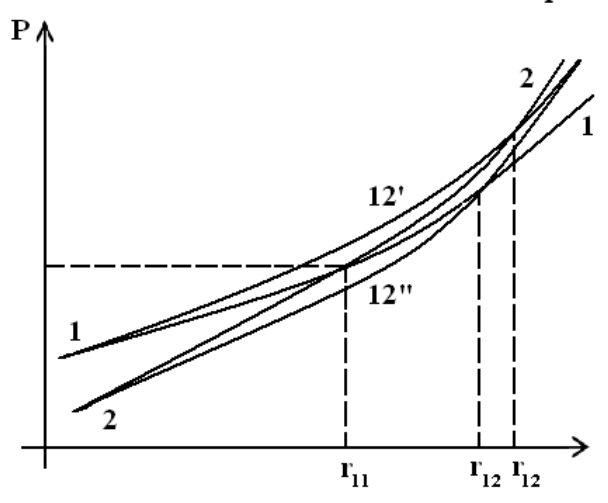


Рис. 1. Качественный вид диаграммы ПЖР (а) и температурной зависимости упругостей паров компонентов 1, 2 и положительного 12', отрицательного 12'' азеотропов (б) в биазеотропной бинарной смеси бутиловый эфир карбоновой кислоты (1) – карбоновая кислота (2) при $\overline{L_1} < \overline{L_2}$, где $\overline{L_1}$, $\overline{L_2}$ – парциальные мольные теплоты испарения компонентов 1, 2.

Диаграммы парожидкостного равнове-(ПЖР) биазеотропных сия систем характеризуются близкими температурами кипения во всем концентрационном малой разницей симплексе, составами равновесных фаз, а значит, и относительной летучестью компонентов α, близкой единице, что вызывает

трудности при постановке физического эксперимента. В связи с этим изучение фазового поведения биазеотропных систем проводили с использованием вычислительного эксперимента бинарных примере систем бутилпропионат (БП) – пропионовая кислота (ПК) и бутилбутират (ББ) – масляная кислота (МК). Выбор этих бинарных систем в качестве модельных обусловлен тем, что ОНИ являются первыми представителями ряда биазеотропных систем, образованных карбоновыми кислотами и их бутиловыми приемлемом эфирами, И В эксперимента температурном диапазоне диаграмма ПЖР проходит все стадии эволюции – от образования граничных азеотропов тангенциальных образования внутреннего тангенциального азеотропа [2] (рис.1).

Задачей настоящего исследования является математическое моделирование парожидкостного равновесия и биазеотропии в системах бутилпропионат – пропионовая кислота, бутилбутират – масляная кислота. Для этого необходимо:

- 1) выбрать математическую модель, дающую адекватное описание экспериментальных данных;
- 2) оценить надежность параметров выбранной модели.

Для практических расчетов фазовых равновесий в настоящее время используются упрощенные модели растворов, в производится которых некоторое усреднение величин, характеризующих межмолекулярное взаимодействие. К их числу относятся решеточные модели, модели локальных составов, ячеечные модели модели ассоциированных растворов [3]. Нами в данной работе использовались модели локальных составов, описывающиеся, в частности, уравнениями Вильсона и NRTL.

Как правило, оценка параметров бинарного взаимодействия математических моделей наиболее надежно осуществляется по полному массиву данных о парожидкостном равновесии бинарных систем. Однако при отсутствии

такового допустимо проводить их оценку на основе минимальной информации о бинарных системах [4]. При достаточной точности экспериментальных сокращение объема исходной информации влияет сравнительно мало рассчитанные параметров, значения приводя лишь К увеличению доверительной области. Параметры уравнений вышеперечисленных ΜΟΓΥΤ быть определены по данным ДЛЯ нескольких экспериментальных точек, по величинам предельных коэффициентов активности, по характеристикам бинарных азеотропов. В последнем случае более надежную оценку обеспечивают данные, относящиеся К средней области концентрации растворов.

С использованием проблемно-ориентированного комплекса «СНЕМСАD 5.2.0» мы оценивали малые параметры уравнения Вильсона параметры уравнения NRTL при различных давлениях по двум наборам экспериментальных данных [2] о системах БП – ПК и ББ – МК: 1) по характеристикам азеотропов; 2) составам ПО температурам кипения азеотропов и точек чистых компонентов. Далее проводился ПЖР. Выбор параметров осуществляли таким образом, чтобы при фазового равновесия моделировании жидкость - пар биазеотропия, обнаруженная в ходе натурного эксперимента, описывалась с наименьшими погрешностями ($\Delta T^{a3} \rightarrow 0$, $\Delta v^{a3} \rightarrow 0$).

Моделирование парожидкостного равновесия и биазеотропии в системе бутилпропионат – пропионовая кислота

кафедре химии и технологии Ha органического основного экспериментально получены зависимости упругостей паров пропионовой кислоты и бутилпропионата температуры ОТ характеристики азеотропных точек (температура кипения и состав) для системы бутилпропионат – пропионовая кислота при давлениях 33.0; 104.9; 130.2 мм рт. ст. [2, 5].

В базе данных «СНЕМСАD 5.2.0» температура кипения и давление точки

Банкрофта [6, 7] исследуемой системы имеют значения: $T_E = 93.2 - 93.6$ °C и $P_{E} = 133.0 - 135.0 \,\mathrm{mm}$ рт. ст. Параметры точки Банкрофта, найденные эксперимента [2], составляют 74.0-74.5 °C и 58.5-59.0 мм рт. ст., соответственно. Такое расхождение экспериментальных и расчетных параметров точки Банкрофта возможно объясняется наличием какихпримесей веществах либо В проведении натурного эксперимента, от чего мы застрахованы при расчетном исследовании. Следовательно, описать такие экспериментальные данные математической моделью трудно, подтвердилось в работе - биазеотропия воспроизводится только при одном давлении и только одним уравнением (NRTL).

Различие параметров точки Банкрофта проявляется в том, что в натурном эксперименте относительная летучесть компонентов меняется быстрее, чем в расчетном. Потому можно ожидать, что при моделировании эволюции биазеотропии внутренний тангенциальный азеотроп (ВТА) появится при более высоких давлениях по сравнению с найденными в натурном эксперименте.

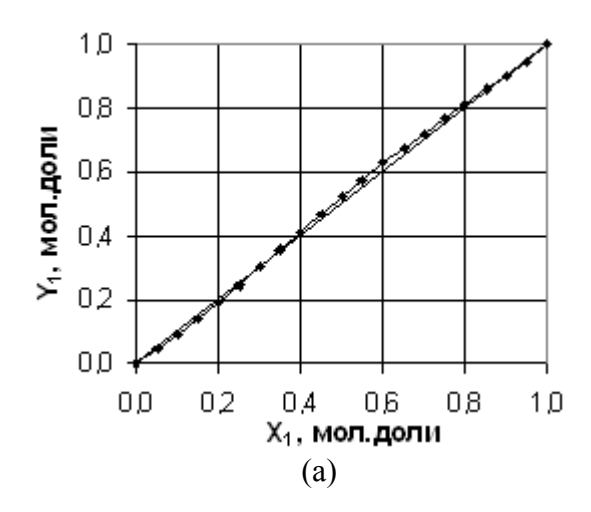
Нами были оценены малые параметры модели Вильсона и параметры модели NRTL системы БП – ПК ДЛЯ давлениях 33.0, 104.9, 130.2 мм рт. ст. на основе двух наборов экспериментальных данных, указанных выше. В табл. 1 приведены результаты описания азеотропов. характеристикам Биазеотсистеме БП – ПК была смоделирована только при использовании малых параметров уравнения Вильсона, оцененных при 104.9 мм рт. ст. [2]. Их значения: $\lambda_{12} = -853.8698$, $\lambda_{21} = 1527.496$. Будем использовать эти параметры при дальнейших расчетах.

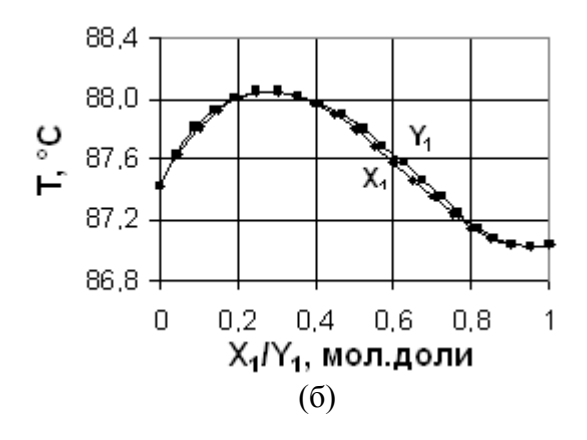
Показательно, что описание биазеотропии лучше при использовании параметров, оцененных только по характеристикам азеотропов, так как различия в свойствах чистых компонентов здесь не проявляются.

Таблица 1. Экспериментальные характеристики азеотропных точек и погрешности их описания при оценке параметров моделей Вильсона и NRTL в системе БП (1) – ПК (2) при 104.9 мм рт. ст.

Экспериментальные характеристики азеотропных точек -		П	Погрешности описания				Расчетные характеристики азеотропных точек, полученные при оценке параметров			
		Wi	Vilson NR		RTL	Wilson		NRTL		
T, °C	$x_1 = y_1,$	$x_1 = y_1, \qquad \Delta T, \qquad \Delta T$		ΔΤ,	Δy_1 ,	T,	y ₁ ,	T,	y ₁ ,	
1, C	мол.д.	°C	мол.д.	°C	мол.д.	°C	мол.д.	°C	мол.д.	
88.44	0.3050	-0.39	0.0026	-0.18	0.0047	88.05	0.3076	88.26	0.3097	
88.06	0.8760	-1.01	0.0057	-0.93	0.0051	87.05	0.8817	87.13	0.8811	
Средн. отклонение		0.70	0.0041	0.56	0.0049					
Макс. отклонение		1.01	0.0057	0.93	0.0051					

На рис. 2 а, б представлены зависимости $y_1(x_1)$, $T_{K\!H\!I\!I}(x_1,y_1)$ в системе БП – ПК, полученные по модели Вильсона при 104.9 мм рт. ст. На основе массива данных по ПЖР рассчитаны коэффициенты распределения БП (K_1) и ПК (K_2) и построены графики зависимостей $K_{1,2}=f(x_1)$ (рис. 2 в), которые позволили локализовать составы азеотропов.





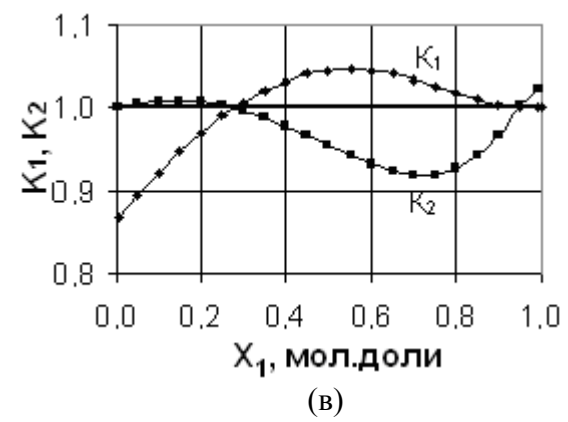


Рис. 2. Диаграммы $y_1 = f(x_1)$ (a), $T = f(x_1, y_1)$ (б), $K_{1,2} = f(x_1)$ (в) системы БП (1) – ПК (2) при 104.9 мм рт. ст., полученные по модели Вильсона.

Из приведенных диаграмм видно, что в системе БП – ПК имеется два азеотропа со следующими характеристиками:

$$T^{omp.a3} = 88.056\,^{\circ}\text{C}, \quad x_{BII}^{omp.a3.} = 0.2790$$
 мол.д., $T^{non.a3} = 87.018\,^{\circ}\text{C}, \quad x_{BII}^{non.a3.} = 0.9450$ мол.д.

Разница между экспериментальными и расчетными значениями состава пара и температуры кипения составляет для положительного азеотропа $\Delta y^{a3} = 0.069\,\mathrm{Mon.g.}$, $\Delta T^{a3} = 1.042\,^\circ\mathrm{C}$, для отрицательного азеотропа $\Delta y^{a3} = 0.026\,\mathrm{Mon.g.}$, $\Delta T^{a3} = 0.384\,^\circ\mathrm{C}$. Такая точность может считаться вполне допустимой, учитывая, что, например, для системы бензол — перфторбензол при 760 мм рт. ст. максимальная разность в составах азеотропов по экспери-ментальным данным различных авторов составляет 5.1 % мол. для положительного азеотропа и 6.1 % мол. для отрицательного [8].

С использованием параметров уравнения Вильсона, оцененных на основе экспериментальных данных по двум азеотропным точкам [2] при 104.9 мм рт. ст., нами расчетным путем исследована эволюция биазеотропии в системе БП – ПК (рис. 3).

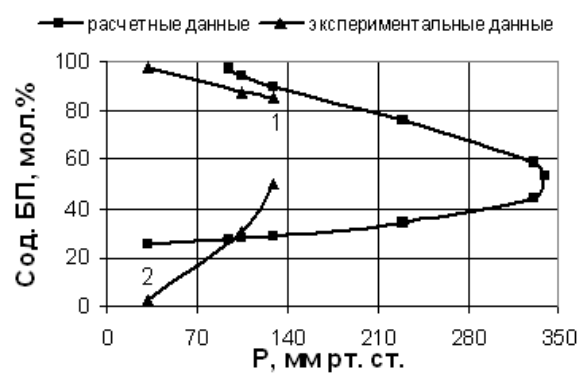


Рис. 3. Зависимость составов положительного (1) и отрицательного (2) азеотропов системы БП – ПК от давления.

Из рис. 3 видно: и в эксперименте, и в увеличении расчете при давления положительный азеотроп обедняется, а отрицательный обогащается БП, отвечает второму закону Вревского $(L_{EII} = 11.14)$ $L_{IIK} = 13.21$ ккал/моль, ккал/моль, т.е. $\overline{L_{\it BH}} < \overline{L_{\it HK}}$, где $\overline{L_{\it BH}}$, $\overline{L_{\it HK}}$ – парциальные мольные теплоты испарения компонентов при 25 °C) и тенденциям образования ВТА. Однако образование ВТА по эксперимен-тальным данным [2] происходит при $P \approx 140.0$ мм рт. ст. (что на 200.0 мм рт. ст. меньше, чем по расчету). Раньше отмечалось, что и точка Банкрофта, определенная экспериментально, наблюдается при более низком давлении.

Моделирование парожидкостного равновесия и биазеотропии в системе бутилбутират – масляная кислота

В работах [2, 9] представлены экспериментально полученные зависимости упругостей паров масляной кислоты и бутилбутирата OT температуры характеристики азеотропных точек для системы бутилбутират – масляная лота при давлениях 142.5, 243.5, 347.0, 440.0, 520.0, 600.0, 700.0, 737.1 мм рт. ст. Параметры точки Банкрофта составляют 146.0-146.5 °C и 430.0 мм рт. ст.

В базе данных «СНЕМСАD 5.2.0» температура кипения и давление точки Банкрофта [6, 7] в исследуемой системе имеют значение: $T_{\it E}=150.5-151.5\,$ °C и $P_{\it E}=510.0-510.5\,$ мм рт. ст. Различие между экспериментальными и расчетными параметрами точки Банкрофта также приводит к тому, что в условиях натурного эксперимента летучесть МК изменятся быстрее, чем при расчете, что, вероятно, приведет к тем же последствиям, что и в предыдущей системе.

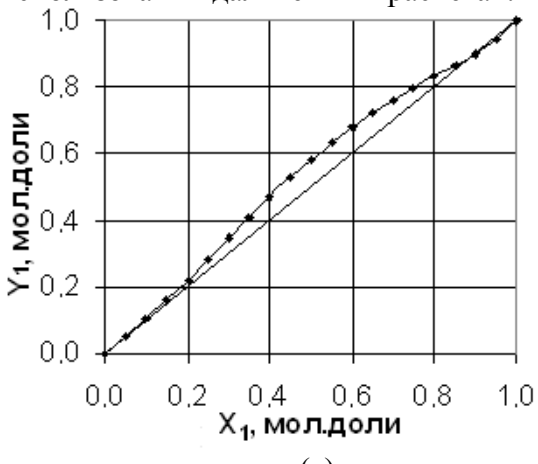
Таблица 2. Экспериментальные характеристики азеотропных точек и погрешности их описания при оценке параметров моделей Вильсона и NRTL в системе ББ (1) – МК (2) при 142.5 мм рт. ст.

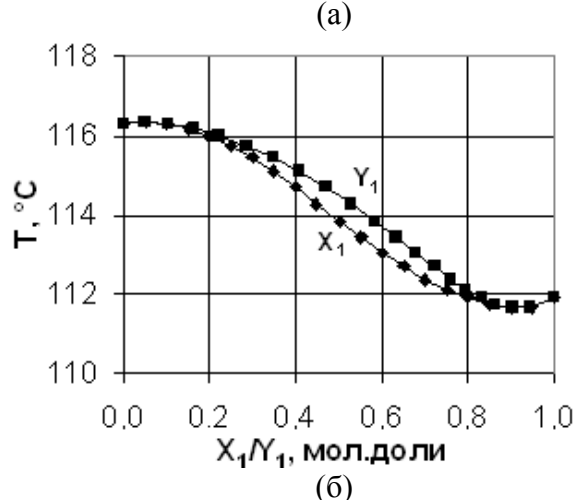
Экспериментальные характеристики азеотропных точек -		П	Погрешности описания				Расчетные характеристики азеотропных точек, полученные при оценке параметров			
		Wi	Vilson NRTL		RTL	Wilson		NRTL		
T, °C	$x_1 = y_1,$ мол.д.	ΔT, °C	Δу ₁ , мол.д.	ΔT, °C	$\Delta y_1, \ $ мол.д.	T, °C	у ₁ , мол.д.	T, °C	у ₁ , мол.д.	
117.13	0.0180	-0.87	0.0008	-0.82	-0.0006	116.26	0.0188	116.31	0.0174	
112.35	0.9000	-0.78	0.0068	-0.69	0.0030	111.57	0.9068	111.66	0.9030	
Средн. отклонение		0.83	0.0038	0.75	0.0018					
Макс. отклонение		0.87	0.0068	0.82	0.0030					

Нами по экспериментальным данным [2] о характеристиках азеотропов (табл. 2) и характеристиках азеотропов и чистых компонентов были оценены малые параметры уравнения Вильсона и параметры уравнения NRTL при

различных давлениях. Наличие ДВVX в системе ББ – МК смодеазеотропов лировано при нескольких давлениях обоими уравнениями. Проанализировав точность описания характеристик азеотропов, полученных из натурного

эксперимента, мы выбрали параметры уравнения NRTL, оцененные по экспериментальным данным о составах и температурах кипения азеотропных точек при 142.5 мм рт. ст., с которыми удалось описать биазеотропию в исследуемой системе с наименьшим отклонением от экспериментальных данных [2]. Их значения: $B_{12} = 1138.0880$, $B_{21} = -605.2208$, $\alpha = 0.200234$. Эти параметры мы будем использовать в дальнейших расчетах.





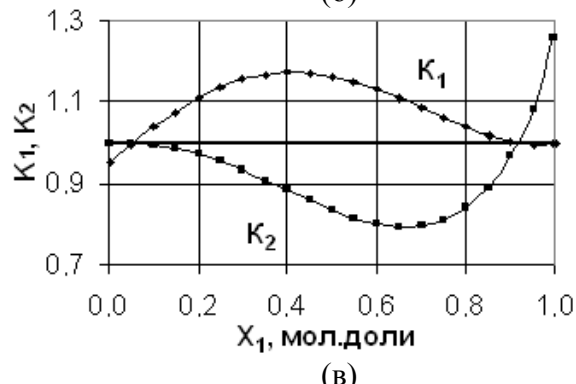


Рис. 4. Диаграммы $y_1 = f(x_1)$ (a), $T = f(x_1, y_1)$ (б), $K_{1,2} = f(x_1)$ (в) системы ББ (1) – МК (2) при 142.5 мм рт. ст., полученные по модели NRTL

На рис. 4 а, б приведены диаграммы $y_1 = f(x_1)$ и $T = f(x_1, y_1)$ системы ББ – МК, полученные по модели NRTL при 142.5 мм рт. ст. Для локализации точек азеотропов проведен расчет коэффициентов распределения ББ (K_1) и МК (K_2) и построены графики зависимостей $K_{1,2} = f(x_1)$ (рис. 4 в).

Как видно, в системе ББ – МК имеется два азеотропа со следующими характеристиками:

$$T^{omp.a3}=116.329\,^{\circ}\mathrm{C},\;\;x_{\mathit{bb}}^{omp.a3.}=0.0560\;\;\mathrm{мол.д.}, \ T^{non.a3}=111.660\,^{\circ}\mathrm{C},\;x_{\mathit{bb}}^{non.a3.}=0.9145\;\;\mathrm{мол.д.}$$

Разность между экспериментальными и расчетными значениями характеристик азеотропов равна для положительного азеотропа $\Delta y^{a3} = 0.0145$ мол.д., $\Delta T^{a3} = 0.69\,^{\circ}\text{C}$, для отрицательного азеотропа $\Delta y^{a3} = 0.038$ мол.д., $\Delta T^{a3} = 0.801\,^{\circ}\text{C}$. Такую точность описания ПЖР системы ББ – МК можно считать удовлетворительной.

Нами исследована эволюция биазеотропии в системе ББ – МК, смоделированная с использованием параметров уравнения NRTL, оцененных на основе экспериментальных данных по двум азеотропным точкам [2] при 142.5 мм рт. ст. (рис. 5).

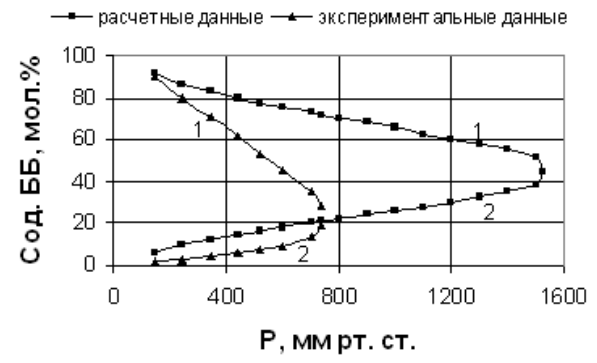


Рис. 5. Зависимость составов положительного (1) и отрицательного (2) азеотропов системы ББ – МК от давления.

При увеличении давления как в натурном, так и в расчетном эксперименте положительный азеотроп обедняется, а отрицательный обогащается ББ, что соответствует второму закону Вревского ($\overline{L_{\mathit{bb}}} = 12.24$ ккал/моль, $\overline{L_{\mathit{MK}}} = 14.44$ ккал/моль, т.е. $\overline{L_{\mathit{bb}}} < \overline{L_{\mathit{MK}}}$, где

парциальные мольные теплоты испарения компонентов при 25 °C). Такое азеотропов поведение характеризуется стадией образования ВТА. Но при этом появление ВТА по экспериментальным данным происходит при P = 740.0 мм рт. ст., что 790.0 мм рт. ст. меньше, чем по расчету. Здесь точка Банкрофта, определенная экспериментально, также наблюдается при более низком давлении, как и в предыдущей системе. Это лишний раз подчеркивает трудность адекватного описания близких свойств биазеотропных смесей. Достоинством можно считать уже сам факт воспроизведения биазеотропии, не противоречащий экспериментальным данным (по расположению азеотропов в концентрационном симплексе).

Таким образом, впервые получено математическое описание биазеотропии в системах бутилпропионат — пропионовая кислота и бутилбутират — масляная кислота, являющихся первыми представителями ряда биазеотропных систем, образованных карбоновыми кислотами и их бутиловыми эфирами.

Работа выполнена при финансовой поддержке РФФИ (код проекта № 05-03-32958).

ЛИТЕРАТУРА:

- 1. Высшие жирные спирты / Локтев С. М. [и др.]. М.: Химия, 1970. 328 с.
- 2. Шутова, Γ . В. Физико-химические закономерности биазеотропии в бинарных системах : дис...канд. хим. наук : 05.17.04 : защищена 06.06.92 : утв. 06.08.92 / Шутова Γ алина Викторовна. М. : МИТХТ, 1992. 193 с.
- 3. Тимофеев, В. С. Принципы технологии основного органического и нефтехимического синтеза / В. С. Тимофеев, Л. А. Серафимов. М. : Высшая школа, 2003.-536 с. ISBN 5-06-004267-7
- 4. Морачевский, А. Г. Термодинамика равновесия жидкость пар / А. Г. Морачевский, Н. А. Смирнова, Е. М. Пиотровская. Л. : Химия, 1989. 344 с.
- 5. Исследование биазеотропии в системе пропионовая кислота бутилпропионат / Т. М. Кушнер [и др.] // Журн. физ. хим. 1992. Т. 66, № 3. С. 832–836.
 - 6. Bancroft, W.D. The phase rule / W. D. Bancroft // N.Y.: Ithaca. 1897. P. 119.
- 7. Демусенко, Е. В. Правило Банкрофта и возможность его использования при разработке технологических схем ректификации / Е. В. Демусенко, А. С. Мозжухин // Теор. основы хим. технол.. 1997. Т. 31, № 5. С. 491–494.
- 8. Челюскина, Т. В. Термодинамико-топологический анализ трехкомпонентных систем с двумя тройными азеотропами: дис...канд. тех. наук: 05.17.04: защищена 16.10.01: утв. 25.12.01 / Челюскина Татьяна Владимировна. М.: МИТХТ, 2001. 169 с.
- 9. Исследование биазеотропии в системе масляная кислота бутилбутират / Т. М. Кушнер [и др.] // Журн. орг. хим. 1993. Т. 63, № 1. С. 171–176.

УДК:66.065.5

ПРОТИВОТОЧНАЯ КРИСТАЛЛИЗАЦИЯ С ТЕПЛОВЫМ НАСОСОМ

В.М. Мясоеденков, Г.А. Носов, Е.М. Хайбулина, М.Е. Уваров

выполнен анализ эффективности использования парокомпрессионного теплового насоса с замкнутым циклом по рабочему телу в процессе непрерывной противоточной кристаллизации. Показано, что применение теплового насоса позволяет при определенных условиях снизить энергетические затраты на проведение рассматриваемого процесса.

Противоточная кристаллизация является одним из методов фракционной кристаллизации [1]. Она довольно часто используется для разделения и очистки различных органических веществ. Для ее осуществления используются аппараты различной конструкции, которые принято разделять на группы: аппараты центральным и торцевым питанием [1, 2]. Противоточные кристаллизаторы центральным питанием по принципу работы аналогичны ректификационным колоннам с подачей исходной смеси на промежуточных ИЗ тарелок, кристаллизаторы с торцевым питанием аналогичны отгонным колоннам.

В данной работе нами рассмотрен процесс противоточной кристаллизации с использованием аппаратов с торцевым питанием применительно к разделению бинарных систем, образующих непрерывный ряд твердых растворов. Для снижения энергетических затрат на проведение процесса разделения нами предлагается использовать парокомпрессионный тепловой насос закрытого типа.

Схема организации потоков противокристаллизации точной c тепловым насосом показана на рис. 1. Принято [1] противоточные кристаллизаторы торцевым питанием разделять на четыре секции: 1 – противоточного контактирования кристаллической K и жидкой фаз M; 2 — охлаждения (кристаллизации); 3 плавления и 4 – фильтрования. Разделение смеси произ-водится следующим образом. Исходная смесь (расплав) концентрацией высокоплавкого χ_F компонента при температуре t_F поступает

кристаллизации **30HY** 2, где охлаждается температуры ДО фракционирования t_{K} , лежащей между температурами ликви-дуса и солидуса (рис.2). Полученная суспензия, состоящая из кристал-лической фазы K_2 и маточника M_2 , из секции охлаждения поступает в секцию фильтрования 4. В эту же секцию поступает маточник Mпротивоточного контактирования концентрацией x_{Ml} при температуре t_{Ml} . Здесь температуры обеих изменяются до температуры фракционирования t_{KI} . Низкоплавкий продукт W с концентрацией x_W выводится из секции фильтрования в расплавленном виде. Кристаллическая фаза в виде потока K с концентрацией x_{KI} направляется в зону противоточного контактирования 2, где при противотоке жидкой фазой c обогашается высокоплавким компонендо состава χ_{Π} . Температура фазы секции кристаллической поднимается OT t_{K1} ДО t_{K0} . Далее кристаллическая К, фаза состава направляется в зону плавления 3, где полностью расплавляется при температуре t_{II} . Часть образовавшегося расплава выводится из аппарата в виде фракции Π высокоплавким обогащенной компонентом состава χ_{Π} . Другая часть образовавшегося расплава в количестве M, состава возвращается x_{Π} 30HV противоточного контактирования качестве флегмы. В секции 1 жидкая фаза M в противотоке с кристаллической фазой К обедняется высокоплавким компонентом до состава x_{MI} . Темпе-ратура маточника в секции 1 опускается от t_{Π} до t_{MI} .

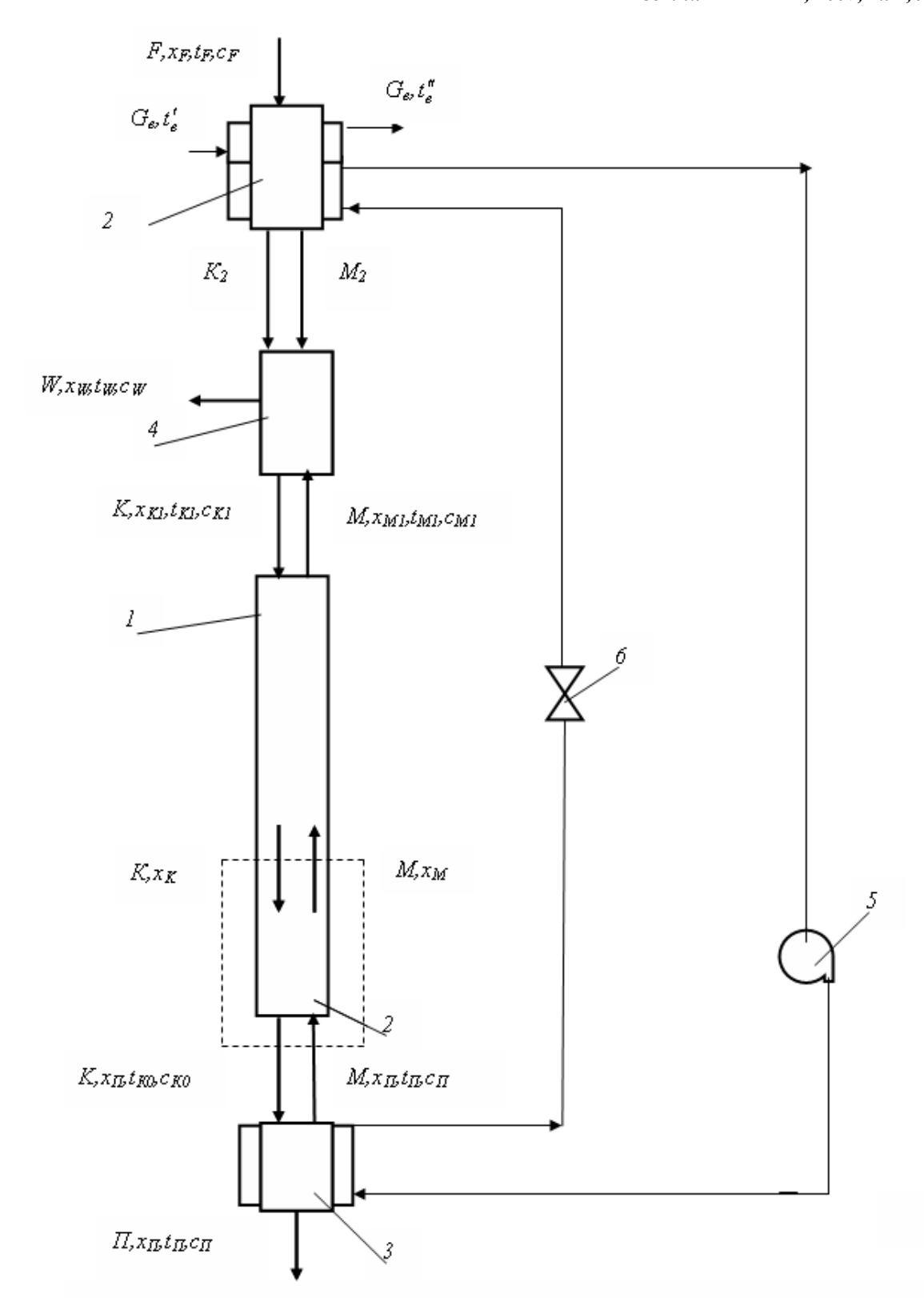


Рис. 1. Схема потоков процесса противоточной кристаллизации с использованием теплового насоса замкнутого типа: 1- секция противоточного контактирования ;2 — секция охлаждения (кристаллизации); 3 — секция плавления; 4 — секция фильтрования; 5 — компрессор; 6 — дроссельный вентиль т.н.

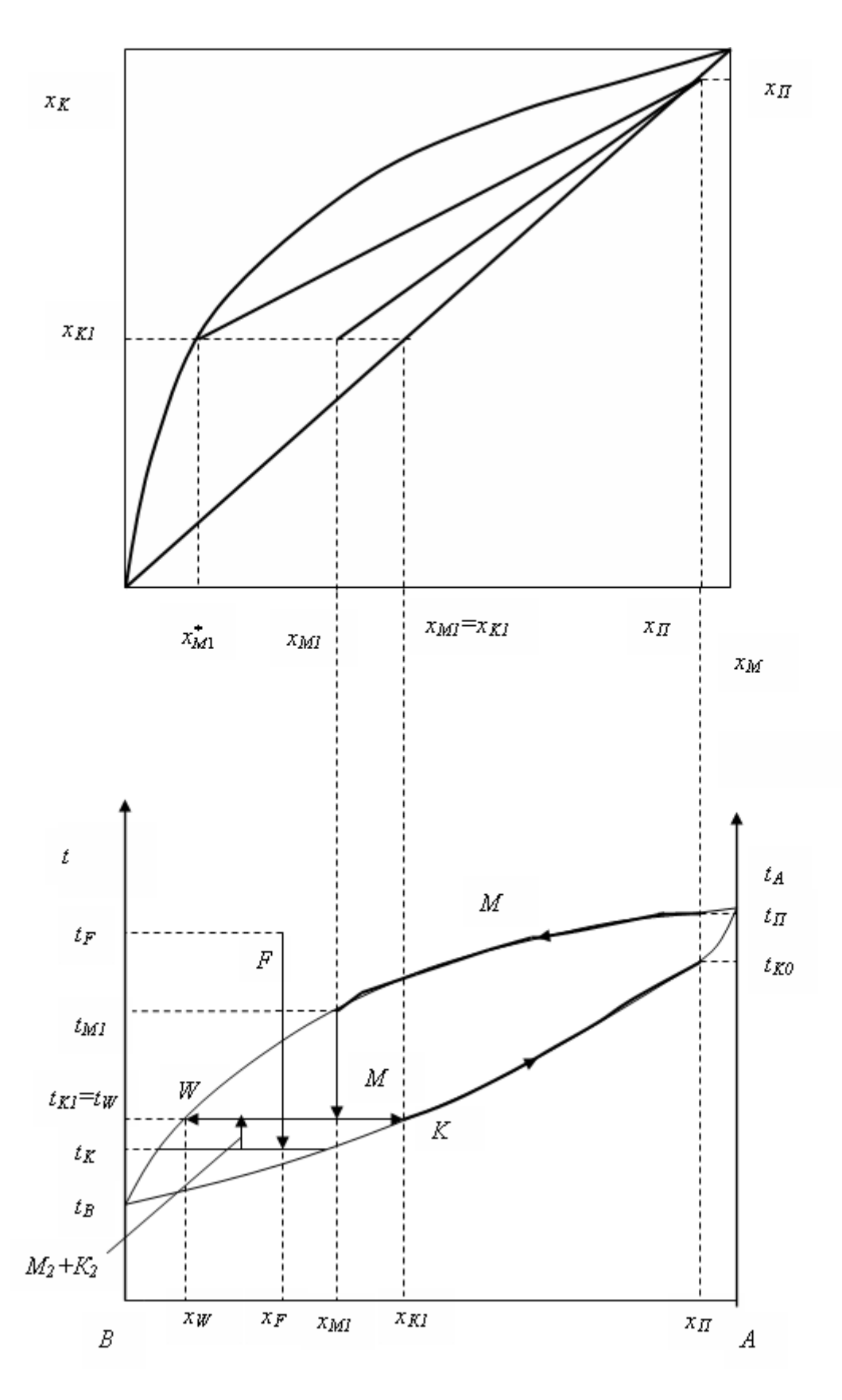


Рис. 2. Изображение процесса противоточного фракционного плавления бинарной смеси на диаграммах равновесия фаз.

Для проведения процесса противоточной кристаллизации в секции кристаллизации 2 необходимо отводить теплоту Q_K , а в секцию плавления подводить теплоту Q_Π . В традиционном процессе (без теплового насоса) используются независимые источники Q_K и Q_Π . В установке с тепловым насосом теплота, выделяющаяся в секции кристаллизации, используется для плавления кристалл

лической фазы в секции 3. При этом с помощью теплового насоса производится повышение температурного потенциала промежуточного теплоносителя G_p , поступающего из секции кристаллизации 2 в секцию плавления 3.

Изображение цикла работы теплового насоса на диаграмме состояния промежуточного теплоносителя показано на рис. 3.

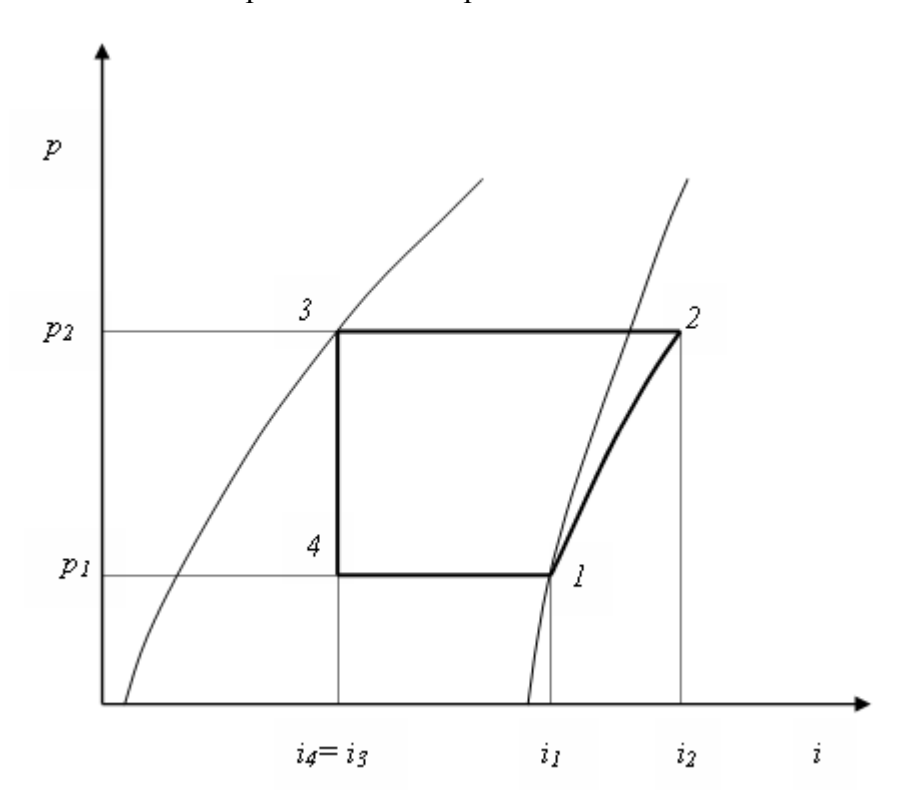


Рис. 3. Изображение цикла работы теплового насоса с замкнутым контуром циркуляции рабочего тела в диаграмме состояния p-i.

Как показали расчеты рассматриваемого процесса практически всегда тепловой поток Q_K больше расхода тепла плавителе Q_{II} . Поэтому ДЛЯ балансировки тепловых потоков при использовании теплового насоса или секция охлаждения противоточного кристаллизатора должна иметь две охлаждающие рубашки, или в контуре теплового насоса должен быть размещен теплообменник, дополнительный доохлаждения промежуточного теплоносителя G_p после его сжатия. В первом случае в верхнюю часть рубашки зоны 2 направляется поток внешнего холодильного агента для обеспечения полного отвода тепла из зоны кристаллизации, а в

2 часть рубашки секции нижнюю направляется поток рабочего тела теплового насоса в виде влажного пара (точка 4 на диаграмме состояния, см. рис. 3). Температуры этого пара должна быть ниже температуры кристаллизации исходной смеси t_K . Таким образом, секция охлаждения противоточного кристаллизатора выполняет функции испарителя теплового насоса, рабочее теплового насоса служит охлаж-дающим агентом для этой секции. При испарении влаги пара рабочего тела его энтальпия изменяется от i_4 до i_1 . Пар теперь уже в сухом насыщенном состоянии направвсасывающую ляется линию компрессора теплового насоса, после чего

сжимается от давления p_1 до давления p_2 . При сжатии рабочего тела его энтальпия изменяется от i_1 до i_2 . Пары рабочего тела далее направляются на охлаждение и последующую конденсацию в рубашку секции плавления 3. Энтальпия рабочего тела в процессе его охлаждения и конденсации изменяется от і2 до і3. Таким образом, зона плавления исполняет роль конденсатора в схеме теплового насоса, а рабочее тело теплового насоса является теплоносителем при реализации про-цесса кристаллической плавления поступающей в плавитель. Конденсат рабочего тела после дросселирования от давления p_2 до давления p_1 охлаждается и направляется В секцию кристаллизатора.

Основной целью настоящей работы является энергетическое сопоставление: установки обычного процесса противоточного плавления (с независимыми источниками тепла и холода) с предлагаемой установкой процесса противоточного плавления.

При рассматриваемых анализе процесс-сов было принято: на стадии кристаллизации исходной смеси в секции охлаждения, также как и на стадии фильтрования в секции фильтрования, достигается полное равновесие потоки маточника и кристаллической неизменны ПО высоте секции противоточного контактирования; в этой секции отсутствует продольное перемешивание фаз; в плавителе происходит полное плавление поступающей кристаллической фазы.

При принятых допущениях для различных секций установки противоточной кристаллизации справедливы следующие уравнения материального баланса: при совместном рассмотрении секций охлаждения и фильтрования

$$F + M = K + W, \tag{1}$$

$$Fx_F + Mx_{MI} = Kx_{KI} + Wx_W; (2)$$

для секции противоточного контактирования

$$Kx_{KI} + Mx_{II} = Kx_{II} + Mx_{MI};$$
 (3) лля секции плавления

$$K = M + \Pi. \tag{4}$$

Решая совместно уравнения (1) - (4), находим выражения для удельных потоков жидкой и кристаллической фаз

$$\varphi_W = \frac{W}{F} = \frac{(x_{II} - x_F)}{(x_{II} - x_W)},$$
(5)

$$\varphi_{\Pi} = \frac{\Pi}{F} = \frac{(x_F - x_W)}{(x_\Pi - x_W)},\tag{6}$$

$$\varphi_K = \frac{K}{F} = \frac{(x_{II} - x_{M1})(x_F - x_W)}{(x_{K1} - x_{M1})(x_{II} - x_W)},$$
 (7)

$$\varphi_M = \frac{M}{F} = \frac{(x_{II} - x_{K1})(x_F - x_W)}{(x_{K1} - x_{M1})(x_{II} - x_W)}.$$
 (8)

В уравнениях (5) — (8) неизвестными величинами являются: $\varphi_W, \varphi_\Pi, \varphi_K, \varphi_M$ и x_{MI} .

Определим пределы изменения состава маточника на выходе из зоны противоточного контактирования x_{MI} , воспользовавшись понятием флегмового числа R и рабочей линией процесса

$$R = \frac{M}{\Pi} = \frac{\varphi_M}{\varphi_\Pi} = \frac{(x_\Pi - x_{K1})}{(x_{K1} - x_{M1})}.$$
 (9)

Уравнение рабочей линии процесса противоточной кристаллизации получают исходя из уравнения материального баланса для нижней части секции 1 (рис. 1)

$$x_K = \frac{R}{R+1} x_M + \frac{x_{II}}{R+1} \,. \tag{10}$$

Графическая интерпретация уравнения (10) для различных значений флегмо-вого числа дана на рис. 2

Согласно рис. 2 диапазон изменения x_{M1} определяется предельными значениями флегмового числа: от $x_{M1}=x_{K1}$ при $R\to\infty$ до $x_{M1}=x_{M1}^*$ при $R=R_{\min}$.

Потребные мощности кристаллизатора (2 секция) и плавителя (3 секция) могут быть определены с помощью уравнений теплового баланса.

Мощность кристаллизатора (тепловой поток, отводимый от суспензии к холодильному агенту через теплопередающую поверхность кристаллизатора) может быть определена из совместного уравнения теплового баланса секций охлаждения и фильтрования

$$Q_K = Fc_F t_F + Mc_{MI} t_{MI} + KL_{KI} - Wc_W t_W - Kc_{KI} t_{KI},$$
(11)

где $c_{F, CMI, CW}$, c_{KI} — теплоемкости, соответственно, исходного раствора, маточника на входе в секцию фильтрования, продукта W, кристаллической фазы на выходе из секции фильтрования; L_{KI} — теплота кристаллизации жидкости состава x_{KI} .

Удельная мощность кристаллизатора будет определяться уравнением

$$q_{K} = \frac{Q_{K}}{F} = c_{F}t_{F} + \varphi_{M} c_{MI}t_{MI} + \varphi_{K} L_{K} - \varphi_{W} c_{W}t_{W} - \varphi_{K} c_{KI}t_{KI}.$$
 (12)

По определению флегмового числа $\varphi_M = \varphi_\Pi R$, $\varphi_K = \varphi_\Pi (1+R)$. После подстановки уравнение (12) преобразуется до вида

$$q_K = \frac{Q_K}{F} = c_F t_F - \varphi_W c_W t_W - \varphi_\Pi \left[R(c_{M1} t_{M1} + L_K - c_{K1} t_{K1}) + L_K - c_{K1} t_{K1} \right]. \tag{13}$$

С учетом уравнения (9) можно констатировать, что удельная мощность кристаллизатора характеризуется нелинейной зависимостью от x_{M1} .

Мощность плавителя (тепловой поток от теплоносителя в рубашке плавителя к суспензии через теплопередающую поверхность)

$$Q_{\Pi} = Mc_{\Pi}t_{\Pi} + \Pi c_{\Pi}t_{\Pi} - Kc_{K0}t_{K0} + KL_{K\Pi},$$
(14)

где $c_{\it{\Pi}}$, $c_{\it{K0}}$ - теплоемкость, соответственно, продукта $\it{\Pi}$ и кристаллической фазы \it{K} на входе в плавитель; $\it{L}_{\it{K\Pi}}$ - теплота плавления кристаллов состава $\it{x}_{\it{\Pi}}$.

Удельная мощность плавителя

$$q_{\Pi} = \frac{Q_{\Pi}}{F} = \varphi_{M} c_{\Pi} t_{\Pi} + \varphi_{\Pi} c_{\Pi} t_{\Pi} - \frac{1}{2} - \varphi_{K} c_{K0} t_{K0} + \varphi_{K} L_{K\Pi}$$
(15)

Или, по аналогии с предыдущим $q_{\Pi} = \varphi_{\Pi}(1+R)(c_{\Pi}t_{\Pi} - c_{K0}t_{K0} + L_{K\Pi}). \quad (16)$

Найденные выражения для мощности кристаллизатора позволяют определить полный расход (или удельный расход) холодильного агента, как в традиционной схеме энергоснабжения, так и в процессе разделения с использованием теплового насоса.

Расход греющего пара в плавителе традиционной схемы энергоснабжения

$$D_n = \frac{Q_{II}}{h_n - h_{\kappa}},\tag{17}$$

где h_n и h_κ — энтальпия, соответственно, пара и его конденсата.

Расход промежуточного теплоносителя (рабочего тела), циркулирующего в контуре теплового насоса, необходимого как для осуществления стадии плавления

так и для частичного осуществления стадии кристаллизации, составляет

$$G_p = \frac{Q_{II}}{i_2 - i_3},\tag{18}$$

где i_2 и i_3 — энтальпия рабочего тела на входе и выходе из рубашки плавителя (см. рис. 3).

Расход охлаждающего агента в кристаллизаторе традиционной схемы энергоснабжения составляет

$$G_{e} = \frac{Q_{K}}{c_{s}(t_{s}^{"} - t_{e}^{'})}, \tag{19}$$

где $c_{\mathfrak{g}}$ — теплоемкость хладоагента; $t_{\mathfrak{g}}$ и $t_{\mathfrak{g}}$ — температура хладоагента, соответственно, на входе и выходе рубашки кристаллизатора.

Расход холодильного агента (рабочего тела теплового насоса) в нижней секции рубашки кристаллизатора при теплонасосной схеме энергоснабжения равен G_p . Расход дополнительного хладоагента G_x , подаваемого в верхнюю секцию рубашки кристаллизатора, будет равен

$$G_{x} = \frac{Q_{K} - G_{p}(i_{1} - i_{4})}{c_{e}(i_{e}^{"} - i_{e}^{"})}.$$
 (20)

Эффективность работы теплового работающей насоса, режиме совмещенного цикла (одновременного получение тепла И холода), обычно характеризуется отношением суммы мощностей конденсатора и испарителя к мощности компрессора [5].

$$\varepsilon = \frac{Q_{\kappa o n \partial} + Q_{u c n}}{N}, \tag{21}$$

где $Q_{\text{коно}} = Q_{\Pi}$, $Q_{ucn} = G_p(i_1 - i_4)$, а $N = G_p(i_2 - i_1)/\eta$.

Эффективность работы теплового насоса, работающей в режиме получения тепла оценивается коэффициентом преобразования

$$\varepsilon_T = \frac{Q_{\kappa o n \partial}}{N} \,. \tag{22}$$

Коэффициент преобразования всегда больше единицы [3]. Это значит, что на каждую единицу энергии, затраченную в компрессоре, нагреваемому объекту будет передано больше на величину энергии, отобранную от холодного источника тепла.

Однако высокие значения коэффициента преобразования являются недостаточным необходимым, но условием при выборе схемы энергоснабжения в пользу тепонасосной схемы, качество сопоста-вляемых поскольку видов энергии в уравнении (18) различно. В самом деле, $Q_{\kappa o H \dot{o}}$ это тепловая энергия, в то время как N – электрическая энергия. Для сравнения различных видов энергии используют понятие «условного топлива», теплота сгорания которого принята равной 29.33 МДж/кг [3]. Удельный расход условного топлива на производство электрической энергии единицы конденсаци-онному циклу составляет $B_{\supset K}$ 114..6 кг/ГДж; удельный расход топлива производство условного единицы электрической энергии ПО теплофика-ционному циклу $B_{\ni T}$ 68.9 кг/ГДж; тогда аналогичная как величина на производство единицы тепловой энергии равна $B_T = 41.8 \text{ кг/}\Gamma Дж$ [4].

Для суждения о возможной экономии или перерасходе условного топлива в сопоставляемых схемах теплоснабжения воспользуемся понятием относительного расхода условного топлива

$$B_{0K} = \varepsilon_T \frac{B_T}{B_{9K}}$$
 или $B_{0T} = \varepsilon_T \frac{B_T}{B_{9T}}$ (23)

Относительный расход топлива показывает, на сколько расход условного топлива в традиционной схеме энергоснабжения больше (меньше) расхода топлива в теплонасосной схеме. При $B_{OK(T)} > 1$ вопрос выбора может быть

решен в пользу теплонасосной схемы теплоснабжения.

Численный эксперимент сопоставления схем энергоснабжения ДВУХ исследуемой установки был проведен на примере разделения бинарной системы флуорен – 2-метилнафталин, представляющей собой систему с неограни-ченной взаимной растворимостью компонентов. Равновесные данные для этой системы были заимствованные в работе В.М. Кравченко [5]. Анализ равновесных данных показал, что линии ликвидус и солидус ΜΟΓΥΤ быть описаны достаточной точностью линейными зависимостями в диапазоне температур 50 \div 114 °C. Для линии ликвидус это $x_M = 1.1t$ -29.4; для линии солидус: $x_K = 0.3986t +$ 54.6.

Для решения уравнений теплового баланса использовались следующие значения основных теплофизических свойств компонентов: теплота плавления флуорена – 122 кДж/кг; теплота плавления 2-метилнафталина 142.8 теплоемкость флуорена твердом В 1.164 кДж/кг состоянии град; флуорена В жидком теплоемкость 1.998 кДж/кг град; состоянии 2-метилнафталина теплоемкость твердом состоянии – 1.257 кДж/кг град; теплоемкость 2-метилнафталина в жидком состоянии -2.174 кДж/кг град.

Основные результаты численного эксперимента по сопоставлению двух схем энергоснабжения установки противоточной кристаллизации представлены на рис. 4.

Согласно рис. 4 с увеличением разносплавления температур t_{II} фракционирования t_{K1} (увеличение перепада температур соответствует увеличению концентрации высокоплавкого компонента x_{Π} в потоке выходящего продукта Π) эффективность теплового насоса в обоих режимах закономерно падает, так как увеличивается при этом степень сжатия рабочего тела теплового насоса, а эффективность совмещенного превосходит эффективность шикла собственно теплового насоса на всем участке исследования.

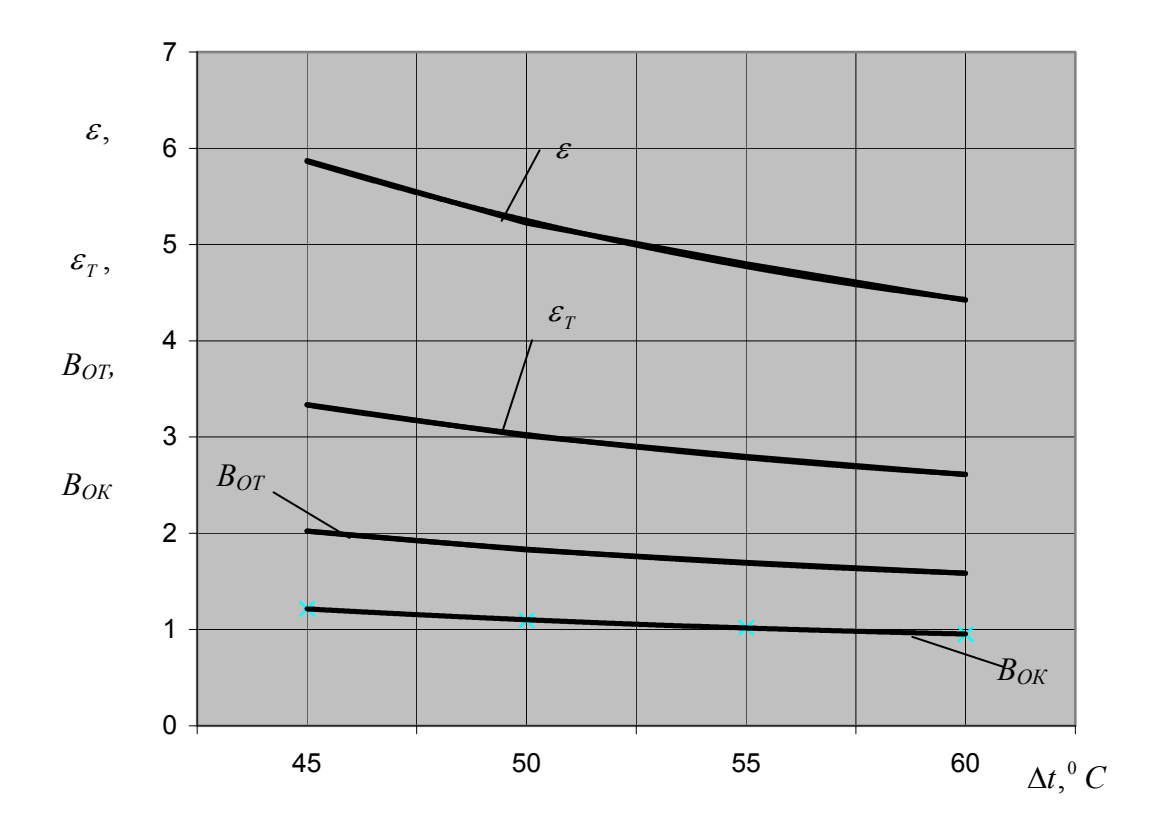


Рис. 4. Зависимость коэффициентов эффективности теплового насоса ε и ε_T , а также относительного расхода условного топлива B_{0T} и B_{0K} от разности температур между температурой плавления t_{II} и температурой фракционирования t_{KI} . ($x_F = 45\%$; $t_F = 80\,^{\circ}\mathrm{C}$; $t_{KI} = 50\,^{\circ}\mathrm{C}$; R = 1.5).

На этом же рисунке представлена зависимость относительного расхода топлива от разности температур для теплового насоса в режиме получения только тепла. При конденсационном способе получения электрической энер-

гии теплонасосная схема выгодна лишь на начальном участке изменения Δt . И, напротив, при получении электрической энергии по теплофикационному циклу теплонасосная схема предпочтительна на всем диапазоне изменения температур.

ЛИТЕРАТУРА:

- 1. Гельперин, Н. И. Основы техники фракционной кристаллизации / Н. И. Гельперин, Г. А. Носов. М. : Химия, 1986. 304 с.
- 2. Гельперин, Н. И. Основы техники кристаллизации расплавов / Н. И. Гельперин, Г. А. Носов. М. : Химия, 1975. 352 с.
- 3. Чечеткин, А. В. Теплотехника / А. В. Чечеткин, Н. А. Занемонец. М. : Высшая школа, 1986. 344 с.
- 4. Янтовский, Е. И. Промышленные тепловые насосы / Е. И. Янтовский, Л. А. Левин. М. : Энергоатомиздат, 1989. 128 с.
- 5. Кравченко, В. М. Двойные системы флуорена / В. М. Кравченко //Журн. прикл. химии. 1952. Т. 25, № 9. С. 943–954.

УДК 547.298.1 ÷ 547.554

СИНТЕЗ, СВОЙСТВА И БИОЛОГИЧЕСКОЕ ДЕЙСТВИЕ (±)-*mpaнс*-2-ДИАЛКИЛАМИНОЦИКЛОГЕКСАНОЛОВ И ИХ СЛОЖНЫХ ЭФИРОВ

Ву Хон Шон, Д.М. Зверев, Н.Ю. Борисова, *Е.Ю. Афанасьева, Т.П. Колобова, Е. Я. Борисова

*Российский кардиологический научно-производственный комплекс МЗ РФ,

интезирована серия транс-2-диалкиламиноциклогексанолов и их сложных эфиров с целью выяснения их биологической активности. Показано, что полученные соединения обладают антиаритмической активностью и низкой токсичностью.

Известно, что аминоспирты ИХ сложные эфиры обладают разнообразным биологическим действием. Среди них соединения, проявляющие психотропные свойства (амизил, гидроксицин), анальгетические средства вещества, (трамадол), оказывающие стимулирующее действие ШНС на (ацефен), препараты спазмоco литическими свойствами (апрофен, спазмолитин). Особое место занимают соединения, проявляющие антиаритмическую активность, так как аритмия все чаще является причиной внезапной смерти и опасных осложнений при патологии сердца и сосудов. В этой связи поиск новых лекарственных препаратов высокой антиаритмической активностью и побочных лишенных нежелательных эффектов является одной самых ИЗ актуальных проблем.

Основные, проведенные до сих пор исследования относятся к аминоспиртам и алифатического эфирам аминокислот ряда. Достаточно мало изученными замещенные амины циклогексанового ряда [1, 2]. Развитие химии соединений и исследование биологического действия сдерживалось, прежде всего, отсутствием препаративных методов синтеза. Было интересно положения выявить влияние стереохимических особенностей циклогексанового кольца на биологическое действие соединений. С этой целью было предпринято данное исследование. Работа

посвящена разработке методов синтеза замещенных аминов циклогексанового ряда и изучению их биологических свойств.

Синтез аминоспиртов циклогексанового ряда

Для получения (±)-транс-2-диакиламиноциклогексанолов нами была разработана схема синтеза, основанная на раскрытии окиси циклогексена аминами (Схема 1).

Реакцию стереонаправленного раскрытия эпоксициклогексана диметиламином проводили в среде водного этанола при комнатной температуре в течение 48 ч.

(±)-Транс-2-диметиламиноциклогексанол (2) выделяли, используя перегонку при пониженном давлении. Раскрытие эпоксида морфолином и пиперидином проходило в среде водного изопропанола при комнатной температуре в течение 24 ч. Аминоспирты (3) и (4) очищали колоночной хроматографией 100/160), силикагеле (L элюент этилацетат.

Чистота полученных аминоспиртов и их гидрохлоридов подтверждалась тонкослойной хроматографией на силуфоле (система – метанол), а их строение – совокупностью данных ¹Н-ЯМР-спектроскопии и масс-спектрометрии.

Выходы, физико-химические свойства и данные масс-спектров соединений (2–4) представлены в табл. 1 (для оснований), а данные их 1 H-ЯМР-спектров — в табл. 2.

$$R_{3}C \underset{OH}{\overset{O}{\triangleright}}OH$$

$$NHR_{1}R_{2}, ROH, H_{2}O \downarrow \qquad PCl_{5} \downarrow \qquad OH$$

$$+ R_{3}C \underset{Cl}{\overset{O}{\triangleright}}OH \qquad + R_{3}C \underset{2)}{\overset{O}{\triangleright}}HCl \qquad NR_{1}R_{2}$$

$$2-4 \qquad SR_{1} = R_{2} = CH_{3} \qquad SR_{3} = C_{6}H_{5}$$

$$8-14$$

2
$$R_1 = R_2 = CH_3$$
 3 $R_3 - C_6H_5$
3 $R_1 + R_2 = (C H_2 CH_2)_2 O$ 6 $R_3 = C H_2 O C_6 H_5$
4 $R_1 + R_2 = (C H_2)_5$ 7 $R_3 = C H_2 O C_6 H_3 C I_2 - 2,4$
8 $R_1 = R_2 = CH_3$; $R_3 = C H_2 O C_6 H_5$
9 $R_1 = R_2 = CH_3$; $R_3 = C H_2 O C_6 H_5$
10 $R_1 = R_2 = CH_3$; $R_3 = C H_2 O C_6 H_3 C I_2 - 2,4$
11 $R_1 + R_2 = (C H_2 C H_2)_2 O$; $R_3 = C H_2 O C_6 H_5$
12 $R_1 + R_2 = (C H_2 C H_2)_2 O$; $R_3 = C H_2 O C_6 H_5$
13 $R_1 + R_2 = (C H_2)_5$; $R_3 = C H_2 O C_6 H_5$
14 $R_1 + R_2 = (C H_2)_5$; $R_3 = C H_2 O C_6 H_5$

Схема 1.

Синтез аминоэфиров циклогексанового ряда

Аминоэфиры циклогексанового ряда получали ацилированием полученных аминоспиртов (2–4) хлорангидридами ароматических (бензойной, феноксиуксусной, 2,4-дихлорфеноксиуксусной) кислот (Схема 1).

Аминоэфир (8) получали реакцией (\pm)-*транс*-2-диметиламиноциклогексанола (2) с бензоилхлоридом (5) в безводном толуоле при 0^0 С. Выход составил 63%.

Сложные эфиры (9-14) синтезировали действием хлорангидридов фенокси-2,4-дихлорфеноксиуксусной **(6)** И (7) кислот на (\pm) -*транс*-2уксусной диакиламиноциклогексанолы (3-4)безводном хлористом метилене комнатной температуре (10-14) или при охлаждении (9). Аминоэфиры (9, 10, 13, 14) без предварительной очистки, а аминоэфиры (11, 12) после колоночной хроматографии на окиси алюминия (L 5/40, нейтральная, элюент – этилацетат) выделяли виде хлоргидратов. В Хлоргидраты (11-14)перекристаллизовывали из безводного ацетона и Выходы составили 40-60%. этанола. Чистота полученных аминоэфиров (10–14) тонкослойной подтверждалась xpoматографией на силуфоле, а их строение – совокупностью данных ¹³С-ЯМРспектроскопиии и масс-спектрометрии.

Выходы, свойства и данные массспектров соединений (**8–14**) представлены в табл. 3. Данные ¹³С-ЯМР-спектров соединений (**8–13**) приведены в табл. 4.

T (1 D	U		2 4
Laumina I Rrivonri	своиства и	панные масс-спекті	оов аминоспиртов $2-4$.
таолица т. Былоды,	CDOMCIDA H	daminible mace cheki	JOB ammioching 10B 2 4.

№ соединения	Выход, %	Т. пл., °С	$R_f(\text{MeOH})$	Масс-спектры m/z ($I_{\text{отн}}$; %)
2	55	_*	0.26	143 (43.5); 84 (100); 71 (93.6); 57 (47.1); 56 (42.0)
3	60	35.5-38.0	0.70	185(59.1); 168 (5.0); 126 (100.0); 100 (70.1); 57 (50.1); 56 (60.1)
4	63	36.0-37.0	0.45	183 (67.2); 125(49.4); 124 (100.0); 98 (81.9); 84 (68.8); 57 (65.1); 56 (36.4)

^{*} Т. кип. 80 °C/ 10 мм рт. ст.; ${\rm n_D}^{20}$ 1.4654

Таблица 2. Данные ¹H-ЯМР-спектров аминоэфиров **2–4**.

№ соединения	¹ H-ЯМР, CDCl ₃ , δ, м.д.
2	1-1.3 (м, 4H, CH ₂), 1.6-1.8 (м, 3H, CH ₂), 2.08 (м, 1H, CHO), 2.13 (м, 1H, CHN), 2.37 (м, 2H, CH ₂ N), 2.68 (м, 2H, CH ₂ N), 3.33 (м, H, CHO), 3.6-3.7 (м, 4H, CH ₂ O), 3.9 (с, 1H OH).
3	1-1.3 (м, 4H, CH ₂), 1.6-1.8 (м, 3H, CH ₂), 2.08 (м, 1H, CHO), 2.13 (м, 1H, CHN), 2.37 (м, 2H, CH ₂ N), 2.68 (м, 2H, CH ₂ N), 3.33 (м, H, CHO), 3.6-3.7 (м, 4H, CH ₂ O), 3.9 (с, 1H OH).
4	1-1.3 (м, 4H, CH ₂), 1.56 (м, 2H, NC ₅ H ₁₀), 1.6-1.8 (м, 3H, CH ₂), 1.97 (м, 4H, NC ₅ H ₁₀), 2.01 (м, 1H, CHO), 2.18 (м, 1H, CHN), 2.94 (м, 4H, NC ₅ H ₁₀), 3.31 (м, H, CHO), 3.89 (с, 1H OH).

Таблица 3. Выходы, свойства и данные масс-спектров хлоргидратов аминоэфиров 8–14.

<u>№</u> соединения	Выход,	Т. пл., °С	R_f (MeOH)	Масс-спектры m/z ($I_{\text{отн}}$; %)
8	63	201.5- 203.0	0.29	247 (36.7); 142 (65.1); 125 (77.1); 105 (79.4); 84 (100.0); 77 (66.6); 71 (79.1); 57 (36.5); 56 (60.1)
9	41	174.0- 175.0	0.48	277 (49.5); 142 (61.6); 126 (55.1); 108 (49.1); 84 (100.0); 77 (53.1); 71 (56.1); 57 (34.0); 56 (40.0)
10	53	239.5- 241.0	0.31	346 (37.54) 175 (18.0); 162 (41.7); 145 (37.5); 142 (67.36); 126 (64.6); 84 (100.0); 71 (74.3); 57 (27.5); 56 (43.5)
11	60	187.5- 188.5	0.84	319 (37.0); 184 (59.3); 168 (72.1); 126 (64.6); 108 (18.5); 94 (25.0); 77 (58.1); 57 (31.0); 56 (24.0)
12	51	208.5- 210.0	0.76	388 (36.8); 184 (71.2); 175 (49.6); 168 (66.2); 162 (53.1); 145 (35.5); 127 (100.0); 57 (49.4); 56 (51.3)
13	43	219.0- 222.0	0.18	317 (30.1); 182 (60.4); 166 (59.2); 124 (100.0); 108 (41.3); 98 (72.9); 84 (53.1); 77 (22.5); 57 (79.9); 56 (58.1)
14	40	181.5- 183.0	0.48	386 (8.01); 182 (74.3); 166 (66.7); 162 (64.1); 145 (16.1); 124 (100.0); 98 (53.6); 84 (70.8); 57 (47.6); 56 (52.6)

Исследование биологической активности аминоэфиров циклогексанового ряда

Ряд новых синтезированных в данной работе замещенных аминов циклогексанового ряда в виде гидрохлоридов были переданы на биологические испытания в Кардиологический научный центр Минздрава РФ.

Биологическая активность изучалась по модели аконитиновой аритмии на лабораторных животных (крысы Wistar, вес 250-300 г). В качестве препаратов сравнения были использованы новокаинамид, хинидин, лидокаин, этацизин и

амиодарон. В результате исследования было выявлено, что:

- исследованные соединения замещенные амины циклогексанового ряда малотоксичные вещества ($\Pi J_{50} \sim 300-900 \text{ мг/кг}$);
- производные аминоциклогексанолов обладают выраженными антиаритмическими свойствами;
- установлено, что антиаритмические свойства зависят от строения аминогруппы и изменяются в ряду: NC_5H_{10} (пиперидино) > $N(CH_3)_2$ (диметила мино) > NC_4H_8O (морфолино);
- наиболее активными оказались аминоэфиры феноксиуксусной кислоты.

Таблица 4. Данные ¹³С-ЯМР-спектров аминоэфиров **8–13**..

No	¹³ C-ЯМР, CDCl ₃ , δ, м.д.
соединения	С-ліміг, СДСіз, 0, м.д.
0	166.09 (CO); 134 (C _i); 130.78 (C _m); 129.79 (C _p); 129.74 (C _o); 72.01 (OCH);
8	68.05 (NCH); 32.59 (CH ₂); 28.05 (CH ₂); 24.86 (CH ₂); 24.35 (CH ₂).
	169.01 (CO); 157.23 (C _i); 129.66 (C _m); 121.71 (C _p); 114.73 (C _o); 70.88 (CH ₂ CO);
9	65.82 (NCH); 41.36 (NCHCH ₂); 38.44 (OCHCH ₂); 31.28 (NCH ₃); 23.97 (CH ₂);
	23.88 (CH ₂); 23.24 (CH ₂).
10	130.05 (C _m); 127.92 (C _p Cl); 115.34 (C _o Cl); 105.94 (C _o); 70.64 (CH ₂ CO); 66.73
10	(OCH); 42.33 (NCH); 37.29 (OCH); 31.36 (NCH ₃); 23.91 (CH ₂); 23.91 (CH ₂).
	168.71 (CO); 157.55 (C _i); 129.83 (C _m); 122.04 (C _p); 114.55 (C _o); 71.24 (CH ₂ CO);
11	67.43 (OCH ₂); 65.78 (OCH); 63.69 (OCH); 63.35 (NCH); 50.32 и 48.59 (NCH ₂ ,
	NC ₄ H ₈ O); 31.65 (CH ₂ CH ₂); 25.15 (CH ₂ CH ₂); 23.33 (CH ₂).
	167.65 (CO); 152.69 (OC ₆ H ₅); 130.36 (C _m); 127.48 (C _p); 127.01 (C _i); 124.32
12	(CCI); 114.98 (C _o); 72.64 (OCH); 67.73 (OCH ₂) 67.64 (CH ₂ CO); 66.67 (NCH);
	49.26 (NCH ₂ , NC ₄ H ₈ O) 31.71 (CH ₂); 24.82 (CH ₂); 23.34 (CH ₂); 23.81 (CH ₂).
12	168.32 (CO); 157.81 (C _i); 129.71 (C _m); 122.41 (C _p); 144.63 (C _o); 71.43 (CH ₂ CO);
13	68.94 (OCH ₂); 52.66 (NCH ₂); 46.16 (NC ₅ H ₁₀); 34.97 (NC ₅ H ₁₀); 24.67 (NC ₅ H ₁₀).

Экспериментальная часть

В работе использовали гидрид натрия, пятиокись фосфора, гидроксид натрия, органические растворители отечественного производства; окись циклогексена (Aldrich), фенилукусную, феноксиуксусную, 2,4-дихлорфенокси-уксусную, бензойную кислоту (Merck). Бензол перегоняли над гидридом натрия, хлористый метилен, этилацетат, ацетон — над пятиокисью фосфора, метанол — над свежим магнием.

Контроль за ходом реакций проводили с помощью тонкослойной хроматографии на пластинах «Silufol» (Kavalier, Чехия), элюент для ТСХ — метанол. Детекцию пятен осуществляли в парах йода.

Спектры ЯМР записаны на спектрометрах «Bruker WM-250» и «Bruker DRX-500» при рабочих частотах 250.13 и 500.13 МГц (¹H), 62.86 и 125.72 МГц (¹³С) соответственно. Спектры регистрировали в импульсном режиме с накоплением и Фурье-преобразованием спектра в CDCl₃. Внутренний стандарт – TMC.

Масс-спектры регистрировали на массспектрометре "Kratos MS-30" с прямым вводом образца в источник ионов при ускоряющем напряжении 5.0 кВ, токе эмиссии катода 100 мкА, энергии ионизирующих электронов 200 эВ и температуре ионного источника 150 °C. В качестве стандарта использован перфторкеросин. Температура системы напуска 20 °C.

Окись циклогексена (1) получали из циклогексена согласно известной методике [3]. Т. кип. 28–30 0 C/12 мм рт.ст.; n_{D}^{20} 1.4532; R_{f} 0.46.

 (\pm) -транс-2-Диметиламиноцикло**гексанол (2).** К 8 г (0.1 моль) окиси циклогексена (1) добавляют 8 мл этанола и 18.2 мл (0.2 моль) 33% водного раствора диметиламина. Выдерживают смесь 24 ч комнатной температуре. реакционную упаривают смесь на роторном испарителе с бензолом полученное масло перегоняют в вакууме, фракцию т. кип.103собирая c $104~^{0}\text{C}/10 \text{ MM pt. ct.}$ Выход (2): 6.38 г (55%). Константы приведены в табл. 1, 2.

Общая методика получения аминоспиртов (3, 4). К 0.03 моль окиси циклогексена (1) в 15 мл воды и 3 мл изопропилового спирта добавляют 0.06 моля амина и выдерживают реакционную смесь при комнатной температуре в течение 24 ч. Продукт очищают

колоночной хроматографией на силикагеле (L 100/160), элюент — этилацетат. Выходы и константы приведены в табл. 1, 2.

Хлорангидриды ароматических кислот (6, 7) получали согласно известной методике [4] из соответствующих кислот.

Общая методика получения хлоргидратов аминоэфиров (8–14).

К смеси 0.008 моль аминоспирта и 0.0012 моль триэтиламина в 9.4 мл хлористого метилена при перемешивании прибавляют по каплям 0.008 моль хлорангидрида в 13.8 мл хлористого метилена. Смесь перемешивают при комнатной температуре 2 ч и выдерживают 2 суток. Хлоргидрат триэтиламина отфильтровывают, остаток упаривают досуха, растворяют в безводном диэтиловом эфире.

Получают хлоргидраты при пропускании хлористого водорода через раствор при охлаждении в виде порошка белого цвета и перекристаллизовывают из ацетона. Выходы и константы приведены в табл. 3, 4.

ЛИТЕРАТУРА:

- 1. Aminocyclohexyl esters / S. L. Shapiko [et al.] // J. Am. Chem. Soc. 1959. Vol. 81. P. 3993–3999.
- 2. Пат. 6174879 США. Aminocyclohexylesters and uses thereof. / В. А. MacLeod, М. J. A. Walker, R. A. Wall // РЖХим. 2001. 01.22-19O.55П.
- 3. Hawkins, L. R. Ammonolysis of 1,2-epoxycyclohexane and *trans*-2-bromocyclohexanol / L. R. Hawkins, R. A. Bannard R. A. // Can. J. Chem. 1958. Vol. 36. P. 220.
- 4. Freed, V. H. Preparation and reactions of 2,4-dichlorophenoxy-acethyl chloride / V. H. Freed // J. Am. Chem. Soc. 1946. Vol. 68. P. 2112.

УДК 42 (англ)

К ВОПРОСУ О РЕФЕРЕНЦИИ И РЕФЕРЕНТНОСТИ ЯЗЫКОВЫХ ЕДИНИЦ

Л.А. Иванова

анная статья посвящена рассмотрению некоторых проблем теории референции и референтности языковых единиц. Приводятся мнения различных ученых по данной проблеме. Представлена концепция о двух уровнях референции: виртуальной и актуальной. Рассматривается вопрос о референциальном статусе лексических единиц.

Теория референции, ее понятийный аппарат были разработаны в рамках логико-философского подхода к языку. Понятия теории референции, изучающей соотнесенности проблемы языковых знаков и объектов внеязыковой действительности, завоевали себе «прочное место в науке о языке» [1]. В последнее время в отечественной и зарубежной лингвистике появился целый ряд исследований, посвященных ланной проблематике.

Однако знакомство с лингвистической литературой позволяет сделать вывод о том, что референция представляет собой одновременно и четкое, понятие вызывающее различные толкования. Так, ряд ученых трактует референцию как функцию, которая позволяет лингвистическим знакам отображать экстралингвистическую действительность. авторы лингвистического частности. словаря, Ж. Дюбуа и др., рассматривают референцию как функцию, при помощи которой лингвистический знак соотносится с предметами внелингвисти-ческого мира – реального или воображаемого [2].С ними солидаризируются О. Дюкро и Т. Тодоров, которые отмечают, что языковая коммуникация всегда имеет объектом внелингвистическую действиительность; при этом говорящие должны уметь обозначить предметы, которые ее составляют. В этом, по мнению этих ученых, состоит референциальная функция языка [2].

С другой стороны, следует отметить, что в термин «референция» вкладывается разное содержание; это связано с многоаспектностью и сложностью данного явления. О. Дюкро, например,

употребляет термин «референция» для обозначения реальных объектов действительности, в то время как Г.Фреге понимает его как обозначение концептов [3],[4]. К тому же, лингвистика последних десятилетий обратилась к изучению особенностей и условий языковой коммуникации, что, как известно, повлекло за собой перемещение интереса с предложения на высказывание, а в теории референции — на необходимость привлечения новых понятий.

Одной из дискуссионных проблем является вопрос о референтности языковых единиц, а именно, обладают ли способностью осуществлять референцию все лингвистические единицы, только существительные или исключительно именные синтагмы (группы).

Некоторые ученые, опираясь на распространенное представление о том, что все лексические единицы обладают референциальной функцией, утверждают, что лексические единицы являются знаками. В свою очередь, знак вообще есть обозначение, указатель чего-либо, какоголибо предмета, соотношение с вещью [5].

Так, например, полемизируя с Дж. Миллем, Ж. Клейбер [6] пытается объяснить, почему и в какой степени справедливо говорить о референции всех лексических единиц, т.е. пытается очертить их референциальный статус. Как известно, Дж. Милль считал, что всякое выражение обладает языковое ренциальной способностью, поскольку оно обозначает один или несколько предметов действительности [7]. Точкой отсчета ДЛЯ Дж. Милля является существование «вещей», термин, под которым он группирует предметы и их

атрибуты, отношения и качества. Всякая лексическая единица (белый, белизна, лошадь, бегать и т.д.), таким образом, предполагает существование соответствующих референтов или, как говорит Дж. Милль, обозначает предмет («denote»). Ж. Клейбер же считает, что если и можно говорить о том, что лексические единицы обладают референциальной функцией, то это не потому, что они, как считал Дж. Милль, являются «именами», которые обозначают существующие предметы действиительности. Референциальная функция лексических единиц обусловлена существованием «концептуального референта» [6].

По мнению автора, можно говорить о двух уровнях референции: «виртуальной», т.е. внутренних потенциальных референциальных свойствах лексических единиц и об «актуальной референции» в актах. осуществляемой речевых пимиши (термин «виртуальная референция» принадлежит Ж.К. Милнеру [8]). Ж.К. Милнер полагает, что условия, характеризующие лексическую единицу, являются ее виртуальной референцией, иначе говоря, он связывает виртуальную референцию лексической единицы с тем, она представляет собой дефиниция словаря.

Таким образом, виртуальная референотражение В смысловом содержании слов условий их соотнесения с объектом действительности, т.е. "для того, чтобы лексическая единица могла употреблена В словосочетании, быть имеющем актуальной качестве референции объект действительности Х, необходимо, чтобы собственно лексический смысл единицы это позволял, иначе говоря, необходимо, чтобы свойства X свойства, и которые характеризуют смысл единицы, соответствовали друг другу. И наоборот, смысл выражается дефиницией, указывающей на свойства, необходимые объекту действительности для того, чтобы он мог составить актуальную референцию словосочетания, куда входит данная единица. Смысл определяет возможности обозначения: его можно считать потенциальным или виртуальным референциальным отношением" [9].

Ряд ученых (Ж. Клейбер, Дж. Катц) считает, что все лексические единицы (существительные, прилагательные, глапредполагают существование голы) соответствующих референтов: свойств, лействий. состояний. Природа этих виртуальных референтов носит концептуальный характер. Однако виртуальные (языковые референты концепты) лексических единиц приложимы множеству отдельных объектов. Следовательно, смысл (или виртуальная референция) сам по себе недостаточен для идентификации объектов: языковые выражения не могут сами по себе идентифицировать объекты без внеязыковых знаний говорящих.

Таким образом, вывод, который можно сделать из вышеизложенных рассуждений, состоит в следующем: лексические единицы, обладая смыслом, т.е. виртуальной референцией (что влечет за собой презумпцию существования референта), способны соотноситься с внелингвистическим миром.

Рассматривая вопрос референ-0 циальной способности имен существительных, многие ученые отмечают исключительную роль последних референции. Иными словами, утверждается, что только имена существительные могут выполнять референциальную функцию.

Сторонники этой теории, однако, не отрицают, что и другие языковые единицы называют или обозначают. Если они и ставят существительное на первый план, то это является следствием того, что они считают, что только существительное обозначает объекты, в то время как прилагательные и глаголы обозначают соответственно качества (или свойства) и действия (или процессы). Например, М. Гревисс пишет, что существительные служат для обозначения живых существ и предметов, прилагательные выражения качеств названных предметов, а глаголы являются словами, которые выражают либо совершенное действие, совершаемое субъектом, либо состояние субъекта, либо связывают атрибут с субъектом [10].

Как известно, вопрос о референтности предикатов вызывает разногласия среди ученых. частности, Г.Фреге П.Ф.Стросон придерживаются концепции референтности предикатов 11]. Несколько иную точку зрения высказывает Ж. Клейбер. Он считает, что предикаты не имеют референции в пропозициональном смысле. В случае, если в предложении содержится две позиции (референтная и предикатная), то референтны очевидно, что только выражения, занимающие языковые первую позицию. С другой стороны, Ж..Клейбер считает, что выражения, занимающие предикатную позицию, как и любая лексическая единица, обладает презумпцией существования соответствующего референта, например, свойства «мудрость» в предложении «Он мудр», говоря, данное предикатное выражение референтно в непропозициональном смысле.

Принимая во внимание уровень внутренних, референпотенциальных циальных свойств и возможностей единиц рассматривая виртуальную языка, референцию как имманентно присущую способность языковым единицам осуществлению референции, мы, тем не менее, вслед за рядом ученых (Н.Д.Арутюнова [12], Л.Линский [13], Е.В.Падучева [14], Дж. Р.Серл [15] и др.) трактуем референцию как актуализацию, которая характеризует высказывание, является органической частью акта речи. Э.Бенвенист указывал, что «сам факт использования... языка отвечает потребности говорящего установить посредством речевого сообщения некоторое соотношение, референцию с реальным миром, а у партнера создает возможность установить тождественную референцию... Референция является неотъемлемой частью акта высказывания» [16]. Аналогично понимает референцию И T. Бердж, который определяет ее как действие, производимое человеком, а не отношение слова и объект [17].

Таким образом, референция характеризует не слова и выражения языка, а их употребление в речи, т.е. высказывание и его компоненты. Предложение, включаясь в речевой акт, актуализуется, т.е. отождествляется с реальным представлением говорящего, и превращается в высказывание.

плане референтной способности языковых средств референция трактуется либо широко, либо узко. При широком понимании референция представляется как противопоставленность данному знаку любого отрезка внеязыковой действительности (и в таком случае всякий компонент высказывания имеет свой референт, поскольку он указывает на что-либо, как-то соотносится действительностью (реальной или вымышленной), в частности и в таких высказываниях, как Кит – млекопитающее или Русалка – героиня многих сказок).

Некоторые лингвисты применяют термин референция только к высказываниям конкретных, индивидуализированных объектах, что суживает ее понимание. В последнем случае имя или именная группа референтны, «если они соответствуют некоторому объекту или группе объектов, выбранных из данного класса объектов и представленных в сознании говорящих»; они нереферентны, «если не соотносятся с индивидуализированным каким-либо объектом, но с классом в целом либо с признаком этих объектов» [18].

В языке имеются определенные осущестсредства, направленные на вление референции (актуализации). Средства эти разнятся для осуществления референции в составе именной группы и глагольной. Так, в составе глагольной группы актуализация осуществляется с помощью категорий времени, наклонения, вида, а в составе именной - с помощью местоимений и артикля.

Исходя из вышесказанного, можно сделать вывод о том, что

1. Референция имеет место не для слов и выражений языка, а для их употребления в речи в выска-зывании. Однако, хотя референция осуществляется в

высказывании, механизм референции принадлежит языку.

2. Референциальными можно считать все виды отношений языковых знаков и

выражений с действии-тельностью, иными словами, референцию, возможно, производить к объекту, лицу, событию, процессу, месту, опредмеченному признаку.

ЛИТЕРАТУРА:

- 1. Арутюнова, Н. Д. Лингвистические проблемы референции / Н. Д. Арутюнова // Новое в зарубежной лингвистике. 1982. № 13. С. 5-40.
 - 2. Dictionnaire de linguistique / J. Dubois [et al]. Paris. : Larousse, 1972. 516 p.
 - 3. Ducro, t O. Dire et ne pas dire / O. Ducro. Paris : Hermann, 1972. 283 p.
- 4. Фреге, Г. Смысл и денотат / Г. Фреге // Семиотика и информатика. 1977. № 8. С.181-210.
- 5. Солнцев, В. М. Язык как системно-структурное образование / В. М. Солнцев. М. : Наука, 1977. С. 341
- 6. Kleiber, G. Problèmes de référence: Descriptions définies et noms propres / G. Kleiber. Paris : Université de Metz, 1981. 538 p.
- 7. Mill, J. St. Of Names / J. St. Mill // Theory of Meaning. New Jersey: Prentice-Hall, 1970. P. 44-64.
- 8. Milner, J. C. Réflexions sur la référence / J. C. Milner // Langue française. 1976. № 30. P. 63-73.
- 9. Milner, J. C. De la syntaxe à 1 interprétation / J. C. Milner. Paris : Seuil, 1978. 408 p.
 - 10. Grevisse, M. Le Bon Usage / M. Grevisse. Paris: Hatier, 1961. 1194 p.
- 11. Стросон, П. Ф. О референции / П. Ф. Стросон // Новое в зарубежной лингвистике. 1982. № 13. С. 55-86.
- 12. Арутюнова, Н.Д. Референция имени и структура предложения / Н. Д. Арутюнова // Вопросы языкознания. -1976. № 2. С. 24-35.
- 13. Линский, Л. Референция и референты / Л. Линский // Новое в зарубежной лингвистике. -1982. -№ 13. C. 161-178.
- 14. Падучева, Е. В. Высказывание и его соотнесенность с действительностью / Е. В. Падучева. М. : Наука. 1985. 271 с.
- 15. Серл, Дж. Р. Референция как речевой акт / Дж. Р. Серл // Новое в зарубежной лингвистике. -1982. № 13. С. 179-202.
 - 16. Бенвенист, Э. Общая лингвистика / Э. Бенвенист. М.: Прогресс, 1974. 447 с.
- 17. Burge, T. Demonstrative Constructions, Reference and Truth / T. Burge // The Journal of Philosophy. 1974. Vol. 71, № 7. 205-223 p.
- 18. Гак, В. Г. Теоретическая грамматика французского языка. Морфология / В. Г. Гак М. : Высшая школа, 1986. 312 с.

УДК 740 (фр)

УПОТРЕБЛЕНИЕ ОПРЕДЕЛЕННОГО АРТИКЛЯ ПЕРЕД ИМЕНАМИ СОБСТВЕННЫМИ (НА МАТЕРИАЛЕ ФРАНЦУЗСКОГО ЯЗЫКА)

Е.Л.Лукомская

татья посвящена проблеме употребления во французском языке определенного артикля перед именем собственным. В работе приводится анализ различных функций определенного артикля в предложении (La Russie, Le Havre, La Dubarry, La Callas, le Corbusier).

Во французском языке определенный артикль, употребляемый перед именем собственным, представляет настолько значимую семантическую единицу, что (p.ex. некоторые лингвисты Dubois) предложили присвоить им одинаковые черты (+ défini). Представители другой группы лингвистов предложили для имени собственного другую - более расширенную структуру Défini +N..структура характерна для очень важной подгруппы французских имен собственных – таких как le Havre, le Portugal, Le Clézio, le Rhin и т.д.

С точки зрения теории референции определенный артикль при выражении родового названия играет ту же роль, что и имя собственное: он предполагает определение в определенной ситуации лица, к которому он относится:

 $Pierre\ arrive\$ предполагает x_1 , x_1 зовут /Pierre/

 $Le\ chat\ court\$ подразумевает $x,\ x-$ кошка

Именно на этом общем свойстве основываются грамматисты, утверждая, что имя собственное может употребляться без артикля и грамматическая единица *le Np* в основном маргинальная, т.е. недопустимая (?Le Pierre arrive). Но существует много исключений из этого правила:

- (1) La Camargue est une région où j'aime bien aller.
- (2) La Camargue que vous aimez ne va pas mourir.
- (3) C'est ainsi que Rolland épousa *la belle Aude*.

Предложенные для этих двух случаев употребления артикля перед именем собственным объяснения различны: в

первом случае речь идет об определенном артикле, который всегда употребляется перед целой грамматической структурой и отбрасывается перед некоторыми именами собственными. Во втором случае чаще всего говорят об изменении категории, иначе говоря, имя собственное превращается нарицательное. имя Говорят присутствие также, что определения автоматически влечет за собой употребление артикля, свидетельствуют случаи (2) и (3).

В данной работе мы постараемся объяснить способ объединения употребления имени собственного с определенным артиклем, в зависимости от того может или нет изменяться le *SN* и от места этого изменения; можно констатировать, что грамматические группы часто объясняются, исходя из основных характеристик определенного артикля и характеристик имени собственного.

Хотя изложение теории определенного артикля не является целью данной работы, хотелось бы выделить три основных типа употребления дан-ного артикля:

- (4) Le chat est un animal domestique
- (5) Le chat n'a rien mangé hier soir.
- (6) Le chat de Marie est très laineux.

Примеры (4) и (5) имеют одно и тоже синтаксическое значение (leN), основанупотреблении анафоры. Отличительной же чертой является то, что в примере (4) сказуемое поясняет родовое специфическое качество, a (5) В (особенность). Употребление в (4) анафоры это обращение к предварительным знаниям о кошках вообще, знаниям, которые не зависят от ситуации, но которые зависят от значения слова кошка в языке. Определение положения референта SN $le\ N$ полностью автономно по отношению к контексту. Следует отметить, что этот тип употребления артикля невозможен с именем собственным. Можно сравнить:

- (7) Le Pierre est un être stable.
- (8) Les Pierres sont des êtres stables.
- (9) Le Bonaparte ne recule devant rien.
- (10) Un Bonaparte ne recule devant rien.

Если говорить 0 всем известных касаюшихся понятиях. одного неизвестных (x)которые нескольких называются /Np/, как например в (8) или (9) то, с точки зрения понятия сказуемого, невозможно создать подгруппу /Np/, что определенный сделало бы артикль родовым признаком (примеры (7) и (9).

Этот факт очень хорошо объясняется при помощи следующей теории: родовое собственное создает подгруппу, основывающуюся на значении этого слова; однако, значение имени собственного не позволяет создать подгруппу: индивидуумы, которые называются /Np/ остаются вне, отличаюся один от другого, и никакая группа общих свойств не может их объединить в подгруппу. Сказуемое, служащее названием, может лишь определить группу индивидуумов, и основная предикация может быть сделана лишь с точки зрения множественности индивидуумов, которые составляют подгруппу, как в примерах (8) и (10).

В дальнейшем будет рассмотрена лишь специфическая интерпретация определенного артикля. Примеры, данные в (5) и (6), синтаксической отличаются своей конструкцией $(leN/le\ N\ Exp)$, которая подразумевает два типа определения отличающихся от лица, указанного посредством SN. В случае (5) артикль имеет свойства анафоры, тогда как в (6) он совпадает с изменением; таким образом, во втором случае SN достаточен определения референта, в то время как, в первом случае идентификация референта знаниям, предполагает обращение К находяшимся за пределами данного сообщения. Было бы интересно проанализировать все случаи употребления определенного артикля перед именами собственными.

Le Havre et la France

Первое различие, которое напрашивается, это различие между именами собственными (le Np) и лексическими группами. Под ними подразумеваются имена собственные типа le Havre, la Havane, le Corbusier, le Dimet, etc., т.е. имена собственные перед которыми всегда ставится определенный артикль.

Ономастика хорошо показала, что одним из очень популярных процессов образования имен собственных является процесс присоединения к нему определенного артикля: определенное описание, является результатом присоединения, при употреблении ассоциируется с подобным индивидуумом и становится именем собственным. Нет никакого различия между именем, в котором артикль остался отделенным, как в приведенных примерах и именами, в которых он слился с последующим именем. Примером этого случая могут являться такие имена как Labastide, Levallois, Legrand, Lebrun, и т.д.

Это не те же самые случаи, что и названия городов или стран, в которых артикль воспринимается как отдельная часть: La Russie, le Canada, la Champagne, la Loire, le Rhin и т.д.. Отражение этих различий можно найти в Petit Robert 2: имена собственные первого типа сопровождении приводятся В артикля (Havre (le). Havane (la).который интерпретируется как отличительная черта этих названий. Другие же, наоборот, приводятся без артикля, сопровождаемые информацией об их роде (Russie, n.f., Rhin, п.т.). Это означает, что существует общее правило, предусматривающее объединение этих названий с определенным артиклем - женским в случае России и мужским для Рейна.

Обратимся к исследованию имен собственных второго типа, для которых соединение с артиклем является синтаксической, а не лексической характеристикой. Можно отметить отсутствие артикля перед названиями стран на географических картах; это является

доказательством τογο, что появляется лишь для того, чтобы ввести слово в предложение. Но это не касается названий городов и фамилий, вне предложения, которые, даже сохраняют например свой артикль: фотография le Corbusier, не будет подписана как Corbusier.

В настоящее время мы автоматически употребляем артикли перед географическими названиями за исключением случаев, когда синтаксическая конструкция требует его отбросить (например, после предлога или в приложении).

Таким образом, мы видим, что существует два типа имен собственных $(Np\ et\ le\ Np)$, соответствующих, как отмечает K. Jonasson, различным референциям:

«Не следует забывать о влиянии личности, обозначенной именем собственным: имена собственные принадлежащие человеку, городу или животному обычно употребляются без артикля, но названия стран, провинций, организаций и т. д. всегда употребляются с определенным артиклем».

Эта закономерность, которая просле**учебниках** французской живается В не пытается ничего грамматики, объяснить: почему географические назпротивоположность человека требуют употребления определенного артикля? Попытаемся ответить на этот вопрос, приблизив географические названия к формам, которые принимают другие имена собственные, употребляемые, в некоторых случаях, с определенным артиклем.

La France, le Pierre et la Callas

На самом деле, употребление артикля перед географическими названииями – явление довольно новое. В древнем французском языке, как это можно увидеть в работах Ménard, эти названия vпотреблялись артикля без (Devers Ardenne, L'oz est sor Tamise logiée); Grevisse отмечает это явление уже в XVII веке (Ma fille est partie pour Provence (Mme de Sévigné); la puissance d' Autriche (Bossuet)). Присутствие артикля в данном случае может объясняться так же, как и употребление артикля перед именами людей.

Гревисс приводит следующие случаи употребления артикля перед именем собственным:

- для выражения чувства презрения (la Dubarry, Le Luther lui donne de l'ennui),
- в разговорном языке или в просторечье (*La Léontine* s'éloigna dans l'ombre),
- по примеру итальянского языка, в случаях, когда речь идет об итальянских поэтах или артистах (le Tasse, l'Aristode),
- иногда при упоминании знаменитых женщин певиц или актрис (la Malibran, la Champeslé).

Эти примеры объясняются либо личностью референта (итальянский художник или знаменитая женщина), либо стилистическими особенностями (выражение презрения или разговорный язык). Но, разумеется, не под сомнение ставя справедливость наблюде-ний, этих следовало бы кроме отметить, что производимого впечатления те же самые вопросы обсуждаются в случаях: la France, la Russie, la Callas ou le Luther, которые объясняются присутствием анафоры, которая свидетельствует предпосылках к подобному употреблению, так же как и в случае (5).

Для доказательства можно привести в качестве примеров следующие тексты, максимально удаленные от вариантов, в которых устоявшиеся выражения (la France, la Callas) теряют смысл их восприятия:

- (11) A J'ai aussi lu des livres de John Bane.
- B Quel John Bane? dit Adam avec précaution. Lt John Bane qui a écrit *Les diplômés de la vie* ?
- A Le John Bane, dit l'homme en fronçant les sourcils (D. Lodge, La chute du Britich Museum, p. 185).
 - (12) $A \dots c$ 'est Miss Partridge!
 - B Quoi ? La Miss Partridge?
- A (...) vous connaissez Miss Partrige comme s'il s'agissait d'une star.
- B Bien sûr! Tout le monde en parle! Elle a participé au concours qui l'a sacrée meilleure cuisinière du royaume et sa photo

est dans tous les journaux (Clifton, Ce cher Wilkinson, Degroot and Turk, éd. du Lombard, Bruxelles).

(13) A – Vous êtes bien Billy the Kid, Le Billy the Kid?

B – Soi-même. Le Billy the Kid.

A – Moi, je ne sui que Bert Mallay (Morris and Goscinny, Lucky Luke: *L'escorte*, p. 12).

Общей чертой приведенных примеров является выделение типографским способом артикля (курсив в (11), прописная буква в (12) и (13). Это выделение, соответствующее весьма необычному воспроизведению артикля в разговорной речи, вносит вклад в характеристику воспроизведения данных SN, которое можно истолковать следующим образом «среди всех x, которые назывются $/Np/_{x_i}$ является одним единственным, который учитывается в предложенной ситуации». Каждый ИЗ предложенных примеров поясняет это воспроизведение. Пример выявляет возможность референционной неясности присущей любой фамилии: два человека имеют одно и то же имя /John Bane/.

Первый собеседник (A), отвечая «Le John Bane» подчеркивает, что только один из двух может подразумеваться, когда причинам, произносят ЭТО имя. По которые могут быть пояснены только текстом, определенный артикль может создать анафорическую связь с единым объектом, который значительно отличается от других, носящих это имя. Разница John Bane и le John Bane между заключается в том, что первое упоминание предполагает, что для стирания этой двусмысленности достаточно будет второе одного контекста, тогда как совершенно недвусмысленно ставит его в зависимость ОТ единства имени собственного и определенного артикля.

Целью следующего примера (12) является уточнение причин, дающих возможность отличить La Miss Patridge от всех тех, кто мог бы носить такое же имя: женщина, о которой идет речь — знаменита, т.к. ее фотографии были опубликованы во всех газетах. Первая реплика в (12) это простое представление

(c'est Miss Partridge) и говорящий (A) употреблением удивлен своего собеседника (В) структуры La Miss Partridge, которую TVT же комментирует «vous connaissez Miss Partridge comme s'il s'agissait d'une star». Без сомнения, здесь идет речь использовании модели la NpДЛЯ обозначения актрис: la Deneuve isole, среди всех женщин, которые могли бы носить это имя (Deneuve), только одна та, которую пресса сделала до такой знаменитой, степени что только портрет встает перед Вашими глазами при упоминании этого имени. Из этого можно сделать заключение, что в данном случае значение артикля близко к значению латинского ille – «знаменитый». Это, так называемое, социальное узаконивание употребления структуры la Np., о котором свидетельствуют многочисленные la Dietrich, появившиеся в прессе после смерти знаменитой актрисы.

И, наконец, последний пример (13) совершенно недвусмысленно подчеркивает разницу между лицом обозначенным структурой *Np* и личностью обозначенной – *le Np* «je ne suis que Bert Mallay», отвечает A, личность мало известная по сравнению со знаменитым Billy the Kid.

Следует отметить, что в данных случаях, как в разговорной, так и в нелитературной речи, используется один и тот же феномен анафоры. La Léontine, приведенная Гревиссом означает, что среди всех женщин, носящих это имя, одной единственной, речь идет об известной всем. Употребление анафоры, еще раз подтверждает постулат о том, что $la\ Leothine$ — это единственное существо x, носящее это имя /Léonthine/, о котором может идти речь в данной ситуации.

Следует также отметить, что различие в употреблении артикля между La Deneuve и la Léonthine является следствием разницы между именем и фамилией. Имя употребляется в контексте, если мы хорошо знаем x и, таким образом, артикль только усиливает взаимопонимание собеседников. При помощи же фамилии люди знакомятся официально, и артикль употребляется для подчеркивания

известности, которая может касаться всех фамилий. Общим же является тот факт, что в обоих случаях речь идет о предварительном знакомстве, подразумеваемом референтом.

Вернемся теперь к географическим названиям, которые можно проанализировать таким же способом. Разница между Np (Paris) и le Np (la France) заключается в различии ассоциации слова и его исходного референта. Названия городов, также как и имена людей. являются объектом двусмысленной референции: мы знаем, что существуют один Paris, Londres, но если посмотреть карту Франции — мы найдем множество Clermont, Villeneuve, Conflans и т.д. И наоборот, каждое название страны соответствует единому референту. В отсутствие референционной двусмысленности можно считать, что наименование страны не зависит от изложения факта. В противоположность другим именам собственным, фамилии и имена людей и названия городов, наоборот, связаны между Np и x_i и являются объектом соглашения. связанного каждым изложением факта. Таким образом, употребляя перед страны названием определенный артикль, отмечают, посредстанафоры, референта, BOM ссылку на

известного в независимости от изложения.

Иначе говоря, общей чертой между la France, la Deneuve, la Léontine, le Billy the Kide является присутствие артикля, выражающее независимость связи между именем собственным и его референтом по отношению к изложению. Различие же между названиями стран и другими именами собственными (Np), заключается в том, что, т.к. подобная конструкция стала обязательной то, в отличие от других случаев, артикль не несет никакой стилистической функции.

Нужно также отметить, что хотя и маргинально, примеры (11) – (13) и случаи, рассмотренные Гревиссом, демонстрируют очень интересное грамма-тическое явление и возможность объяснить разницу между двумя морфо-логическими конструкциями Np и LeN: конструкция Np соответствует дейктическому определению референта, тогда как конструкция $le\ Np$ является анафорическим определением, в котором артикль предполагает лингвистическое единство референта.

Таким образом, исходя из вышесказанного, можно предположить, что изза артикля, который присоединен к имени собственному, названия стран не играют той же роли в различных син-таксических структурах SN..

ЛИТЕРАТУРА:

- 1. Gary Prieur, M. N. Grammaire du nom propre / M. N. Gary Prieur. Paris. : Presses universitaires de France, 1994. 252 p.
- 2. (Noailly) Le Bihan. Le Nom Propre. Etude de grammaire et de rhétorique. Thèse de 3-e sycle / (Noailly) Le Bihan. P.: Université de Bretagne occidentale, 1974. 20 p.
- 3. Kleiber, G. Problèmes de référence : descriptions définies et noms propres / G. Kleiber. Paris : Klincksieck, 1981. 538 p.
 - 4. Martin, R. Langue et croyance / R. Martin. Bruxelles : Pierre Mardaga, 1987. 189 p.
- 5. Curat, H. Nom propre et article / H. Curat // Cahier de praxématique. Université de Montpélier. 1987. 7. P. 27-46.
- 6. Petit, Robert. Dictionnaire universel des noms propres / Robert Petit. Paris : Le Robert, 1991. 1952 p.
 - 7. Grevisse, M. Le bon usage / M. Grevisse. Paris : Gembloux. Duculot., 1994. 1760 p.
 - 8. Ménard, P. Syntax de l'ancien français / P. Ménard. Bordeaux : Sobodi, 1976. 800 p.

УДК

РАЗРАБОТКА «ДВУХРЕЦЕПТУРНЫХ» МАНЖЕТ ДЛЯ УПЛОТНЕНИЯ РАСТРУБНЫХ СТЫКОВ ЧУГУННЫХ НЕФТЕПРОВОДОВ

С.Г. Синичкина, *Ю. А.Синичкина, * В.С. Юровский, А.Е. Корнев, В. С. Кузин ООО «НИИЭМИ»

роведена разработка рецептуры, технологии изготовления и конструкции «двухрецептурных» манжет для уплотнения стыков нефтепроводов. Получены положительные результаты испытаний разработанных манжет в натурных условиях.

В настоящее время важной народно-хозяйственной проблемой является быстрое сооружение и надежная эксплуатация трубопроводных магистралей, обеспечивающих доставку нефти, газа и других энергоресурсов в промышленные районы нашей страны.

Последнее большее время все применение в трубопроводном транспорте магистрали ИЗ стыкуемых чугунных труб с раструбным замковым соединением. Для обеспечения гермесоединений требуется тизации таких применение резиновых уплотнительных манжет сложного профиля. Вследствие этого актуальной становится проблема разработки резинового уплотнения стыковочного замка подобной конструкции.

На основе анализа литературы и образцов манжет зарубежного производства этого стыка была предложена манжета, которая изготавливается из двух резин путем их совместной вулканизации. Манжета имеет форму максимально приближенную к конфигурации замка раструба. Одна часть манжеты должна резины, выполнятся ИЗ имеющей твердость 80 ед. Шор А, и обеспечивать жесткость соединения, удержание манжеты в зазоре и защиту внутренней полости от внешней среды. Другая часть манжеты должна выполнятся из более мягкой резины (твердость 55 ед. Шор А) и обеспечивать сборки легкость надежность уплотнения транспортируемой среды.

В процессе работы были исследованы свойства серийных и опытных резин на основе бутадиен-нитрильных каучуков с

различным содержанием нитрила акриловой кислоты (НАК), а также резины на основе гидрированного бутадиеннитрильного каучука типа Тербан.

Для обеспечения стойкости резин к нефтепродуктам, содержащим большое количество растворенного сероводорода, проводилась разработка рецептуры резины на основе маслобензостойкого гидрированного бутадиен-нитрильных каучука.

Исследование изменения физикомеханических резин, показателей рекомендуемых для эксплуатации в нефти, насыщенной агрессивными нефтегазовыми смесями проводились в соответствии со разработанной специально методикой. Испытания стандартных образцов резин проводились в автоклавной установке в среде нефти, содержащей сероводород, при температуре 90°C. продолжительность экспозиции образцов составляла 1, 5 и 20 суток.

Полученные результаты стойкости резины на основе гидрированного бутадиен-нитрильного каучука к нефти с высоким содержанием сероводорода позволили рекомендовать эту резину для той части манжеты, которая обращена к агрессивной среде.

Второй внешний каркасный слой манжет предложено изготавливать из более твердой резины на основе БНКС 28.

Технологические свойства резин оценивались по их реометрическим кривым, получаемых на реометре «Монсанто».

Полученные экспериментальные данные по исследованию кинетики вулканизации

резин на основе БНКС 28 и опытной резины на основе гидрированного бутадиен-нитрильного каучука типа Тербан позволили выбрать общий режим совулканизации данной пары резиновых смесей, который составил 15-17 мин. при 170°С.

Опробование выбранной пары резиновых смесей для «двухрецептурных» манжет проводилось в пресс-форме, конструкция которой предусматривает три плиты. Верхняя плита изготавливается сменной двух исполнениях, В позволяет на одной и той же форме последовательно, формовать верхние плиты, заготовки из резиновых смесей различной рецептуры и твердости, обеспечивая их качественную совулканизашию.

Технология производства манжеты сложной конфигурации предусматривает последовательное ее изготовление в две стадии.

Первая стадия направлена на предформование заготовки из более твердой резины на основе БНКС 28 для изготовления внешнего слоя манжет.

Далее следует вторая снимается верхняя плита и в пресс-форму заготовкой с с находящейся в ней геометрией, фиксируемой требуемой накладывается вторая заготовка резиновой смеси на основе каучука Верхняя плита меняется на Тербан. другую, согласно специфике конструкции манжеты, и таким образом формуется ее мягкая часть.

Выбранный режим вулканизации и разработанная технология производства позволили изготовить манжету из двух резин, отвечающую требованиям к ее качеству и конструкции, причем срез по ее сечению свидетельствует о хорошей совулканизации применяемых резиновых смесей. Также качество совулканизации резин подтвердили испытания по набуханию вырезанного фрагмента стыка «двухрецептурных» манжет в среде нефти с агрессивной составляющей и испытания по исследованию прочности совулка-

низации разработанных резин на образцах – грибках.

Используя 2-х стадийную технологию производства, была изготовлена опытная партия манжет из резины на основе БНКС 28 и разработанной резины на основе каучука Тербан, которые подверглись испытаниям в имитаторе, представляющем собой специальное устройство, воспроизводящее условия установки уплотнительной манжеты в трубопроводе и позволяющее оценить ее герметичность.

Проведя испытания манжет имитаторе в среде нефти насыщенной сероводородом - 6%, были получены следующие результаты. B течение испытательного срока (20)cyT.) герметичность имитатора, обеспечиваемая разработанными манжетами, находящихся в среде нефти под давлением 20 атм. и при температуре 90°C сохранилась. Также имитатор сохранил герметичность узла и после создания перекоса в 5° внутреннем давлении 20 атм.

Таким образом:

- 1. Для уплотнения стыка чугунных труб предложена конструкция «двухрецептурных» манжет фигурного профиля.
- Для изготовления «двухрецептурных» манжет сложной конфигурации, используемых для уплотнения нефти с высоким содержанием сероводорода, рекомендована пара резин на основе бутадиен-нитрильного каучука. При этом элемент манжеты со стороны воздействия агрессивной среды должен изготавливаться гидрированного на основе бутадиен-нитрильного каучука типа Тербан.
- 3. Разработана технология изготовления «двухрецептурных» манжет, предусматривающая использование специальной пресс-формы со сменной верхней плитой.
- 4. Проведены испытания манжет в специально сконструированном имитаторе стыков трубопровода, которые подтвердили их работоспособность на уровне требований потребителей.

Страницы истории

У ИСТОКОВ НАУКИ О ПОЛУЧЕНИИ МАТЕРИАЛОВ С ЗАДАННЫМИ СВОЙСТВАМИ И НАНОМАТЕРИАЛОВЕДЕНИЯ

К 90-летию со дня рождения Григория Валентиновича Самсонова

Г.В. Самсонов (15.ІІ.1918 – 22.ХІІ.1975 гг.)

прибор В триаде вещество материал (устройство, изделие) ведущая роль в решении практических задач современной техники остается за материалом. В материале должны сочетаться свойства, которыми, как правило, природные вещества не обладают. Совокупность свойств, необходимых для изготовления прибора (изделия, устройства) материал приобретает либо при воздействии внешних физических или химических факторов на природные материалы, либо при синтезе из веществ, которые по отдельности не обладают такой совокупностью свойств. В любом случае речь идет о получении материалов с заданными свойствами.

В нашей стране решение проблемы получения таких материалов (тугоплавких, сверхтвердых, антикоррозионных, антифрикционных и др.) с



середины прошлого столетия неразрывно связано с творческой и научноорганизационной деятельностью выдающегося советского химика и материаловеда Г.В. Самсонова*. В его много-численных трудах (более 1200 научных статей и тезисов докладов, 40 монографий), в работах его учеников и последователей (более 170 подготовленных им кандидатов химических, технических и физико-математических наук и не менее 20 докторов наук) развивались представления о неразрывной связи формируемых свойств материала и перестройкой электронной структуры атомов, входящих в его состав.

Уже в одной из первых своих монографий [2] по проблеме получения тугоплавких материалов на основе химических соединений переходных (или близких к ним по ряду признаков) металлов с неметаллами он отмечал, что «такие материалы характеризуются гетеродесмичностью межатомных связей, причем доля того или иного типа связи определяется как электронной структурой атомов-компонентов, так и особенностями кристаллического строения этих фаз». Глубокий анализ этих связей стал фундаментом разработанных им основ квантово-механической электронной теории спекания порошков тугоплавких соединений, технологии нанесения покрытий из тугоплавких соединений на металлы и сплавы [2] и представлений об электронной локализации в твердом теле [3].

Обладая энциклопедическими знаниями, даром предвидения, страстной увлеченностью наукой, Г.В. Самсонов всегда был нацелен на получение конкретных, значимых практических результатов. Достигать таких результатов ему удавалось благодаря необычайной трудоспособности и незаурядным организаторским способностям. Он был приверженцем решения важных научных проблем большими творческими коллективами, в которых бок о бок трудились химики, технологи, физики. В полной мере такой подход ему удалось реализовать в период его работы в Академии наук Украинской ССР (1956–1975 гг.), куда он пришел после непродолжительной

_

^{*} Биографические сведения о жизни и деятельности Г.В. Самсонова приведены в книге «Выдающиеся химики мира» [1].

работы в Московском институте цветных металлов и золота (1947–1956 гг.), где были успешно выполнены и защищены его кандидатская и докторская диссертации.

Высокие административные посты, которые занимал Г.В. Самсонов (председатель Отделения технических наук АН УССР, заместитель директора по научной работе Института металлокерамики и спецсплавов (впоследствии Института проблем материаловедения) АН УССР, руководитель сектора тугоплавких материалов того же института, заведующий кафедрой Киевского политехнического института, директор республиканского Дома научно-технической пропаганды), никогда не заслоняли в нем ученого и научного лидера возглавляемого им творческого коллектива. Для всех, кто входил в этот коллектив, он всегда был Шефом. Каждый рабочий день (кроме тех, когда он был в командировках) Шеф с восьми часов утра находился в своем кабинете руководителя сектора. Там же неизменно завершался его рабочий день, порой продолжавшийся до 23 часов. И не случайно он успел так много сделать за свою очень короткую жизнь. В руководимом им секторе были разработаны и внедрены в производство технологии получения более 400 соединений (боридов, нитридов, карбидов, халькогенидов, силицидов и др.) и материалов на их основе, в том числе

металлокерамических для атомной энергетики и жаропрочных для машиностроения [2].

Исследовав В широком интервале температур структуру и свойства тугоплавких соединений, физикохимическое взаимодействие частиц в твердой фазе, а диффузионные процессы контактах тугоплавких материалов, он вплотную подошел к таким направлениям современным материаловедения, матери-аловедение, наноструктурное аморфных и адаптирующихся материалов, а также к проблеме создания баз данных для компьютерного моделирования материалов с заданными свойствами. И несмотря на то, что уже треть века его нет с нами, работы ученого не утратили своего значения для современного материаловедения, интерес к ним не ослабевает, индекс их цитирования остается очень высоким и практически



POIL OFFICER EATERMANDSEARING AN YOOF

/CERTOP TYPOGRABERY WATERMANDS/.

F.B. CANODIOS

POIL OFFICER STREETHAND SERVEDURE KONSETYPAIRS
B SOPREPOSABLE CHARLES SERVEDURE KONSETYPAIRS

/ Ha sparay pyrosics /

/ Ha sparay pyrosics /

Exec-1955.

Exec-1955.

Exec-1955.

Exec-1955.

Exec-1955.

не снижается. В память о нём проводятся традиционные международные Самсоновские чтения [4] по самым важным материаловедческим проблемам.

Автору посчастливилось быть ОДНИМ многочисленных учеников Г.В. Самсонова и протяжении киевского периода его жизни быть свидетелем деятельности творческой создаваемой атмосферы, ЭТИМ талантливым исследователем организатором науки. И Характерной особенностью творческой лаборатории Г.В. Самсонова была открытость для обсуждения новых научных идей и привлечения к их развитию и поиску путей практического использования широкого круга исполнителей. В качестве примера такого открытого научного общения со своими учениками может служить фотокопия одной из его многочисленных пионерных работ с собственноручной надписью «Буду благодарен за все рекомендации, критику и замечания».

Будучи председателем секции «Тугоплавкие материалы» Научного совета Госкомитета по науке и технике СССР по проблеме «Применение редких металлов в народном хо-зяйстве», он выделял более узкие направления и рекомендовал в качестве их руководителей не только своих учеников, но и ученых, работавших по данному направлению в других организациях. Круг таких организаций не замыкался на академических институтах, в нем были учреждения отраслевой науки, кафедры и лаборатории ВУЗов, промыш-ленные предприятия. Этой стороне деятельности Г.В. Самсонова, как и его обширным междуна-родным связям посвящены мемориальные и библио-графические статьи [5,6,7]. В данной статье хотелось показать, прежде всего, нынешнему поко-лению студентов и аспирантов МИТХТ, как начи-нался и в каких условиях совершался старт в большую науку одного из знаменитых питомцев их Alma Mater

Документальной основой стала пожелтевшая от времени архивная папка личного дела студента МИТХТ Самсонова Г.В. (дата поступления -1 сентября 1935 г.; дата выдачи диплома с отличием об окончании института по специальности «Тонкая химическая технология неорганических продуктов» с присвоением квалификации инженера технолога-химика -12 сентября 1940 г.).



На одном из листов личного дела – фотография красивого молодого человека, черты лица которого отражают волевой характер и целеустремленность. Первое впечатление – выбор специальности сделан не случайно. И действительно, в одном из документов (л. 25) указано. отец будущего химика Григорьевич Самсонов, происходящий из крестьян Саратовской губернии, до революции 1917 г. закончил реальное училище, а затем Московское Техническое училище (ныне МГТУ им. Н.Э. Баумана) по специальности «Холодная обработка металлов». С 1925 г. и до кончины в 1934 г. работал инженером, а затем начальником цеха Государственного медеобра-«Красный Выборжец» батывающего завода Ленинграде и одновременно штатным доцентом Ленинградского металлургического института. В свидетельстве

об окончании средней школы, выданном Московской образцовой школой-десятилеткой №2, указано, что Самсонов Григорий на окончательных испытаниях по всем предметах проявил успеваемость с оценками «очень хорошо» (по-нынешнему «отлично»), дисциплинирован «очень хорошо» и **проявляет склонность к химии** (выделено автором). Будучи учеником 10 класса в 1934-35 уч. году работал в химической лаборатории Центральной детской технической станции им. Н.М. Шверника. В справке, выданной 1 июня 1935 г. (л. 50), отмечается: «Тов. Самсонов за время работы проявил себя как способный в области химии и инициативный юный техник». Высокий уровень подготовки в средней школе и полученные по всем пяти дисциплинам приемных испытаний оценки «хорошо» и «отлично» открыли перед ним двери одного из старейших и престижных ВУЗов страны – Московского института тонкой химической технологии. За годы учебы в МИТХТ он получил фундаментальную подготовку в области естественно-научных и специальных дисциплин, чему способствовали как высокая квалификация профессоров и преподавателей, у которых учился будущий ученый, так и творческая атмосфера и доброжелательные отношения в стенах института. Его учителями были известные не только в московских, но и в самых отдаленных ВУЗах страны профессора О.Н. Цубербиллер (математика), А.Б. Млодзиевский (физика), А.Н. Реформатский (неорганическая химия), С.С. Наметкин (органическая химия), Я.К. Сыркин (физическая химия) и др. С первого до последнего курса Г.В. Самсонов был студентом-отличником, о чем свидетельствует зачетная книжка №800 и характеристика, подписанная директором института Г.Д. Вовченко (л. 29), в которой заслуживают дословного цитирования следующие моменты: «При изучении теоретических дисциплин тов. Самсонов всегда проявлял интерес, выходящий за пределы программы и учебного плана, участвовал в научных кружках. Умеет самостоятельно работать с отечественной и иностранной специальной литературой. В лабораторных работах и при выполнении дипломной исследовательской работы, которую он выполнил в области твердых сплавов, тов. Самсонов проявил прекрасные экспериментальные способности и умение разбираться в теоретических вопросах».

Еще более яркую характеристику способностей студента Самсонова Г.В. дает заведующий выпускающей кафедрой проф. Г.И. Меерсон (приводим ее фотокопию, л. 35):

заранторнотика отудента за время работи и лабораторнах, чер- темник заяза и кабинетых и на производственной практике. П. Самсеней студен общиник с большини спосыбы быти и экапичани. В несения услови вика проявия интерес к интимисту промету вакодиче
hayrnor suffratyper a sufact cousing it K hayrno- ucused a tersons
pasate. Doudaet nexpacement auxum
cno casho ctema.
The state of the s
примечания: марточна одвется по окончания реботи и сдети
893. Magaapou Oficocon
Подпиов проподавателя:

Дух высокой требовательности и творческой доброжелательности, царивший на кафедре, передается при ознакомлении с отзывами, собственноручно написанными заведующим кафедрой и официальным рецензентом на дипломную исследовательскую работу Г.В. Самсонова «Исследование получения карбидов ниобия и циркония с целью применения в твердых сплавах». В отзыве проф. Г.И. Меерсона, в частности, отмечается: «Г. Самсонов изучил условия получения карбидов циркония и ниобия в вакууме и установил наличие четких промежуточных реакций при переходе от ZrO₂ к ZrC. Этим он установил ошибочность выводов американского исследователя Прескотта, принимавшего возможность сосуществования ZrO₂ и ZrC в условиях равновесия. Г. Самсонов прекрасно освоил технику работы с вакуум-аппаратурой, получил карбиды циркония, ниобия и титана теоретического состава и показал возможность спекания сплавов, содержащих указанные карбиды, с кобальтом. ... Большой объем работы, отличная экспериментальная техника и ценность полученных результатов позволяет присудить работе высокую оценку» (л. 31). В отзыве рецензента в качестве «замеченных отклонений и неточностей» указано: «При критике работы Прескотта указывается, что согласно правила фаз, равновесия по реакции $ZrO_2 + 3C \leftrightarrow ZrC + 2CO$ невозможно, это, вообще говоря, неверно и не следует как из данной работы, так и из критики работы Прескотта». Подробно изложив замечания еще по трем моментам в рецензируемой работе и трем несомненным достоинствам работы, рецензент, тем не менее, делает вывод: «Все это позволяет с уверенностью заключить, что работа заслуживает высшей оценки» (л. 32).

Такой же дух всегда царил в коллективе, которым руководил Г.В. Самсонов. В этом заключена преемственность поколений. Хорошо, если нынешнее поколение исследователей, которому предстоит работать в области нанотехнологий неоргани-

ческих материалов, сможет увидеть в подвижнической деятельности Григория Валентиновича Самсонова пример, достойный подражания.

ЛИТЕРАТУРА:

- 1. Волков, В. А. Выдающиеся химики мира / В. А. Волков, Е. В. Вонский, Г. И. Кузнецова. М. : Высшая школа, 1991.-656 с.
- 2. Самсонов, Γ . В. Тугоплавкие соединения / Γ . В. Самсонов M. : Металлургиздат, 1962.-399 с.
- 3. Самсонов, Г. В. Электронная локализация в твердом теле / Г. В. Самсонов, И. Ф. Прядко, Л. Ф. Прядко. М.: Наука, 1976. 318 с.
- 4. Принципы и процессы создания неорганических материалов : материалы международного симпозиума (III Самсоновские чтения), Хабаровск, 2006 г. Хабаровск : Издательство ТОГУ, 2006. 374 с.
- 5. История Академии наук Украиской ССР. Киев : Наукова думка, 1979. 835 с.
- 6. Волков, В. А. Химики. Библиографический справочник / В. А. Волков, Е. В. Вонский, Г. И. Кузнецова. Киев : Наукова думка, 1984. 318 с.
- 7. Вісник Академіі наук Украінської РСР. Памяті Г. В. Самсонова. 1976. Т. 2. С. 109-110.

Марченко В.И., доктор физико-математических наук, профессор, аспирант Г.В. Самсонова (1961-1963 гг.)

ABSTRACT

S.A. Semenov, K.Z. Gumargalieva, I.G. Kalinina, G.E. Zaikov. Bio-damages of materials and of material samples.

In the review was shown the development of the theoretical performances bio-damages of materials in the exploitation conditions and were developed the recommendation of the protection of material samples.

S.V. Leont'eva, E.I. Chabarova, A.K. Frolkova. Innovation in treatment with chemical substances in Europe.

In aims to preserve environment European Economic Community pass the bill – REACH (Registration, Evaluation and Authorisation of CHemicals), which directed to achievement in europe countrys of three fundamental tasks: economical (industrial competition and advances in new technological productivity in chemical industry), social (protection of health and work of population) and guard of nature.

L.M. Kartashov, A.A. Koblov, D.V. Tkach. Ecologi-economical aspects of technologies of waste recycling of vinyl chloride production.

Different ecologi-economical methods of waste recycling of vinyl chloride production have been considered. The most perspective method now represents a method of catalytic hydrodechlorination. The method differs by low investment costs and expenditures for waste-handling.

M.A. Gracheva, Z.M. Galushkina, N.N. Poletaeva, L.V. Verhovskaya, V.G. Lunin, V.I. Shvets. Cloning and expression of ricin a- and b-subunits genes in fusion constructions with dihydrofolate reductase gene in *escherichia coli*.

Recombinant chimeric constructions RTA-DHFR and RTB-DHFR consisting of ricin Aand B-subunits genes (RTA and RTB) and dihydrofolate reductase (DHFR) gene were cloned and expressed in Escherichia coli. Antigenic properties of RTA and RTB retained in chimeric proteins RTA-DHFR and RTB-DHFR.

M.K. Zakharov, A.S. Kozlova. Methods of energy-saving in processes of distillation of binary mixtures.

New criterion of heat consumption calculation in processes of distillatory separation of liquid blends is suggested. Quantitative estimation of separation quality which is taking into account the criterion is brought out. Internal energy-saving mechanism in processes of distillatory is analyzed. Methods of energy-saving in processes of distillation of binary mixtures are suggested.

A. V. Anisimov, P. G. Rumyantsev, V. I. Zhuchkov. The use of a mathematical model of the chromatographic column for processing chromatograms with overlapping peaks.

A method is suggested to process overlapping chromatographic peaks with the use of a mathematical model of the chromatographic column. The method enables determining the composition of the mixture to be analyzed even in case of completely overlapping peaks.

E.V. Eskova, G.A. Grigoriev, M.C. Eskov. About the kinetics of the emulsion layer growth at the liquid–liquid boundary under the conditions of controllable convection.

The kinetics of the interface layer growth was considered for the case of interaction of oleic acid with alkali. The temperature dependence of the microemulsion growth was studied. Effective activation energies of complicated heterogenic processes were determined.

I.A. Mitushkina, T.V. Cheluskina, A.K. Frolkova. Mathematical simulation of vapour–liquid equilibria in binary biazeotripic systems.

With the use of the problem-oriented complex "CHEMCAD 5.2.0" we have carried out evaluation of parameters of Wilson and NRTL models for biazeotropic systems butyl propionate – propionic acid and butyl butyrate – butyric acid at different pressures and mathematical simulation of vapour–liquid equilibria of binary systems. We have obtained a satisfactory description of the biazeotropy.

M. Miasoedenkov, G. A. Nosov, E. M. Khaibulina, M. E. Yvarov. Antielectric crystallization by means of calorific pump.

It is done the analysis of the effectiveness of usage of a calorific pump with a closed cycle on the working substance in the process of antielectric crystallization. It is shown that the usage of the calorific pump allows decreasing significantly power inputs for realization of the studied process.

Vu Hon Shon, D.M. Zverev, N.Yu. Borisova, E.Yu. Afanasieva, T.P. Kolobova, E.Ya. Borisova. Synthesis, biological properties and effects of trans-2-(substituted amino)-cyclohehyl esters. A series of trans-2-(substituted amino)-cyclohehyl esters have been synthesized and examined for pharmacological activity. Significant responses have been noted with these compounds as ant arrhythmic substances.

L.A. Ivanova. On reference and referentiality of linguistic units.

The article deals with some problems of the theory of reference and referentiality of linguistic units. Different points of view on the problem are given. Two levels of reference ("virtual" and "actual") are viewed. The referential status of lexical units is considered. E . L . Loukomskaya.

The Use of the Definite Article With Proper Nouns in the French Language. The article deals with the use of the Definite Artucle Wuth Proper Nouns. The role of the definite article in a sentence is analysed (La Russie, Le Havre, La Dubarry, La Callas, le Corbusier).

Страницы истории

Вестник МИТХТ

Журнал выходит один раз в два месяца и публикует обзоры и статьи по актуальным проблемам химической технологии и смежных наук. Журнал основан в 2006 году. Учредителем журнала является Московская государственная академия тонкой химической технологии им. М.В. Ломоносова (МИТХТ)

- К публикации принимаются материалы, содержащие результаты оригинальных исследований, в виде полных статей, кратких сообщений, а также авторские обзоры и прогнозно-аналитические статьи по актуальным вопросам химической науки, в том числе по:
 - 1. Теоретическим основам химической технологии
 - 2. Химии и технологии органических веществ
 - 3. Химии и технологии лекарственных препаратов и биологически активных соединений
 - 4. Синтезу и переработке полимеров и композитов на их основе
 - 5. Химии и технологии неорганических материалов
 - 6. Химии и технологии редких и рассеянных элементов
 - 7. Математическим методам и информационным технологиям в химии и химической технологии
 - 8. Эколого-экономическим проблемам химических технологий.
- Электронная версия журнала (CD-ROM и Интернет) выходит с февраля 2006 г.
- Хорошо подготовленные статьи выходят в свет не более чем через 4 месяца после поступления в редакцию.

Журнал в розничную продажу не поступает. Он распространяется на территории Российской Федерации и стран СНГ по каталогу агентства «Роспечать», индекс **36924.** Подписка на журнал принимается в любом почтовом отделении.